

Московский Государственный Университет
имени М.Н.Ломоносова

Химический факультет

Кафедра физической химии

Утверждено
учебно-методической комиссией
кафедры физической химии

Б.И. Балыкин

МЕТОД НЕПРIVОДИМЫХ ТЕНЗОРНЫХ ОПЕРАТОРОВ В МОЛЕКУЛЯРНОЙ
СПЕКТРОСКОПИИ

Часть I. Основы теории.

Методическая разработка к спецкурсу /

Под общей редакцией
доцента Н.Ф. Степанова

МОСКВА - 1981

О Г Л А В Л Е Н И Е

	стр.
Введение	4
§1. Прелварительное рассмотрение колебательных операторов	7
§2. Операторы с представлениями групп	14
§3. Обобщенный квадриплент Клебша-Горсона	22
§4. Трафицкая техника для точечных групп	28
§5. Матрица преобразования между различными схемами связи	34
§6. Свойства симметрии π_{Γ^*} - и π_{Γ} -символов для кубических групп	38
§7. Алгебра колебательных операторов	40
§8. Классификация вращательных операторов в нестандартном базисе	49
§9. Перестановочная симметрия тензоров	56
§10. Принципы построения колебательно-вращательного оператора в тензорном виде	68
§11. Кластерная структура спектра отдельных вращательных операторов	74
§12. Построение эквивалентных вращательных операторов	86
§13. Применение теории возмущений	90
Литература	96

Данная методическая разработка содержит
изложение формализма нециклических тензорных
операторов и его приложения к задачам тео-
ретической молекулярной спектроскопии. Цель
методической разработки заключается в том,
чтобы помочь слушателям курса овладеть ос-
новами теории, которая до сих пор не изла-
галась в учебной и монографической литерату-
ре, и облегчить знакомство с оригинальны-
ми работами.

ВВЕДЕНИЕ

При теоретическом описании молекулярных спектров используются два разных подхода, неэмпирический и модельный. Неэмпирический подход подразумевает прямое квантовохимическое решение спектроскопической задачи и в настоящее время может использоваться только для относительно простых молекул в случаях спектров не очень высокого разрешения. Модельный подход основан на построении эффективных колебательно-вращательных операторов, зависящих от эмпирических параметров, определенных по экспериментальным данным, и практически всегда применяется при интерпретации колебаний, наиболее удобных для рассмотрения при этом является случай высокосимметричных молекул. В то же время именно к простым высокосимметричным молекулам, таким как CH_4 , SF_6 и т.д., в настоящее время наиболее широко применяется экспериментальные методы исследования спектров высокого разрешения, что вызвано прежде всего тем, что детальная информация о колебательно-вращательных узорах подобных молекул необходима для более глубокого понимания процессов многоцентровых переходов под влиянием излучения, лазерного разделения изотопов и т.д.

Теоретический аппарат, используемый при описании спектров молекул типа сферического волчка, является формализмом неприводимых тензорных операторов, который первоначально был разработан для решения задач атомной и ядерной физики, а затем с успехом применен в теории атомных и колесателей-мо-вращательных молекулярных спектров.

Основной проблемой при использовании модельных операторов для интерпретации и теоретического обсуждения колебательно-вращательных спектров является установление связей параметров эффективного гамильтонiana с имеющимися физическими смыслами постоянными внутримолекулярного взаимодействия. Для установления этой связи обычно используют раз-

личные варианты теории возмущений, метод контактных преобразований и т.д. Однако до последнего времени не удавалось непосредственно использовать эти подходы в рамках формализма неприводимых тензорных операторов, что было связано с недостаточной технической разработкой формализма. В "решение модельного димедиального промежутка времени" было также выявлено, что формализм неприводимых тензорных операторов может быть полезен только при модельном теоретическом описании спектров сферически симметричных молекул. Однако в последние годы много таких и простых результатов было получено при использовании данного формализма для молекул произвольных типов симметрии, и сейчас можно с уверенностью сказать, что формализм неприводимых тензорных операторов является следующий в молекулярной спектроскопии.

Целью данного курса лекций является построение формализма неприводимых тензорных операторов в такой стеренции, чтобы разрабатываемый метод мог быть использован как для качественно-го, так и для количественного описания молекулярных спектров. Данное пособие разделено на две части. Первая часть содержит основы теории. Во второй части собраны справочные формулы и таблицы вспомогательных коэффициентов, необходимые как для решения уравнений, так и для дальнейшей самостоятельной работы.

Общая схема изложения материала частей I и следующих. В I на примере построения колебательных координат симметрии нисходящего гамильтонiana спектра молекулы, неприводимые симметричной группой симметрии молекулы. Далее в II-е включаются некоторые следствия из теории групп. Основной результат здесь - это получение коэффициентов векторного сложения / "Г-символы / для точечных групп и построение графического метода расчета сложных сумм коэффициентов векторного сложения. Развитый теоретико-групповой метод применен в III к использованию преобразования некоммутирующих колебательных операторов. Следование двух параллельных построени-

решения проблем однозначной классификации вращательных и колебательных операторов произвольных степеней. Установление такой классификации позволило в §10 перейти к обсуждению возможных вкладов в колебательно-вращательный гамильтониан и изложить принципы построения произвольных модельных операторов. В §11, 12 рассмотрен качественный подход к исследованию классической структуры спектров простых аффективных вращательных операторов. Вопросу о том, каким образом установить связь между аффективным вращательным оператором и исходным колебательно-вращательным гамильтонианом, посвящен §13, в котором построение аффективных операторов осуществлено с помощью операторной теории возмущений в рамках формализма неприводимых тензорных операторов.

Данный курс лекций читался автором в течение исследований трех лет для дипломников и аспирантов, специализирующихся в области теоретической спектроскопии и квантовой химии. Излагаемый в лекциях материал в значительной степени основан на оригинальных работах автора /часть I, §§ 7, II, 13; часть II, §§ 6, 8, 10-13/. Направление работ, на которых базируется данный курс лекций, сформулировано во время моих работ в лаборатории профессора Мора-Гэди, в связи с чем я не могу не выразить ему своей признательности.

*§1. ПРЕДВАРИТЕЛЬНОЕ РАССМОТРЕНИЕ КОЛЕБАТЕЛЬНЫХ ОПЕРАТОРОВ.

Мы будем рассматривать колебательно-вращательную молекулярную задачу. Молекулы будут считаться жесткими, т.е. в качестве невозмущенной модели будет использоваться обычная модель: гармонический осциллятор - жесткий ротор. Основное внимание будет уделяться прямому и полному учету симметрии задачи. Поэтому наибольший интерес представляют те молекулы, для которых статическая модель является высокосимметричной.

Для описания колебаний и вращений молекулы, состоящей из N атомов, необходимо ввести $3N - 6$ колебательных переменных /в предположении, что статическая модель молекулы является нелинейной/ и три вращательных координаты - например, зилеровы углы поворота системы координат, жестко связанной с молекулой. Наличие двух типов координат - вращательных и колебательных - приводит сразу же к двум типам волнистых функций /колебательным и вращательным/ и к двум типам операторов.

Рассмотрение начнем с чисто колебательных операторов.

Пусть $q_1, q_2, \dots, q_{3N-6}$ - независимые колебательные координаты для N -атомной молекулы. Тогда оператор Гамильтона в общем случае задается в виде некоторой сложной функции от координат q_i и сопряженных им операторов импульса p_i .

Наиболее простой оператор Гамильтона, спектр которого все еще напоминает колебательную часть системы вынужденных гармонических осцилляторов, как известно, заменой координат q_i и импульсов p_i соответствующими оцилляторами. Координаты q_i и импульсы p_i связываются уравнениями

приближенно в гармонической приближении к системе независимо действующих колебаний /то есть всего и используяся в аспекте, узких задачах/. Координаты q_i можно раскладывать в ряд по складной, если говорить о молекуле, молекула становится не-

известной. Уравнения оцилляторов

приводят к гармонической приближении к системе независимо действующих колебаний /то есть всего и используяся в аспекте, узких задачах/. Координаты q_i можно раскладывать в ряд по складной, если говорить о молекуле, молекула становится не-

Задача.

Классификация молекулярных колебаний по симметрии.

Этапы решения задачи.

- а/ Найти характер представления, реализуемого на ЭМ лекарственных симметриях идер от их положения равновесия. Удобно характер искать независимо для каждого из групп аксиалитета иах идер.

- б/ Разложить 3N мерное представление на неприводимые представления группы симметрии.

- в/ Найти по каким неприводимым представлениям преобразуется трансляции и вращение молекулы как целого.

- г/ Выделить из 3N мерного представления чисто колебательные типы симметрии.

Пример.

Молекула SF_6 /группа симметрии O_h .

$$\begin{array}{l} \text{а/} \\ \begin{array}{ccccccccc} E & 6C_3 & 3C_2 & 6C_2 & 6C_4 & i & 6S_6 & 3S_4 & 6S_4 \\ F_6 & 18 & 0 & -2 & 0 & 2 & 0 & 0 & 4 \\ S & 3 & 0 & -1 & -1 & 1 & -3 & 0 & 1 \\ \Sigma & F_1 & F_{1g} & A_{1g} & E_g & E_g & F_{1u} & 2F_{1u} & 2F_{1u} \end{array} \end{array}$$

$$\begin{array}{ll} \text{в/} & T : F_{1u}; \quad R : F_{1u} \\ \text{г/} & \nu : A_{1g} + F_g + F_{1g} + 2F_{1u} + F_{2g} + F_{2u} \end{array}$$

Упражнение.

Провести классификацию по симметрии колебательных состояний иона $B_2H_2^{+2}$ - симметрии I_h .

Всю далее колебательные координаты будут считаться приведенными по симметрии. Мы будем использовать обозначения:

$$(q_i)_\sigma^r,$$

где i — номер колебательной ячейки — у всех колебательных

координат, преобразующихся по одному многочленному представлению номер i один и тот же;

r, σ — неприводимое представление и его строки.

Пример.

Для молекулы SF_6 обычно принята нумерация:

$$\begin{aligned} (q_1)_{A_{1g}}^r; (q_2)_{E_g}^{F_{1g}}; (q_2)_{E_g}^{F_{1u}}; (q_3)_{S_4}^{F_{1u}}; (q_3)_{S_4}^{F_{1u}}; \\ (q_4)_{S_4}^{F_{1u}}; (q_4)_{S_4}^{F_{1u}}; (q_4)_{S_4}^{F_{1u}}; (q_5)_{S_4}^{F_{1u}}; (q_5)_{S_4}^{F_{1u}}; \\ (q_6)_{S_4}^{F_{1u}}, (q_6)_{S_4}^{F_{1u}}; (q_6)_{S_4}^{F_{1u}}; \end{aligned}$$

всего 15 колебательных координат.

Напомним, что задание типа симметрии еще не определяет однозначно колебательные координаты в общем случае. Данное выражение для координат симметрии через декартовы координаты или через естественные координаты зависит от следующих факторов.

А/ Конкретный выбор матрицы представления для многомерных неприводимых представлений. Различный выбор матрицы представления приведет к различным наборам координат, преобразующихся по одному многомерному неприводимому представлению.

Б/ Порядок нумерации эквивалентных атомов в статической модели молекулы. Изменение этого порядка может привести к модификации левых формул связи координат симметрии с естественными координатами.

В/ Наличие одной или нескольких колебательных координат одного типа симметрии. В случае существования нескольких координат одного типа, эти координаты определены только с точностью до произвольного линейного преобразования внутри подпространства координат одного типа симметрии.

Пример.

Молекула CN^4 .

Принятая ориентация статической модели и нумерация атомов изображена на рис. 1.

Естественные колебательные координаты:

δ_r — изменения длии связей $O - H_L$,

δ_{ij} — изменения углов между связями $H_i - C - H_j$.

Однозначный выбор матрицы представления для группы T_d можно

заключая, определив матричные представления для генераторов группы – одного поворота S_4 , и одного поворота C_3 .

$$\begin{aligned} S_4(\pi) & \quad C_3(111) \\ E \left\{ \begin{array}{l} 1 \\ 2 \end{array} \right. & \quad \begin{pmatrix} 1 & 0 \\ 0 & -1 \end{pmatrix} \quad \begin{pmatrix} -1/2 & -\sqrt{3}/4 \\ \sqrt{3}/4 & -1/2 \end{pmatrix} \\ F_1 \left\{ \begin{array}{l} x \\ y \\ z \end{array} \right. & \quad \begin{pmatrix} 0 & 1 & 0 \\ -1 & 0 & 0 \\ 0 & 0 & 1 \end{pmatrix} \quad \begin{pmatrix} 0 & 0 & 1 \\ 1 & 0 & 0 \\ 0 & 1 & 0 \end{pmatrix} \\ F_2 \left\{ \begin{array}{l} x \\ y \\ z \end{array} \right. & \quad \begin{pmatrix} 0 & -1 & 0 \\ 1 & 0 & 0 \\ 0 & 0 & -1 \end{pmatrix} \quad \begin{pmatrix} 0 & 0 & 1 \\ 1 & 0 & 0 \\ 0 & 1 & 0 \end{pmatrix} \end{aligned}$$

Матрицы представления для всех остальных операторов симметрии могут быть получены из этих матриц и характеристик одномерных представлений. Указаный выбор статической модели в матрице представления позволяет однозначно построить /разумеется с точностью до частного множителя/ колебательные координаты типов симметрии A_1 и E .

$$\begin{aligned} (q_1)^{F_2}_x &= \frac{1}{2} (\delta r_1 - \delta r_2 + \delta r_3 - \delta r_4), \\ (q_2)^{F_2}_x &= \frac{1}{2} (-\delta r_1 + \delta r_2 + \delta r_3 - \delta r_4), \\ (q_3)^{F_2}_x &= \frac{1}{2} (\delta r_1 + \delta r_2 - \delta r_3 - \delta r_4), \\ (q_4)^{F_2}_x &= \frac{1}{2} (\delta r_{43} - \delta r_{24}), \\ (q_4)^{F_2}_y &= \frac{1}{\sqrt{2}} (\delta \alpha_{23} - \delta \alpha_{41}), \\ (q_4)^{F_2}_z &= \frac{1}{\sqrt{2}} (\delta \alpha_{42} - \delta \alpha_{31}). \end{aligned} \quad (2)$$

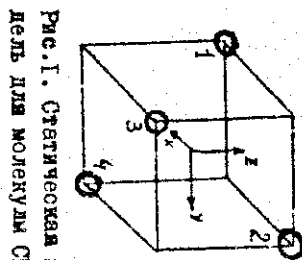


Рис. I. Статическая модель для молекулы CH_4 .

$$P^r_\sigma = \frac{[\Gamma]}{\sigma(G)} \sum_{R \in G} D_{\sigma\sigma}^{r*}(R) \cdot R,$$

где $[\Gamma]$ – размерность представления Γ ,
 $\sigma(G)$ – порядок группы G ,
 $D_{\sigma\sigma}^{r*}(R)$ – диагональный матричный элемент матрицы неприводимого представления типа Γ .

Заметим, что изменение нумерации атомов на рис. I привело бы к изменению ряда знаков в соотношениях $(\Gamma) = (2)$.

Построение координат симметрии представляет собой пример построения тензорных операторов, неприводимых относительно группы G . Аналогично операторам координат, сопряжение им операторы импульса также образуют неприводимые относительно G тензорные операторы.

Использование неприводимых тензорных операторов позволяет естественно учитывать свойства симметрии молекулярной

$$\begin{aligned} (q_1)^{F_2}_x &= \frac{1}{2} (\delta r_1 - \delta r_2 + \delta r_3 - \delta r_4), \\ (q_2)^{F_2}_x &= \frac{1}{2} (-\delta r_1 + \delta r_2 + \delta r_3 - \delta r_4), \\ (q_3)^{F_2}_x &= \frac{1}{2} (\delta r_1 + \delta r_2 - \delta r_3 - \delta r_4), \\ (q_4)^{F_2}_x &= \frac{1}{2} (\delta r_{43} - \delta r_{24}), \\ (q_4)^{F_2}_y &= \frac{1}{\sqrt{2}} (\delta \alpha_{23} - \delta \alpha_{41}), \\ (q_4)^{F_2}_z &= \frac{1}{\sqrt{2}} (\delta \alpha_{42} - \delta \alpha_{31}). \end{aligned} \quad (2)$$

$$(q'_1)^{F_2}_x = c_1 (q_3)^{F_2}_x + c_2 (q_4)^{F_2}_x, \quad \text{и т.д.,}$$

также вполне можно использовать как набор независимых координат.

Наиболее удобный способ получения явных выражений для координат симметрии – использование проекционных операторов, определяемых для дискретных групп соотношением

$$P^r_\sigma = \frac{[\Gamma]}{\sigma(G)} \sum_{R \in G} D_{\sigma\sigma}^{r*}(R) \cdot R,$$

системы. Поэтому необходимо научиться работать с тензорными операторами, и прежде всего научиться образовывать более сложные операторы, используя в качестве элементарных неприводимых тензорных операторов $(q_j)_{\sigma}^{\Gamma}$ и $(p_i)_{\sigma}^{\Gamma}$. Мы будем однако в дальнейшем строить колебательные операторы не из элементарных операторов координат и импульса, а из их линейных комбинаций:

$$(a_j)_{\sigma}^{\Gamma} = \frac{1}{\sqrt{2}} \left\{ (q_j)_{\sigma}^{\Gamma} + i (p_j)_{\sigma}^{\Gamma} \right\},$$

называемых операторами уничтожения и рождения, соответствующими. Легко видеть, что $(a_j)_{\sigma}^{\Gamma}$ и $(a_j^*)_{\sigma}^{\Gamma}$ являются неприводимыми тензорными операторами относительно группы \mathcal{G} .

Под неприводимыми тензорными операторами будем как правило понимать всю совокупность компонент тензорного оператора, в отличие от отдельной компоненты тензорного оператора. Таким образом тензорный оператор является многокомпонентной величиной. Если в обозначении у тензорного оператора отсутствует индекс строки σ – это означает, что тензорный оператор рассматривается как многокомпонентная величина.

Более сложные операторы мы можем образовать, если перейдем к произведению неприводимых тензорных операторов. Такие произведения с необходимостью должны входить в оператор Гамильтона. Однако произведение компонент неприводимых тензорных операторов не является неприводимым тензорным оператором в общем случае.

Определим тензорное произведение двух неприводимых тензорных операторов

$$(a_1)_{\Gamma_1}^{\sigma_1} (a_2)_{\Gamma_2}^{\sigma_2}$$

как совокупность компонент вида $(a_1)_{\sigma_1}^{\Gamma_1} (a_2)_{\sigma_2}^{\Gamma_2}$ со всем возможными $\sigma_1 \otimes \sigma_2$. Полученная совокупность операторов в общем случае образует приводимое представление группы \mathcal{G} .

Для перехода к неприводимым операторам надо разложить

тензорное произведение неприводимых представлений на неприводимые представления. Такое разложение проводится с помощью коэффициентов векторного сложения Клебша-Гордона. Дальнейшее изложение теории коэффициентов векторного сложения может быть сделано для довольно общего случая групп симметрии, но здесь мы ограничимся так называемыми S_R -группами /просто приводимыми/, для которых: в) леже представление группы эквивалентно своему комплексно сопряженому; б) в разложении прямого произведения двух неприводимых представлений на неприводимые каждое из неприводимых представлений встречается не более одного раза.

К S_R -группам относятся группы S_3 , D_3 , T_d , O , S_h , $SO(3)$ и т.д. Для этих групп теория коэффициентов векторного сложения очень близка к соответствующей теории для групп вращений. Перед дальнейшим изложением полностью будет напомнить некоторые схемы из теории представлений групп.

Литературные указания.

Общие замечания.

Предполагается, что слушатели знакомы с основами теории групп и основами теории колебательно-вращательных спектров. Основная литература, на которую будут неоднократно именованы в течение всего курса – [1 – 4], указана только для ссылки в течение всего курса.

Перевод на русский язык /[\[5\]](#)/ в учебнике [5]. Пояснения табл. 1 и 2 см. в [5] (табл. 5(II) в учебнике [5]). Пояснения табл. 3 и 4 см. в [5] (табл. 6(II) в учебнике [5]). Пояснения табл. 5 и 6 см. в [5] (табл. 7(II) в учебнике [5]).

Материал курса дан в статье [6] /см. первич в книге [3]/. Некоторое рассмотрение задачи построения колебательных спектров дано в [7].

§ 2. ОПЕРАТОМ С ПРЕСТАВЛЕНИЯМИ ГРУПП.

Набор функций $\psi_{\sigma}^{(r)}$ преобразуется по неприводимому представлению Γ , если для оператора симметрии R ,

$$R \psi_{\sigma}^{(r)} = \psi_{\sigma}^{(r)}$$

выполняется соотношение

$$R \psi_{\sigma}^{(r)} = \sum_{\sigma'} \psi_{\sigma'}^{(r)} D_{\sigma, \sigma'}^{(r)}(R).$$

Аналогично для операторов имеем

$$R(a) \psi_{\sigma}^{(r)} = \sum_{\sigma'} (a)_{\sigma'} D_{\sigma, \sigma'}^{(r)}(R),$$

где $D_{\sigma, \sigma'}^{(r)}$ — матрица неприводимого представления Γ .

Тогда мы рассмотрим для набора функций $\psi_{\sigma_1}^{(r_1)}, \psi_{\sigma_2}^{(r_2)}$ или операторов $(a_1)_{\sigma_1}, (a_2)_{\sigma_2}$, преобразующихся по неприводимому представлению группы G . Тогда их произведение преобразуется по представлению, являющемуся кронекеровским произведением представлений $D^{(r_1)}$ и $D^{(r_2)}$.

$$\begin{aligned} R(\psi_{\sigma_1}^{(r_1)} \psi_{\sigma_2}^{(r_2)}) &= \sum_{\sigma'_1, \sigma'_2} \psi_{\sigma'_1}^{(r_1)} \psi_{\sigma'_2}^{(r_2)} D_{\sigma_1, \sigma'_1}^{(r_1)}(R) D_{\sigma_2, \sigma'_2}^{(r_2)}(R) \\ &= \sum_{\sigma'_1, \sigma'_2} \psi_{\sigma'_1}^{(r_1)} \psi_{\sigma'_2}^{(r_2)} D_{\sigma_1, \sigma'_1}^{(r_1)} D_{\sigma_2, \sigma'_2}^{(r_2)}(R). \end{aligned}$$

Характер такого произведения равен произведению характеров. Кронекеровское произведение представлений является в общем случае приводимым.

Рассмотрим для набора функций или операторов, преобразующихся по одному и тому же неприводимому представлению /сами наборы независимы/. Исследуем более подробно как преобразуется их кронекеровское произведение

$$R(\psi_{\sigma_1}^{(r_1)} \psi_{\sigma_2}^{(r_2)}) = \sum_{\sigma'_1, \sigma'_2} \psi_{\sigma'_1}^{(r_1)} \psi_{\sigma'_2}^{(r_2)} D_{\sigma_1, \sigma'_1}^{(r_1)}(R) D_{\sigma_2, \sigma'_2}^{(r_2)}(R).$$

Переставим индексы σ_1 и σ_2

$$R(\psi_{\sigma_2}^{(r_2)} \psi_{\sigma_1}^{(r_1)}) = \sum_{\sigma'_1, \sigma'_2} \psi_{\sigma'_1}^{(r_1)} \psi_{\sigma'_2}^{(r_2)} D_{\sigma_2, \sigma'_2}^{(r_2)}(R) D_{\sigma_1, \sigma'_1}^{(r_1)}(R).$$

Теперь скажем и вычтем эти два равенства

$$\begin{aligned} R(\psi_{\sigma_1}^{(r_1)} \psi_{\sigma_2}^{(r_2)} \pm \psi_{\sigma_2}^{(r_2)} \psi_{\sigma_1}^{(r_1)}) &= \\ &= \sum_{\sigma'_1, \sigma'_2} \psi_{\sigma'_1}^{(r_1)} \psi_{\sigma'_2}^{(r_2)} \{ D_{\sigma_1, \sigma'_1}^{(r_1)}(R) D_{\sigma_2, \sigma'_2}^{(r_2)}(R) \pm D_{\sigma_2, \sigma'_2}^{(r_2)}(R) D_{\sigma_1, \sigma'_1}^{(r_1)}(R) \} \\ &= \frac{1}{2} \sum_{\sigma'_1, \sigma'_2} \{ \psi_{\sigma'_1}^{(r_1)} \psi_{\sigma'_2}^{(r_2)} \pm \psi_{\sigma'_2}^{(r_2)} \psi_{\sigma'_1}^{(r_1)} \} \times \\ &\quad \{ D_{\sigma_1, \sigma'_1}^{(r_1)}(R) D_{\sigma_2, \sigma'_2}^{(r_2)}(R) \pm D_{\sigma_2, \sigma'_2}^{(r_2)}(R) D_{\sigma_1, \sigma'_1}^{(r_1)}(R) \}. \end{aligned}$$

Получение равенства показывает, что антисимметрическое произведение функций преобразуется через антисимметрическое симметрическое через симметрическое произведение. Поэтому в общем случае /кроме одномерных представлений/ квадрат представления $D^{(r)}$, т.е. $D^{(r)} \times D^{(r)}$ разлагается в сумму симметрического $[D^{(r)}, D^{(r)}]$ и антисимметрического $\{D^{(r)}, D^{(r)}\}$ произведений представлений

$$D^{(r)} \times D^{(r)} = [D^{(r)} \times D^{(r)}] + \{D^{(r)}, D^{(r)}\}.$$

Каждая из симметрической или антисимметрической частей произведения представлений может быть приводимой. Матрицы соответствующих представлений имеют вид

$$\begin{aligned} [D^{(r)} \times D^{(r)}]_{\sigma_1, \sigma_2, \sigma_3, \sigma_4} &= \\ &= \frac{1}{2} [D_{\sigma_1, \sigma_3}^{(r)}(R) D_{\sigma_2, \sigma_4}^{(r)}(R) + D_{\sigma_2, \sigma_3}^{(r)}(R) D_{\sigma_1, \sigma_4}^{(r)}(R)]. \end{aligned}$$

$$[D^{(r)} \times D^{(r)}]_{\sigma_1, \sigma_2, \sigma_3, \sigma_4} =$$

$$= \frac{1}{2} [D_{\sigma_1, \sigma_3}^{(r)}(R) D_{\sigma_2, \sigma_4}^{(r)}(R) - D_{\sigma_2, \sigma_3}^{(r)}(R) D_{\sigma_1, \sigma_4}^{(r)}(R)].$$

Размерность симметрического представления $(1/2)[1][1][1]$. Ранее мы видели, что если $\psi_{\sigma}^{(r)} = \psi_{\sigma}^{(r)}$, то антисимметрическое произведение тождественно равно нулю, и остается только симметрическое произведение представлений.

Вычислим характеры

$$\begin{aligned} [f^{(r)} \times f^{(r)}] &= \frac{1}{2} \sum_{\sigma_1 \sigma_2} [D_{\sigma_1 \sigma_2}^{(r)}(R) D_{\sigma_2 \sigma_1}^{(r)}(R) + D_{\sigma_2 \sigma_1}^{(r)}(R) D_{\sigma_1 \sigma_2}^{(r)}(R)] \\ &= \frac{1}{2} \left[\sum_{\sigma_1 \sigma_2} D_{\sigma_1 \sigma_2}^{(r)}(R) D_{\sigma_2 \sigma_1}^{(r)}(R) + \sum_{\sigma_1} D_{\sigma_1 \sigma_1}^{(r)}(R^2) \right] \\ &= \frac{1}{2} [(f^{(r)}(R))^2 + f^{(r)}(R^2)]. \end{aligned}$$

Аналогично

$$\{f^{(r)}, f^{(r)}(R)\} = \frac{1}{2} [(f^{(r)}(R))^2 - f^{(r)}(R^2)].$$

Наряду с представлением $\mathcal{D}(R)$ мы можем рассмотреть сопряженное представление $\tilde{\mathcal{D}}(R)$, которое получается, если заменить матрицу представления заменить матрицы, обратной транспонированной

$$\tilde{\mathcal{D}}(R) = \tilde{\mathcal{D}}^{-1}(R).$$

Определим также комплексно сопряженное представление $\tilde{\mathcal{D}}^*(R)$. Для унитарных представлений kompleksno сопряженное и сопряженное представления совпадают /нас будут интересовать только унитарные представления/, если представление периодично, то и комплексно сопряженное представление периодично. Для действительных представлений $\tilde{\mathcal{D}}(R)$ просто совпадает с $\mathcal{D}^*(R)$, но для комплексных представлений имеется две возможности: а/ представления $\mathcal{D}(R)$ и $\mathcal{D}^*(R)$ эквивалентны, б/ $\mathcal{D}(R)$ не эквивалентно $\mathcal{D}^*(R)$.

Мы будем рассматривать только амплитудные группы, в которых $\mathcal{D}(R)$ и $\mathcal{D}^*(R)$ эквивалентны. Согласно вышеуказанной группе содержит требование: знаки от R^{-1} пропадают /также я классу/, что и R , и из этого сразу же вытекает эквивалентность $\mathcal{D}(R)$ и $\mathcal{D}^*(R)$. Упомянутые из эквивалентности $\mathcal{D}(R)$ и $\mathcal{D}^*(R)$ следует, что в результате мы имеем два типа представления амплитудных групп: 1/ $\mathcal{D}(R)$ – вещественно /представление $\mathcal{D}(R)$ вещественному виду/; 2/ $\mathcal{D}(R)$ – комплексно $\mathcal{D}^*(R)$, но $\mathcal{D}^*(R)$ нельзя привести к вещественному виду.

Используя лемму Шура и аксиоматичность $\mathcal{D}(R)$ и $\mathcal{D}^*(R)$ можно показать, что существует неособенная унитарная матрица U , такая что $U \mathcal{D}(R) U^{-1} = \mathcal{D}^*(R)$. Можно также показать, что матрица U удовлетворяет равству

$$U^{-1} \tilde{U} = c E, \quad (2-1)$$

где $c = \pm 1$, и, следовательно, онаана быть либо симметричной $\tilde{U} = U$, либо кососимметричной, $\tilde{U} = -U$. Для представлений, применимых к вещественному виду, матрица U симметрична /такие представления называют целыми/, а для представлений, не применимых к вещественному виду, матрица U – кососимметрична /такие представления называют полуцелыми/.

Матрице U следует называть \mathfrak{D}^σ -символом / $2j\sigma$ -символ в случае групп вращений, а иногда и в общем случае/ и использовать для нее обозначение $(\sigma\sigma')$. В учебнике Хаммершталя и Ридда других мест есть символ носит название I_j -символа, однако такое название противоречит более распространенному σ и $\sigma'j$ -символам.

Число c в формуле (2-1) равное ± 1 для вещественных представлений называют $2j$ -символом /или \mathfrak{D}^σ -символом/. Это число не зависит от выбора базиса и характеризует перестановочную симметрию $2j\sigma$ -символа. Мы будем число c записывать в виде

$$c = (-1)^{\mathfrak{D}}, \quad \mathfrak{D} = (-1)^{\sigma} \cdot (-1)^{\sigma'} = +1,$$

а для получении $(-1)^{\mathfrak{D}} = -1$.

Заметим, что в тех случаях, когда $(\sigma\sigma')$ символ называется I_j -символом, число c , характеризующее его перестановочную симметрию называется I_j -фазой.

Далее при введении новых символов мы будем придерживаться следующих правил в их назначении. Если символ заменят от выбора базиса, то в его название будет входить индекс строки неприводимого представления k_σ или m , нап-

ример $2jm$, $3jm$ -символы. Если же символ не зависит от индекса базиса, то и его назование можно строго якобы не считать. Например, $2j$ и $3j$ -символы, не зависящие от базиса, характеризуют четырехзначную симметрию $2jm$ и $3jm$ -символов. $2j$ и $3jm$ -символы будут определены ниже в этом же параграфе.

Пример. Группа краяния.

Обычный выбор базиса не приводит к действительным матрицам представления. Единственное удовлетворяющее условию

$$(\gamma_j^m)^* = (-1)^{j-m} \gamma_{-m}^j,$$

$2jm$ -символ имеет вид $\binom{j}{m, m'} = (-1)^{j-m} \delta_{m, -m'}$, при этом $2j$ -символ равен $(-1)^{\frac{j(j+1)}{2}}$.

Для дальнейшего рассмотрения суммы совокупности амплитудных групп, являла дополнительное условие:

Кронекеровское произведение двух неприводимых представлений группы G содержит всегда неприводимое представление не более чем один раз.

Группу, удовлетворяющую этому условию называют мультипликативно свободной.

Амплитудная группа, являющаяся также мультипликативно свободной носят название SK -группы /просто приводимая/.

Все представления SK -группы являются либо целыми, либо полуцелыми, что является следствием условия амплитудности. Сформулируем еще ряд утверждений и определений, относящихся к неприводимым представлениям SK -групп, которые по-настоящему в дальнейшем.

Утверждение.

Кронекеровское произведение двух целых или двух полуцелых представлений SK -группы содержит лишь целые представления; кронекеровское произведение целого и полуцелого представления содержит лишь полуцелые представления.

Определение.

Если $D^{(r)}$ -乃是 представление, то неприводимые пред-

ставления, содержащиеся в симметризованной части кронекеровского произведения $[D^{(r)}, D^{(r)}]$ называют четными, а в антисимметризованной части $\{D^{(r)}, D^{(r)}\}$ - нечетными. Наоборот, если $D^{(r)}$ - полупарное представление, то неприводимые представления, содержащиеся в симметризованном квадрате называют четными, а в антисимметризованном - нечетными.

Утверждение.

Представление SK -группы не может быть одновременно четным и нечетным. Однако, оно может не относиться ни к четному ни к нечетному типу представлений.

В символических обозначениях для парных представлений применито:

$$(-1)^G = \begin{cases} +1 & \text{для четных} \\ -1 & \text{для нечетных} \end{cases}$$

Переднем к задаче разложение кронекеровского произведения на нечетных представлений на четные подгруппы. Запишем такое разложение для базисных функций, преобразуя их по неприводимым представлениям SK -группы G :

$$|\Gamma_1 \sigma_1\rangle |\Gamma_2 \sigma_2\rangle = \sum_{\sigma_1, \sigma_2} |\Gamma_1 \sigma_1\rangle \langle \Gamma_1 \sigma_1 | \Gamma_2 \sigma_2\rangle \langle \Gamma_2 \sigma_2 | \Gamma_1 \sigma_1\rangle$$

Коэффициент $\langle \Gamma_1 \sigma_1 | \Gamma_2 \sigma_2\rangle$ носит название коэффициента векторного сложения или коэффициента Клонса-Лопана. Написанное равенство можно понимать как преобразование одной ортогонормированной системы функций в другую. Тогда, коэффициенты разложения должны пониматься как матричные элементы некомпактной ультарной матрицы. Обратное преобразование имеет вид:

$$|\Gamma_1 \sigma_1\rangle = \sum_{\sigma_2} |\Gamma_1 \sigma_1\rangle \langle \Gamma_1 \sigma_1 | \Gamma_2 \sigma_2\rangle \langle \Gamma_2 \sigma_2 | \Gamma_1 \sigma_1\rangle.$$

Матрица преобразования может быть выбрана вещественной, и тогда

$$\langle \Gamma_1 \sigma_1 | \Gamma_2 \sigma_2\rangle = \langle \Gamma_1 \sigma_1 | \Gamma_2 \sigma_2\rangle.$$

Оказывается, однако, что вместо коэффициента Клонса-Лопана можно выбрать более удобные для использования величины, которые обладают более симметричным относительно пе-

перестановок индексов свойствами. Эти величины называют 3^m -им $\mathcal{E}\sigma$ -символами. Они связаны с коэффициентами Клебша-Гордана следующими соотношениями

$$\langle \Gamma_1 \Gamma_2 \Gamma | \Gamma_1 \Gamma_2 \Gamma \rangle = \sum_{\sigma} [\Gamma]^{1/2} \left(\begin{smallmatrix} \Gamma & \Gamma & \Gamma \\ \sigma \sigma & \sigma \sigma \end{smallmatrix} \right) K_{\Gamma_1 \Gamma_2},$$

где $K_{\Gamma_1 \Gamma_2}$ - дополнительный базовый множитель, певедение которого для некоторых групп обусловлено историческими причинами. $K_{\Gamma_1 \Gamma_2}$ можно было бы выбрать произвольно, если бы для коэффициентов в левой части выбор был не был уже сделан.

Для группы пространственных вращений база $K_{j_1 j_2 j_3}$, следующая № 3 выбора Коидона-Лоргли для коэффициентов Клебша-Гордана

$$K_{j_1 j_2 j_3} = (-1)^{j_1 + j_2 + j_3}.$$

Для кубических групп связь между коэффициентами Клебша-Гордана и $\mathcal{E}\sigma$ -символами приведена ниже. Для вещественных представлений полагают $K = 1$, при этом $\left(\begin{smallmatrix} \Gamma & \Gamma & \Gamma \\ \sigma \sigma & \sigma \sigma \end{smallmatrix} \right) = \delta_{\sigma \sigma}$. И мы имеем

$$\langle \Gamma_1 \Gamma_2 \Gamma | \Gamma_1 \Gamma_2 \Gamma \rangle = [\Gamma]^{1/2} \left(\begin{smallmatrix} \Gamma & \Gamma & \Gamma \\ \sigma_1 & \sigma_2 & \sigma \end{smallmatrix} \right). \quad (2-1)$$

Для точечных групп для $\mathcal{E}\sigma$ -символов часто используют обозначение о буквой:

$$\int \Gamma_1 \Gamma_2 \Gamma \int \sigma_1 \sigma_2 \sigma, \quad \text{также} \quad \langle \Gamma_1 \Gamma_2 \Gamma | \Gamma_1 \Gamma_2 \Gamma \rangle.$$

Свойства $\mathcal{E}\sigma$ -символов относительно перестановок индексов:

$$\begin{aligned} \left(\begin{smallmatrix} \Gamma & \Gamma & \Gamma \\ \sigma_1 & \sigma_2 & \sigma \end{smallmatrix} \right) &= \left(\begin{smallmatrix} \Gamma & \Gamma & \Gamma \\ \sigma_2 & \sigma_1 & \sigma \end{smallmatrix} \right) = \left(\begin{smallmatrix} \Gamma & \Gamma & \Gamma \\ \sigma & \sigma_1 & \sigma_2 \end{smallmatrix} \right); \\ \left(\begin{smallmatrix} \Gamma & \Gamma & \Gamma \\ \sigma_1 & \sigma_2 & \sigma \end{smallmatrix} \right) &= (-1)^{\Gamma_1 \Gamma_2 \Gamma} \left(\begin{smallmatrix} \Gamma & \Gamma & \Gamma \\ \sigma_2 & \sigma_1 & \sigma \end{smallmatrix} \right). \end{aligned}$$

Для группы времени \mathcal{E} базисный множитель имеет вид $(-1)^{j_1 + j_2}$. Имитатор $(-1)^{j_1 j_2}$ следует называть $\mathcal{E}\cdot(3_j)$ -символом. Т.к. он определяет не зависимость от базиса перестановочных свойств $\mathcal{E}\sigma$ -символов. Для 3_j -символа в литературе

также встречается название 3_j -язык.

Из свойств $\mathcal{E}\sigma$ -символов отметим еще, что они обнаруживаются в ноль, если не выполняется условие треугольника, т.е.

если в произведение двух неприводимых представлений не входит третье. Более подробно свойства $\mathcal{E}\sigma$ -символов мы обсудим после изложения гравиметрической техники.

Используя $\mathcal{E}\sigma$ -символы для точечных групп мы теперь можем легко построить тензорное произведение двух операторов определенного типа симметрии:

$$[(a_1)^{\Gamma_1} \times (a_2)^{\Gamma_2}]^{\Gamma} = [\Gamma]^{1/2} \sum_{\sigma_1 \sigma_2} \left(\begin{smallmatrix} \Gamma & \Gamma & \Gamma \\ \sigma_1 & \sigma_2 & \sigma \end{smallmatrix} \right) (a_1)_{\sigma_1}^{\Gamma_1} (a_2)_{\sigma_2}^{\Gamma_2}.$$

Это неприводимое тензорное произведение двух операторов типа $\Gamma_1 \times \Gamma_2$. Напомним, что порядок следования операторов существует. С одной стороны компоненты тензорного оператора не обязаны коммутировать, а с другой изменение порядка следования операторов может привести к изменению знака произведения за счет фазового множителя $(-1)^{j_1 + j_2 + j_3}$.

Упражнение 2.1.

Какие из групп C_3 , C_{3v} , T , T_d , I , группы перестановок S_5 , являющиеся альтернирующими, мультилинейно свободными? Какое из их представлений целое, полуряд, четные, нечетные?

Упражнение 2.2.

Рассчитать для группы O /см. §2 части II/:

$$[a_3^{\sigma_1} \cdot a_4^{\sigma_2}]^{\sigma_3}; [a_3^{\sigma_1} \cdot a_4^{\sigma_2}]^{\sigma_4}; \{ [a_2^{\sigma_1} \cdot a_2^{\sigma_2}]^{\sigma_3} - [a_2^{\sigma_1} \cdot a_2^{\sigma_2}]^{\sigma_4} \}.$$

Литературные указания.

Общие сведения - глава 5 в книге [1]. Оригинальное изложение теории коэффициентов второго порядка для $\mathcal{E}\sigma$ -групп дано Витнером [9]. Более общее изложение теории - [10, 11].

Таблица $\mathcal{E}\sigma$ -символов для групп O ■ T_d , соответствующая указанному в §1 выбору матриц представлений, дана в работе [12] /см. §2 части II лекции/.

§3. ОБОЩЕННЫЙ КОЭФФИЦИЕНТ КЛЕБИА-ТОРДОНА.

Следующий этап - переход к построению произведения произвольного числа неприводимых тензорных операторов, или в эквивалентной формулировке, к разложению на неприводимые представления произведения произвольного числа неприводимых представлений. В случае групп вращений это есть задача сложения произвольного числа моментов количества движения. Эта задача может быть решена путем последовательного сведения и построения неприводимых тензорных произведений двух операторов, однако для однозначного определения произведения в общем случае необходимо задать еще схему схемы. Поэтому наряду с задачей сложения произвольного числа моментов возникает задача о преобразовании от одной возможной схемы схемы к другой.

Пусть заново произведение функций, преобразующихся по правилам неприводимым представлениям $|\Gamma_1^{\sigma_1}\rangle, |\Gamma_2^{\sigma_2}\rangle, |\Gamma_3^{\sigma_3}\rangle$. Для того, чтобы привести такое произведение к неприводимому виду, можно сначала разложить прямое произведение

$$|\Gamma_1^{\sigma_1}\rangle |\Gamma_2^{\sigma_2}\rangle = \sum_{\sigma_4, \sigma_5} |\Gamma_1^{\sigma_1} \Gamma_2^{\sigma_2} \Gamma_4^{\sigma_4} \Gamma_5^{\sigma_5}\rangle \langle \Gamma_1^{\sigma_1} \Gamma_2^{\sigma_2} \Gamma_4^{\sigma_4} \Gamma_5^{\sigma_5}| \Gamma_1^{\sigma_1} \Gamma_2^{\sigma_2} \Gamma_4^{\sigma_4} \Gamma_5^{\sigma_5}\rangle,$$

а затем разложение провести для произведения

$$|\Gamma_1^{\sigma_1} \Gamma_2^{\sigma_2} \Gamma_4^{\sigma_4}\rangle |\Gamma_5^{\sigma_5}\rangle = \sum_{\sigma_3} |\Gamma_1^{\sigma_1} \Gamma_2^{\sigma_2} \Gamma_4^{\sigma_4} \Gamma_3^{\sigma_3}\rangle \langle (\Gamma_1^{\sigma_1}) \Gamma_2^{\sigma_2} \Gamma_4^{\sigma_4} \Gamma_3^{\sigma_3}| (\Gamma_1^{\sigma_1}) \Gamma_2^{\sigma_2} \Gamma_4^{\sigma_4} \Gamma_3^{\sigma_3}\rangle.$$

Таким образом произведение трех представлений оказывается примененным

$$\begin{aligned} |\Gamma_1^{\sigma_1}\rangle |\Gamma_2^{\sigma_2}\rangle |\Gamma_3^{\sigma_3}\rangle &= \\ &= \sum_{\substack{\sigma_4, \sigma_5 \\ \sigma_4, \sigma_6}} |(\Gamma_1^{\sigma_1}) \Gamma_2^{\sigma_2} \Gamma_4^{\sigma_4} \Gamma_3^{\sigma_3}\rangle \langle (\Gamma_1^{\sigma_1}) \Gamma_2^{\sigma_2} \Gamma_4^{\sigma_4} \Gamma_3^{\sigma_3}| (\Gamma_1^{\sigma_1}) \Gamma_2^{\sigma_2} \Gamma_4^{\sigma_4} \Gamma_3^{\sigma_3}\rangle \times \\ &\quad \langle \Gamma_1^{\sigma_1} \Gamma_2^{\sigma_2} \Gamma_4^{\sigma_4} \Gamma_3^{\sigma_3} | \Gamma_1^{\sigma_1} \Gamma_2^{\sigma_2} \Gamma_4^{\sigma_4} \Gamma_3^{\sigma_3}\rangle. \end{aligned}$$

В полученную формулу входит сумма произведений коэффициен-

тов Клебия-Гордона. Применение трех неприводимых чисел к задаче привести также, если видим обобщенный коэффициент Клебия-Гордона

$$|\Gamma_1^{\sigma_1}\rangle |\Gamma_2^{\sigma_2}\rangle |\Gamma_3^{\sigma_3}\rangle =$$

$$= \sum_{\substack{\sigma_4, \sigma_5 \\ \sigma_4, \sigma_6}} |(\Gamma_1^{\sigma_1}) \Gamma_2^{\sigma_2} \Gamma_4^{\sigma_4} \Gamma_3^{\sigma_3}\rangle \langle (\Gamma_1^{\sigma_1}) \Gamma_2^{\sigma_2} \Gamma_4^{\sigma_4} \Gamma_3^{\sigma_3}| \Gamma_1^{\sigma_1} \Gamma_2^{\sigma_2} \Gamma_4^{\sigma_4} \Gamma_3^{\sigma_3}\rangle.$$

Используя свойство единичности, заменим обратное соотношение

$$|(\Gamma_1^{\sigma_1}) \Gamma_2^{\sigma_2} \Gamma_4^{\sigma_4} \Gamma_3^{\sigma_3}\rangle =$$

$$= \sum_{\substack{\sigma_4, \sigma_5 \\ \sigma_4, \sigma_6}} |\Gamma_1^{\sigma_1} \Gamma_2^{\sigma_2} \Gamma_4^{\sigma_4} \Gamma_3^{\sigma_3}\rangle \langle \Gamma_1^{\sigma_1} \Gamma_2^{\sigma_2} \Gamma_4^{\sigma_4} \Gamma_3^{\sigma_3}| (\Gamma_1^{\sigma_1}) \Gamma_2^{\sigma_2} \Gamma_4^{\sigma_4} \Gamma_3^{\sigma_3}\rangle.$$

Представление Γ_{12} является промежуточным представлением. Его индексы указывают из каких представлений получается это промежуточное представление. Задание Γ_{12} необходимо для полной характеристики построенной функции. Место Γ_{12} в качестве промежуточного представления можно было бы использовать, например, Г. 23. Тогда

$$|\Gamma_1^{\sigma_1}\rangle |\Gamma_2^{\sigma_2}\rangle |\Gamma_3^{\sigma_3}\rangle =$$

$$= \sum_{\substack{\sigma_4, \sigma_5 \\ \sigma_4, \sigma_6}} |\Gamma_1(\Gamma_2^{\sigma_2}) \Gamma_2^{\sigma_2} \Gamma_4^{\sigma_4} \Gamma_3^{\sigma_3}\rangle \langle \Gamma_1(\Gamma_2^{\sigma_2}) \Gamma_2^{\sigma_2} \Gamma_4^{\sigma_4} \Gamma_3^{\sigma_3}| \Gamma_1^{\sigma_1} \Gamma_2^{\sigma_2} \Gamma_4^{\sigma_4} \Gamma_3^{\sigma_3}\rangle.$$

Наборы функций $|(\Gamma_1^{\sigma_1}) \Gamma_2^{\sigma_2} \Gamma_4^{\sigma_4} \Gamma_3^{\sigma_3}\rangle$ и $|\Gamma_1(\Gamma_2^{\sigma_2}) \Gamma_2^{\sigma_2} \Gamma_4^{\sigma_4} \Gamma_3^{\sigma_3}\rangle$ являются эквивалентными и равноправными при применении произведения трех представлений. В общем случае произвольного числа неприводимых представлений совокупность промежуточных представлений образует схему схем. Так для четырех представлений из функций $|\Gamma_1^{\sigma_1}\rangle |\Gamma_2^{\sigma_2}\rangle |\Gamma_3^{\sigma_3}\rangle |\Gamma_4^{\sigma_4}\rangle$ можно построить функции вид

$$|((\Gamma_1^{\sigma_1}) \Gamma_2^{\sigma_2} \Gamma_4^{\sigma_4}) \Gamma_3^{\sigma_3} \Gamma_4^{\sigma_4} \Gamma_2^{\sigma_2} \Gamma_3^{\sigma_3} \Gamma_1^{\sigma_1}\rangle,$$

а также вид

$$|(((\Gamma_1^{\sigma_1}) \Gamma_2^{\sigma_2} \Gamma_4^{\sigma_4}) \Gamma_3^{\sigma_3} \Gamma_4^{\sigma_4} \Gamma_2^{\sigma_2} \Gamma_3^{\sigma_3} \Gamma_1^{\sigma_1}) \Gamma_2^{\sigma_2} \Gamma_3^{\sigma_3} \Gamma_4^{\sigma_4}\rangle.$$

Эти функции соответствуют схемам схем

$$(1+2)+(3+4) = ((1+2)+3)+4.$$

Поскольку наборы функций, отвечающие каждой схеме связи, являются полными, можно определить матрицу перехода от одной схемы связи к другой

$$\begin{aligned} & \langle (\Gamma_1 \Gamma_2 \dots \Gamma_n) B \mid \Gamma \rangle = \\ & = \sum_{\sigma, \sigma'} \langle (\Gamma_1 \dots \Gamma_n) A \mid \Gamma \sigma' \rangle \langle (\Gamma_1 \dots \Gamma_n) A \sigma \mid \Gamma \sigma \rangle \langle (\Gamma_1 \dots \Gamma_n) B \mid \Gamma \sigma \rangle . \end{aligned}$$

Здесь $\langle (\Gamma_1 \dots \Gamma_n) A \mid \Gamma \sigma' \rangle \langle (\Gamma_1 \dots \Gamma_n) A \sigma \mid \Gamma \sigma \rangle$ - матрица преобразования, она диагональна по Γ и σ . А, В - схемы связи: а, в - значения произведений представлений.

Матрица преобразования не зависит от индекса строки σ , поэтому этот индекс часто в обозначениях опускают. Для матрицы преобразования легко начинать выражение через обобщенные коэффициенты Кебела-Гордона. Для этого достаточно использовать разложение единицы /

$$\langle (\Gamma_1 \dots \Gamma_n) A \mid \Gamma \rangle \langle (\Gamma_1 \dots \Gamma_n) B \mid \Gamma \rangle = \quad (3-1)$$

$$= \sum_{\sigma, \sigma'} \langle (\Gamma_1 \dots \Gamma_n) A \sigma \mid \Gamma_1 \dots \Gamma_n \rangle \langle \Gamma_1 \dots \Gamma_n \mid \Gamma_1 \sigma' \dots \Gamma_n \sigma' \rangle .$$

Из этой формулы сразу получаем, что при действительных коэффициентах Кебела-Гордона матрица преобразования также действительна. Суммирование в (3-1) проведено по всем возможным кроме σ , но от σ матрица преобразования не зависит, поэтому для нее можно использовать формулу

$$\langle (\Gamma_1 \dots \Gamma_n) A \mid \Gamma \rangle \langle (\Gamma_1 \dots \Gamma_n) B \mid \Gamma \rangle = \quad (3-2)$$

$$= \sum_{\sigma, \sigma'} \langle (\Gamma_1 \dots \Gamma_n) A \sigma \mid \Gamma_1 \sigma' \dots \Gamma_n \sigma' \rangle \langle \Gamma_1 \sigma' \dots \Gamma_n \sigma' \mid \Gamma_1 \dots \Gamma_n B \mid \Gamma \rangle .$$

Здесь $[\Gamma]$ - размерность представления Γ .

При перестановке двух неизмененно связанных представлений матрица преобразования умножается на фактор множества $(-1)^{\sigma_1 \sigma_2 \dots \sigma_n}$. Пример.

$$\begin{aligned} & \langle (\Gamma_2 \Gamma_1 \Gamma_3 \Gamma_4) \Gamma_3 \mid ((\Gamma_1 \Gamma_2 \Gamma_3 \Gamma_4) \Gamma_2 \Gamma_4 \Gamma) = \\ & = (-1)^6 \langle (\Gamma_3 \Gamma_4 \Gamma_2 \Gamma_1) \Gamma_2 \mid ((\Gamma_1 \Gamma_2 \Gamma_3 \Gamma_4) \Gamma_2 \Gamma_4 \Gamma) = \\ & = \Gamma_{12} + \Gamma_{34} + \Gamma + \Gamma_1 + \Gamma_2 + \Gamma_{12} . \end{aligned}$$

Вход в матрицу преобразования схема вправо входит производственные представления, имеющие одинаковую совокупность индексов, матрица преобразования диагональна по этому представлению, так именем:

$$\begin{aligned} & \langle (\Gamma_1 \dots \Gamma_n) A \sigma \mid \Gamma_1 \dots \Gamma_n \rangle \langle (\Gamma_1 \dots \Gamma_n) A \sigma' \mid \Gamma_1 \dots \Gamma_n \rangle \langle (\Gamma_1 \dots \Gamma_n) B \mid \Gamma \rangle = \\ & = \delta_{\sigma, \sigma'} \langle (\Gamma_1 \dots \Gamma_n) A \sigma \mid (\Gamma_1 \dots \Gamma_n) A \sigma' \rangle , \\ & \langle (\Gamma_1 \dots \Gamma_n) B \mid \Gamma \rangle = \langle (\Gamma_1 \dots \Gamma_n) B \mid (\Gamma_1 \dots \Gamma_n) B' \rangle . \end{aligned}$$

Решим кроме того опущенное преобразование, например, внутренняя совокупность представлений $\Gamma_1 \Gamma_2 \dots \Gamma_n$, то

$$\begin{aligned} & \langle (\Gamma_1 \dots \Gamma_n) A \sigma \mid \Gamma_1 \dots \Gamma_n \rangle \langle (\Gamma_1 \dots \Gamma_n) A \sigma' \mid \Gamma_1 \dots \Gamma_n \rangle \langle (\Gamma_1 \dots \Gamma_n) B \mid \Gamma \rangle = \\ & = \delta_{\sigma, \sigma'} \delta_{\alpha, \alpha'} \langle (\Gamma_1 \dots \Gamma_n) B \mid \Gamma \mid (\Gamma_1 \dots \Gamma_n) B' \rangle . \end{aligned}$$

Упрощение матрицы преобразования достигается также в том случае, когда одно из представлений является полносимметрическим A_1 или $J = O$. В таком случае это представление можно просто опустить из матрицы преобразования.

Упрощение 3.1.

Для группы T_d построить все возможные неприводимые тензоры, возникающие при разложении произведения

$$(a_1)^{\Gamma_1} \cdot (a_2)^{\Gamma_2} \cdot (a_3)^{\Gamma_3} ; \quad (a_1)^{\Gamma_1} \cdot (a_2)^{\Gamma_2} \cdot (a_3)^{\Gamma_3} \cdot (a_4)^{\Gamma_4} .$$

Литературные указания.

Подробное изложение вопросов данного параграфа на примере группы прращений дано в главе 2 книги [2].

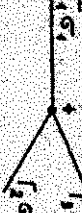
4. ГРАФИЧЕСКАЯ ТЕХНИКА ДЛЯ ТОЧЕЧНЫХ ГРУП.

Построение сложных операторов определенного типа симметрии, расчет их матричных элементов и т.д., приводят к спиритуально трудоемким вычислам с выражениями, содержащими большое число индексов суммирования. Получить проекции расчетов помогает графический метод суммирования и преобразования сложных сумм коэффициентов Клейбера-Гордона, или ЭБ-символов. Графическая техника может быть решена как для коэффициентов Клейбера-Гордона, так и для ЭБ-символов. Мы будем всегда пользоваться графическим изображением ЭБ-символов.

Наиболее подробно обобщенная графическая техника для группы яркостей, но при этом она несколько отличается от графической техники для точечных групп, прежде всего из-за различия в ЭБ-символах. Используя графический метод на примере кубических групп, для которых ЭБ-символы определены согласно равенству (2-2).

Будем изображать ЭБ-символ ориентированием узлов

$$\begin{pmatrix} \Gamma_1 & \Gamma_2 & \Gamma_3 \\ \sigma_1 & \sigma_2 & \sigma_3 \end{pmatrix} =$$



Узел имеет знак +, если пятачковое чередование представлений, входящих в ЭБ-символ, получается при обходе узла против часовой стрелки. Узел имеет знак -, если пятачковое чередование представлений, входящих в ЭБ-символ, получается при обходе узла по часовой стрелке. Таким образом можно записать:

$$\begin{pmatrix} \Gamma_1 & \Gamma_2 & \Gamma_3 \\ \sigma_1 & \sigma_2 & \sigma_3 \end{pmatrix} = \begin{pmatrix} \Gamma_1 & \Gamma_2 & \Gamma_3 \\ \sigma_1 & \sigma_2 & \sigma_3 \end{pmatrix} =$$

Аналитическое выражение для этого символа

$$\begin{pmatrix} \Gamma_1 & \Gamma_2 \\ \sigma_1 & \sigma_2 \end{pmatrix} = [\Gamma_1]^{-1/2} \sum_{\sigma_1, \sigma_2} \delta_{\sigma_1, \sigma_2}$$

Еще более частный случай ЭБ-символа

$$\begin{pmatrix} \Gamma_1 \\ \sigma_1 \end{pmatrix} \equiv \begin{pmatrix} \Gamma_1 & A_1 & A_1 \\ \sigma_1 & 0 & 0 \end{pmatrix} = \sum_{A_1} \sum_{\sigma_1, 0} = \sum_{A_1} \sum_{\sigma_1, 0}$$

Наконец можно ввести графическое обозначение для делта символа

$$\delta_{\sigma_1, \sigma_2} = \frac{\Gamma_1 \sigma_1}{\Gamma_2 \sigma_2}$$

Некоторые равенства есть условия симметрии ЭБ-символов относительно перестановки индексов. Оно означает также, что изменение знака узла соответствует изменению фазового множителя $(-1)^{\Gamma_1 \cdot \sigma_1 \cdot \sigma_2}$.

условие инвариантности ЭБ-символа относительно индексической перестановки индексов графически выражается возможностью произвольной ориентации узла в плоскости.

Второе основное положение графического метода — суммирование по проекции изображается соединением тех свободных концов, которым отвечает эта проекция. Например, график

$$\sum_{\sigma_3, \sigma_5} (\Gamma_1 \Gamma_2 \Gamma_3) (\Gamma_3 \Gamma_4 \Gamma_5) (\Gamma_5 \Gamma_6 \Gamma_7)$$

является изображением суммы произведения трех ЭБ-символов по двум проекциям, отвечающим одинаковым представлениям

$$\sum_{\sigma_3, \sigma_5} (\Gamma_1 \Gamma_2 \Gamma_3) (\Gamma_3 \Gamma_4 \Gamma_5) (\Gamma_5 \Gamma_6 \Gamma_7)$$

Сумма именно такого вида возникает при расчленении обобщенных коэффициентов второго порядка сложения.

Введем графическое изображение ряда более простых, чем ЭБ-символы величин. 2ГБ-символ изображается узлом с двумя линиями

$$\begin{pmatrix} \Gamma_1 \Gamma_2 \\ \sigma_1 \sigma_2 \end{pmatrix} = \begin{pmatrix} \Gamma_1 \Gamma_2 A_1 \\ \sigma_1 \sigma_2 0 \end{pmatrix} = \sum_{A_1} \sum_{\sigma_1, 0}$$

Указанные правила сопоставления аналитических выражений и изображений узла соответствуют переходу от формулы к графикам и наоборот позволяет переходить от формула к графикам.

ком и обратно. Рассмотрим еще ряд примеров.

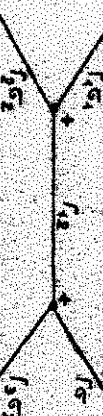
Простейший грацик на фокусации на одното узле

$$G \circ = \sum_{\sigma} S_{\sigma}^G = [G].$$

Графическое выражение для обобщенных $\pi G\sigma$ -символов, используемых при представлении произведений. При произведении произведения трех представлений нам потребуется коэффициент

$$\sum_{\sigma_1, \sigma_2, \sigma_3} (G_1 G_2 G_3) (\sigma_1 \sigma_2 \sigma_3) (G_3 G_2 G_1),$$

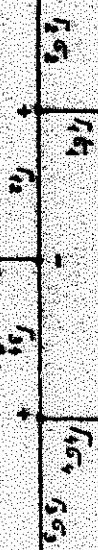
графическое выражение для которого:



Аналогичная схема произведения произведения четырех представлений в случае линий связей $(1+2)+(3+4)$ приводит к коэффициентам

$$\sum_{\sigma_1, \sigma_2, \sigma_3, \sigma_4} (G_1 G_2 G_3 G_4) (\sigma_1 \sigma_2 \sigma_3 \sigma_4) (G_4 G_3 G_2 G_1).$$

Графическое изображение которых приведено ниже



Диаграмма, отмеченная обобщенным $\pi G\sigma$ -символом, характеризует наличие свободных концов. Если диаграмма замкнута и не содержит свободных концов, то она является диаграммой πG -символом, не зависящим от индексов проекции.

$\pi G\sigma$ -символ, соответствующий минимально возможное число представлений, то строка которых провелено суммированием, называет обобщенным коэффициентом Бигера.

Примером примера πG -коэффициентов. Из двух $G\sigma$ -символ

всегда можно построить инвариант - \mathcal{E} -символ.

$$\sum_{\sigma_1, \sigma_2, \sigma_3} (G_1 G_2 G_3) (\sigma_1 \sigma_2 \sigma_3) (G_3 G_2 G_1) = (-1)^{G_1 G_2 G_3} [G_1 G_2 G_3].$$

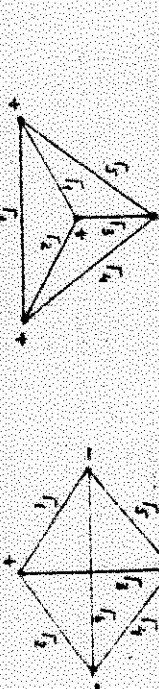
Здесь $\{G_1 G_2 G_3\}$ - так называемая треугольная дельта, которая равна единице, если три представления G_1, G_2, G_3 удовлетворяют условию треугольника, и нуль в противном случае. Изменив знак одного из узлов, получим графическое выражение для треугольной дельты $\{G_1 G_2 G_3\}$:

$$\{G_1 G_2 G_3\} = \begin{pmatrix} G_1 & G_2 & G_3 \\ G_4 & G_5 & G_6 \end{pmatrix}$$

Из трех $\pi G\sigma$ -коэффициентов мы можем построить первый нетривиальный инвариант - πG -символ.

$$\begin{pmatrix} G_1 & G_2 & G_3 \\ G_4 & G_5 & G_6 \end{pmatrix} = \sum_{\sigma_1, \sigma_2, \sigma_3} (G_1 G_2 G_3) (\sigma_1 \sigma_2 \sigma_3) (G_4 G_5 G_6).$$

Графически πG -символ можно изобразить двумя эквивалентными способами



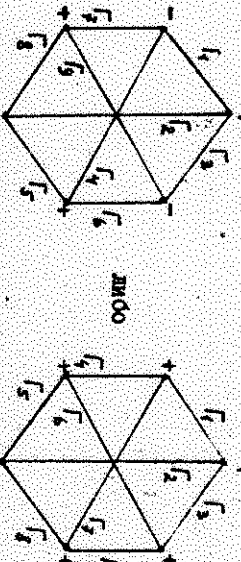
Для перехода от одного грацика к другому достаточно изменить порядок следования линий в двух узлах и компенсировать такое изменение переменной знака у тех же узлов. πG -коэффициент связан с матрицей преобразования, соответствующим изменением схемы связи при переносе трех представлений.

Более сложная инвариантная функция, \mathfrak{G} -символ, является суммой произведений шести \mathfrak{G} -символов

$$\left\{ \begin{array}{l} \Gamma_1 \Gamma_2 \Gamma_3 \\ \Gamma_4 \Gamma_5 \Gamma_6 \\ \Gamma_7 \Gamma_8 \Gamma_9 \end{array} \right\} = \sum_{\sigma_1, \sigma_2, \sigma_3, \sigma_4, \sigma_5, \sigma_6} (\Gamma_1 \Gamma_2 \Gamma_3) (\Gamma_4 \Gamma_5 \Gamma_6) (\Gamma_7 \Gamma_8 \Gamma_9)$$

$$(\Gamma_7 \Gamma_8 \Gamma_9) (\Gamma_1 \Gamma_4 \Gamma_7) (\Gamma_2 \Gamma_5 \Gamma_8) (\Gamma_3 \Gamma_6 \Gamma_9) (\sigma_1 \sigma_2 \sigma_3) (\sigma_4 \sigma_5 \sigma_6)$$

Графически эта сумма может быть изображена



\mathfrak{G} -символ является нетривиальной суммой произведений вида \mathfrak{G} -символов, т.е. суммой, не сводимой к простому произведению более простых инвариантных функций. \mathfrak{G} -символ оказывается необходимым при изменении схем связи в произведениях четырех неприводимых представлений.

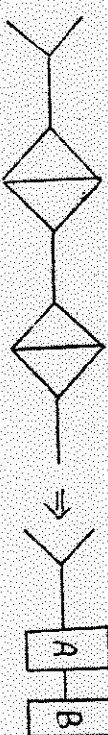
Графические обозначения \mathfrak{G} -символов для точечных групп, которые были изведены, схожи к графическим обозначениям для групп вращений. Внешнее отличие состоит в отсутствии стрелок, определяющих направление проекции моментов. Поэтому для проведения соответствия между графиками \mathfrak{G} -аналитическими выражениями можно пользоваться таблицами для группы вращений.

Однако простая графическая иллюстрация аналитических выражений недостаточно адекватна. Графический метод будет полезен, если только он облегчит само проведение расчетов, позволит преобразовывать и упрощать выражения в графической форме. Действия над графиками подробно сформулированы для

групп вращений. Мы здесь указем лишь наиболее простые и полезные из них, имея в виду применение к кубическим группам.

Правила действий над графиками

1/ При проведении графических расчетов некоторые части диаграммы, конкретная структура которых не важна, можно заменять блоками. Пример:



Обычно блоки распределят так, что все свободные концы явно указываются.

2/ Стирание угла с линией $\Gamma_1 \Gamma_2$ приводит к множителю $\delta_{\Gamma_1 \Gamma_2} / \sqrt{\Gamma_1 \Gamma_2}$.

3/ Линии полносимметричного представления $A_1 / J=0$ можно удалять с графика. Пример:

$$\left[\begin{array}{c} \Gamma_1 \\ \Gamma_2 \\ \Gamma_3 \\ \Gamma_4 \end{array} \right] = \left[\begin{array}{c} \Gamma_1 \\ \Gamma_2 \\ \Gamma_3 \end{array} \right] = \frac{\delta_{\Gamma_1 \Gamma_2} \delta_{\Gamma_3 \Gamma_4}}{\sqrt{\Gamma_1 \Gamma_2 \Gamma_3 \Gamma_4}}$$

4/ Правило разрезания диаграмм.

Диаграмма разреза \mathfrak{G} -символа по n -линии, если после разрезания этих линий диаграмма распадается на две, одна из которых содержит все свободные концы, имеющиеся у исходной диаграммы.

4a/ Правило разрезания диаграмм по одной линии:

$$\boxed{M} - \boxed{N} = \boxed{M} \quad \boxed{N}$$

Переход к двум несвязанным графикам соответствует представлению исходного аналитического выражения в виде произведения двух аналитических выражений, отвечающих двум несвязанным графикам.

46/ Правило разрезания по двум линиям

$$M \begin{smallmatrix} f_1 \\ f_2 \\ f_3 \end{smallmatrix} N = M \begin{smallmatrix} f_1 \\ f_2 \end{smallmatrix} N + M \begin{smallmatrix} f_1 \\ f_3 \end{smallmatrix} N - \frac{\delta_{f_1}}{[f_1]}.$$

Обе диаграммы после разрезания солются по углу с двумя линиями. Стирание этих узлов приводит к множителю $\delta_{f_1 f_2}/[f_1]$.

Пример:

$$M \begin{smallmatrix} f_1 \\ f_2 \\ f_3 \\ f_4 \end{smallmatrix} N = \frac{\delta_{f_1 f_2}}{[f_1]} + M \begin{smallmatrix} f_1 \\ f_3 \\ f_4 \end{smallmatrix} N - \frac{\delta_{f_1 f_4}}{[f_1]}.$$

$$= \frac{\delta_{f_1 f_2}}{[f_1]} \{f_1 f_3 f_4\} \{f_5 f_7 f_9\} - \frac{\delta_{f_1 f_4}}{[f_1]} \{f_6 f_8 f_9\}.$$

47/ Правило разрезания по трем линиям.

$$M \begin{smallmatrix} f_1 \\ f_2 \\ f_3 \\ f_4 \end{smallmatrix} N = M \begin{smallmatrix} f_1 \\ f_2 \\ f_3 \end{smallmatrix} N + M \begin{smallmatrix} f_1 \\ f_2 \\ f_4 \end{smallmatrix} N + M \begin{smallmatrix} f_1 \\ f_3 \\ f_4 \end{smallmatrix} N -$$

Все диаграммы разрезания не более чем по трем линиям, то она сходится к произведению двух более простых диаграмм.

Пример:

$$M \begin{smallmatrix} f_1 \\ f_2 \\ f_3 \\ f_4 \\ f_5 \\ f_6 \end{smallmatrix} N = M \begin{smallmatrix} f_1 \\ f_2 \\ f_3 \\ f_4 \\ f_5 \end{smallmatrix} N + M \begin{smallmatrix} f_1 \\ f_2 \\ f_3 \\ f_4 \\ f_6 \end{smallmatrix} N + M \begin{smallmatrix} f_1 \\ f_2 \\ f_3 \\ f_5 \\ f_6 \end{smallmatrix} N -$$

$$= M \begin{smallmatrix} f_1 \\ f_2 \\ f_3 \end{smallmatrix} N + M \begin{smallmatrix} f_1 \\ f_2 \\ f_4 \end{smallmatrix} N + M \begin{smallmatrix} f_1 \\ f_3 \\ f_4 \end{smallmatrix} N + M \begin{smallmatrix} f_1 \\ f_2 \\ f_5 \end{smallmatrix} N + M \begin{smallmatrix} f_1 \\ f_2 \\ f_6 \end{smallmatrix} N + M \begin{smallmatrix} f_1 \\ f_3 \\ f_6 \end{smallmatrix} N -$$

48/ Правило разрезания по четырем линиям.

В таком случае разрезанная диаграмма складывается из суммы произведен и диаграмм. Представление, по которому про-

дится суммирование обозначается лейтсом /многа толстом линий/. Суммирование по произведениям Г всегда вы- полняется с весом $[G] : \sum_i [G_i] (\dots)$.

Графическое изображение

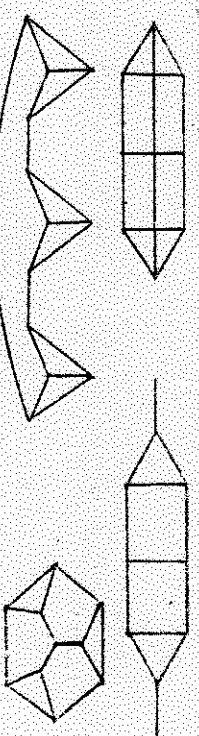
$$M \begin{smallmatrix} 1 \\ 2 \\ 3 \\ 4 \end{smallmatrix} N = M \begin{smallmatrix} 1 \\ 2 \\ 3 \end{smallmatrix} N + M \begin{smallmatrix} 1 \\ 2 \\ 4 \end{smallmatrix} N + M \begin{smallmatrix} 1 \\ 3 \\ 4 \end{smallmatrix} N - M \begin{smallmatrix} 2 \\ 3 \\ 4 \end{smallmatrix} N$$

Правило разрезания можно спорудировать для разрезания по произвольному числу линий, но в случае числа разрезаемых линий большего четырех, будут возникать многократные суммы по представлениям.

В следующем параграфе мы рассмотрим процедуру графического нахождения интегрил преобразования и установим ее связь с δ_{ij} -символами.

Упражнение 4.1.

Упростить следующие градиам и записать их аналитические выражения.



Литературные указания.

Изложение графического метода для группы вращений дано в книгах [2, 13]. Для кусочных групп рассмотрение прове- дено в книге [3]. Сводка формул для группы вращений дана в книге [4]. Краткое описание графических правил для то-чечных групп приведено в юж части II. Данных лекции.

§5. МАТРИЦА ПРЕОБРАЗОВАНИЯ МЕЖДУ РАЗЛИЧНЫМИ СХЕМАМИ СВЯЗИ.

Ранее уже было выписано выражение для матрицы перехода через обобщенные коэффициенты Клеяна-Гордона (3-2). Мы будем пользоваться аналогичным выражением для матрицы перехода через обобщенные коэффициенты Вигнера. При этом для простоты мы ограничимся группами /например, кубическими/, для которых связь коэффициентов Клеяна-Гордона и ЭГ-схемы наименее проста

$$\langle \Gamma_{\Gamma_1 \Gamma_2 \sigma} | \Gamma_{\Gamma_2 \sigma} \rangle = [\Gamma]^{1/2} \left(\begin{smallmatrix} \Gamma_1 \Gamma_2 \Gamma \\ \sigma_1 \sigma_2 \sigma \end{smallmatrix} \right) . \quad (5-1)$$

Переход от обобщенных коэффициентов Клеяна-Гордона к обобщенным коэффициентам Вигнера /в ГС-символах/ в этом случае определяется формулой

$$\langle (\Gamma_1 \dots \Gamma_n) A g | \Gamma_{\Gamma_1 \dots \Gamma_n \sigma} \rangle = \sqrt{[a][\Gamma]} \left(\begin{smallmatrix} \Gamma_1 \dots \Gamma_n \Gamma \\ \sigma_1 \dots \sigma_n \sigma \end{smallmatrix} \right)_a . \quad (5-2)$$

здесь $[a]$ - произведение размерностей промежуточных представлений, a - характеризует схему связи, σ - совокупность промежуточных представлений.

Учитывая (5-2) перепишем формулу (3-2) в виде:

$$\begin{aligned} \langle (\Gamma_1 \dots \Gamma_n) A a \Gamma | (\Gamma_1 \dots \Gamma_n) B a \Gamma \rangle &= \\ &= \sqrt{[a][\Gamma]} \sum_{\sigma_1 \dots \sigma_n \sigma} \left(\begin{smallmatrix} \Gamma_1 \dots \Gamma_n \Gamma \\ \sigma_1 \dots \sigma_n \sigma \end{smallmatrix} \right)_a \left(\begin{smallmatrix} \Gamma_1 \dots \Gamma_n \Gamma \\ \sigma_1 \dots \sigma_n \sigma \end{smallmatrix} \right)_B . \end{aligned}$$

В формуле появился в знаменателе квадратный корень из произведения размежуточных всех промежуточных представлений.

Матрица преобразования, с точностью до этого коэффициента, представляет собой просуммированное по всем проекциям произведение двух обобщенных коэффициентов Вигнера.

Графический метод нахождения матрицы преобразования заключается в следующем.

а/ Нарисовать графики обобщенных коэффициентов Вигнера для обеих схем связи.

б/ Соединить линии, стеченные одинаковыми тем же представлениями, по строкам которых проводится суммирование.

в/ Преобразовать полученный график к стандартному виду, упростив его по взаимности с помощью яркого разрезания.

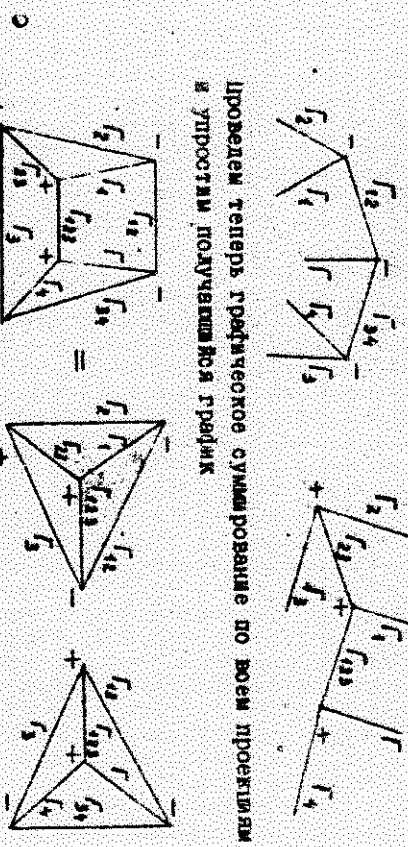
г/ Матрица преобразования равна наивысшему коэффициенту, умноженному на квадратный корень из размерностей всех промежуточных представлений.

Пример.

Найдем матрицу преобразования между двумя схемами связи четырех неприводимых тензорных операторов.

$$\begin{aligned} &\left\{ (a_1 \Gamma_1 \times a_2 \Gamma_2) \Gamma_{12} \times (a_3 \Gamma_3 \times a_4 \Gamma_4) \Gamma_{34} \right\} \Gamma = \\ &= \sum_{\sigma_1 \sigma_2 \sigma_3 \sigma_4} \langle (\Gamma_1 (\Gamma_2 \Gamma_3) \Gamma_{23}) \Gamma_{123} \Gamma_4 \Gamma | (\Gamma_2 \Gamma_3) \Gamma_{12} (\Gamma_3 \Gamma_4) \Gamma_{34} \Gamma \rangle \times \\ &\times \left\{ (a_1 \Gamma_1 \times (a_2 \Gamma_2 \times a_3 \Gamma_3) \Gamma_{23}) \Gamma_{123} \times a_4 \Gamma_4 \right\} \Gamma . \end{aligned}$$

Графики обобщенных коэффициентов Вигнера для обеих схем связи имеют вид



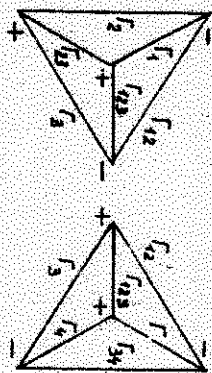
Процедем теперь графическое суммирование по всем проекциям в узростях получающейся градиак.

Окончательно для матрицы преобразования имеем

$$\langle (\Gamma_1 (\Gamma_2 \Gamma_3) \Gamma_{23}) \Gamma_{123} \Gamma_4 \Gamma | (\Gamma_2 \Gamma_3) \Gamma_{12} (\Gamma_3 \Gamma_4) \Gamma_{34} \Gamma \rangle =$$

И окончательно получаем аналитическое выражение для матрицы преобразования

$$\begin{aligned} & \langle (\Gamma_1 \Gamma_3) \Gamma_{13} (\Gamma_2 \Gamma_4) \Gamma_{24} \Gamma | (\Gamma_1 \Gamma_2) \Gamma_{12} (\Gamma_3 \Gamma_4) \Gamma_{34} \Gamma \rangle = \\ & = \sqrt{\Gamma_{13} \Gamma_{24} \Gamma_{12} \Gamma_{34}} \cdot \left\{ \begin{array}{c} \Gamma_1 \Gamma_2 \Gamma_{12} \\ \Gamma_3 \Gamma_4 \Gamma_{34} \\ \Gamma_{13} \Gamma_{24} \Gamma \end{array} \right\} . \end{aligned}$$



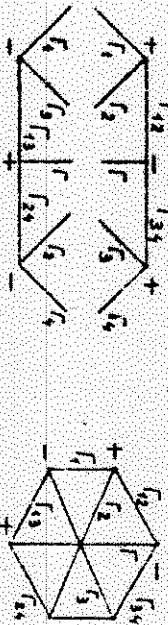
$$= \sqrt{\Gamma_{23} \Gamma_{123} \Gamma_{12} \Gamma_{34}} (-1)^{\Gamma_1^4 \Gamma_2^4 \Gamma_{12}^4 \Gamma_{123}^4 \Gamma_4^4} \times$$

$$\times \left\{ \begin{array}{c} \Gamma_1 \Gamma_{23} \Gamma_{123} \\ \Gamma_3 \Gamma_{12} \Gamma_2 \end{array} \right\} \left\{ \begin{array}{c} \Gamma \Gamma_{123} \Gamma_4 \\ \Gamma_3 \Gamma_{34} \Gamma_{12} \end{array} \right\} .$$

Подчеркнем еще раз, что полученная матрица преобразования определяет **закон схемы связи в тензорном произведении** без изменения порядка следования операторов. В случае, когда в левой и правой частях равенства порядок следования операторов различен, закон преобразования зависит от коммутационных соотношений между компонентами операторов. Рассмотрим еще один пример нахождения матрицы преобразования, предполагая коммутативность компонент тензорных операторов.

$$\begin{aligned} & \left\{ (a_1^{\Gamma_1} \times a_2^{\Gamma_2}) \Gamma_{12} \times (a_3^{\Gamma_3} \times a_4^{\Gamma_4}) \Gamma_{34} \right\} \Gamma = \\ & = \sum_{23, 12} \langle (\Gamma_1 \Gamma_3) \Gamma_{13} (\Gamma_2 \Gamma_4) \Gamma_{24} \Gamma | (\Gamma_1 \Gamma_2) \Gamma_{12} (\Gamma_3 \Gamma_4) \Gamma_{34} \Gamma \rangle \times \\ & \times \left\{ (a_1^{\Gamma_1} \times a_3^{\Gamma_3}) \Gamma_{13} \times (a_2^{\Gamma_2} \times a_4^{\Gamma_4}) \Gamma_{24} \right\} \Gamma . \end{aligned}$$

Графический расчет матрицы преобразования дает



уравнение.

Найти матрицы преобразования, отвечающие следующим измененным схемам связи для произведения пяти кепциональных тензорных операторов

$$((1 + 2) + 3) + (4 + 5) \iff (((1 + 3) + 2) + 4) + 5$$

в предположении коммутативности соответствующих тензоров.

Литературные указания.

Детальное рассмотрение вопросов данного параграфа для группы времней проведено в главе У книги [2]. Много последних формул можно найти в книге [4], особенно в главах 3 и 12.

66. СВОЙСТВА СИММЕТРИИ ПГ- И АЛ-СИМВОЛОВ

для кубических групп.

ПГ- и ПГ-символы для кубических групп обладают двумя ролями своего симметрии. Свойства симметрии первого рода определяют симметрии символов относительно перестановок пикселей. Они аналогичны классическим свойствам симметрии соответствующих величин для группы прошения. Для кубических точечных групп существует симметрия ПГ-символов другого типа. Она основана на свойствах симметрии ПГ-символов относительно замены аргументов. Так для ЭГ-символа

$$\begin{pmatrix} \Gamma_1 & \Gamma_2 & \Gamma_3 \\ \sigma_1 & \sigma_2 & \sigma_3 \end{pmatrix}$$

его абсолютная величина не меняется при замене трех пикселей его аргументов

$$\begin{pmatrix} \Gamma_1 \\ \Gamma_2 \end{pmatrix} \text{ на } \begin{pmatrix} \Gamma_1 \\ \Gamma_2 \end{pmatrix}, \quad \begin{pmatrix} \Gamma_1 \\ \Gamma_2 \end{pmatrix} \text{ на } \begin{pmatrix} \Gamma_1 \\ \Gamma_2 \end{pmatrix}$$

то прямая $A_1 \rightarrow A_2$, $(f_1) \rightarrow (f_2)$, $(F_1) \rightarrow (F_2)$.

Прямое изменение знака можно получить, проводя симметрию симметричными значениями, приведенным в таблице 1/2 части II/1, например, для ЭГ-символов, не содержащих представления \mathbb{Z}_3 , при замене любой пары аргументов спрведлено равство

$$\begin{pmatrix} \Gamma_1 & \Gamma_2 & \Gamma_3 \\ \sigma_1 & \sigma_2 & \sigma_3 \end{pmatrix} = \begin{pmatrix} \Gamma_1 & \Gamma_2 & \Gamma_3 \\ \sigma_1 & \sigma_2 & \sigma_3 \end{pmatrix}.$$

Одно из наиболее простых и полезных свойств указанного свойства симметрии - возможность упрощения выражений. Например, A_2 представление, таким же образом, как и для выражения, содержит A_1 . Выясним, что A_1 должна иметь одинаковую структуру с выражением без изменения порядка первого. Замена аргумента $A_2 \rightarrow A_1$ позволяет обобщить это правило на выражение A_2 .

Для более сложных членов ЭГ-символов правило замены аргу-

ментов $\Gamma \rightarrow \tilde{\Gamma}$ касается только классов при ненесложении геометрического преобразования. В произвольных группах ПГ-символов замену $\Gamma \rightarrow \tilde{\Gamma}$ можно повернуть лишь произвольной линии с линиями свободных концов либо подправить ее замкнутой линии. Абсолютная величина символа при этом не меняется. Детальные правила изложения [6] описаны в книге Смирнова и Смирнова [3]. Однако поскольку мы там ЭГ-символы для кубической группы откладываем отдельно от принятых в настоящих лекциях, всегда имея другой ориентации, в той же книге рассорим некоторые частные свойства символов, помня при работе. Например, для ЭГ-символа, содержащего только трехмерные преобразования, можно повернуть замену $\Gamma \rightarrow \tilde{\Gamma}$ для одного представления без изменения абсолютной величины символа.

Замечем, however, что для группы времени помимо классических свойств симметрии ПГ-символов, имеют еще дополнительные функциональные свойства симметрии, отображение Релея. Однако симметрии Релея симметрии ПГ-символов для точечных групп подробно не исследованы.

Упражнение.

Указать возможные виды аргументов $\Gamma \rightarrow \tilde{\Gamma}$ для ГТ в ЭГ-символов кубических точечных групп.

Библиографические указания.

Свойства симметрии ПГ-символов для кубических групп обсуждены в книге [3]. Более обширное рассмотрение языков симметрий кодовых слов векторного сложения приведено в работе [14].

§7. АЛГЕБРА КОЛЕБАТЕЛЬНЫХ ОПЕРАТОРОВ.

при изменении схема связи в тензорных произведениях, как уже отмечалось ранее, существенным обстоятельством является наличие или отсутствие коммутативности компонент тензорных операторов. При построении колебательных операторов мы будем использовать неприводимые тензорные операторы рождения и уничтожения, обозначаемые в дальнейшем

$$a^{+(\Gamma)} \quad a^{-(\Gamma)}$$

где Σ — номер колебания, Γ — его тип симметрии, σ — компонента в случае многомерных представлений.

a^+ — оператор уничтожения,
 a^+ — оператор рождения.

Операторы рождения и уничтожения колебательных квантов удовлетворяют коммутационным соотношениям

$$\begin{aligned} [a_{\Sigma\Sigma}^{+(\Gamma)}, a_{\Sigma'\Sigma'}^{+(\Gamma')}] &= 0, \\ [a_{\Sigma\Sigma}^{-(\Gamma)}, a_{\Sigma'\Sigma'}^{-(\Gamma')}] &= 0. \end{aligned} \tag{7-1}$$

$$[a_{\Sigma\Sigma}^{+(\Gamma)}, a_{\Sigma'\Sigma'}^{-(\Gamma')}] = - \sum_{\Sigma\Sigma'} \delta_{\Gamma\Gamma'} \delta_{\sigma\sigma'}.$$

При проведении расчетов с операторами a , a^+ удобно представить все операторы в виде так называемого нормального произведения, т.е. такого произведения, в котором все операторы рождения стоят слева от операторов уничтожения. Производный оператор всегда можно преобразовать к такому виду, воспользовавшись соотношениями коммутации.

Пример. Представим оператор $a_1 a_2 a_3 a_4^+$ в нормальной форме. Для простоты все операторы считаем преобразуемыми по представлению A_1 . Все операторы парично коммутируют кроме $a_2 \equiv a_2^+$, поэтому

$$a_1 a_2 a_3 a_4^+ = a_4^+ a_2 a_3 a_1 + a_4^+ a_1 a_3 + \dots$$

- 40 -

в более сложных случаях для приведения операторов к нормальной форме следует воспользоваться теоремой Бика, которая сводит задачу к чисто технической. Прежде чем сформулировать теорему, введем понятие N -произведения и спаривания двух операторов.

N -Произведение операторов есть такое произведение, в котором все операторы рождения стоят слева от операторов уничтожения. Приведем примеры:

$$N(a_1 a_2^+) = a_2^+ a_1; \quad N(a_1 a_1^+) = a_1^+ a_1;$$

$$N(a_1 a_2 a_2^+ a_3 a_4^+) = a_2^+ a_4^+ a_1 a_2 a_3, \text{ и т.д.}$$

Легко видеть, что под знаком нормального произведения операторы можно переставлять местами, результат от этого не изменится.

$$N(a a^+) = N(a^+ a) = a^+ a.$$

Спаривание двух операторов a и b обозначим $\overline{a} \overline{b}$.

$$\overline{\overline{a} b} = ab - N(ab).$$

Для операторов, удовлетворяющих коммутационным соотношениям (7-1) спаривания имеют вид:

$$\overline{\overline{a} a^+} = a^+ a - a^+ a = 0, \quad \overline{\overline{a} b^+} = 0,$$

$$\overline{\overline{a} a^+} = a a^+ - N(a a^+) = a a^+ - a^+ a = I,$$

т.е. отличны от нуля только спаривания вида $\overline{\overline{a} a^+}$.

Теперь сформулируем теорему Бика. Произведение операторов выражается через возможные N -произведения со взаимными спариваниями:

$$\begin{aligned} (a_1 a_2 \dots a_n y) &= N(a_1 a_2 \dots a_n y) + \\ &+ N(\overline{a_1} a_2 \dots a_n y) + N(\overline{a_1} \overline{a_2} a_3 \dots a_n y) + \dots + N(\overline{a_1} \overline{a_2} \overline{a_3} \dots a_n y) + \dots \end{aligned}$$

- 41 -

Продолж.

$$a_{34}^+ a_4^+ = N(a_{34}^+ a_4^+) + N(a_{34} \bar{a}_4^+) + N(\bar{a}_{34} a_4^+) + N(\bar{a}_{34} \bar{a}_4^+) + N(a_{34}^+ a_4^+)$$

$$+ N(a_{34} \bar{a}_4^+) + N(\bar{a}_{34} a_4^+) + N(\bar{a}_{34} \bar{a}_4^+) + N(a_{34}^+ a_4^+)$$

В качестве другого примера представим в нормальном виде коммутатор двух операторов $[a_1^{+} a_2^{+} a_3^{+} a_4^{+}, a_3^{+} a_4^{+} a_1^{+} a_2^{+}]$. Для этого прибегнем сначала к нормальному виду произведения этих двух операторов.

$$a_1^{+} a_2^{+} a_3^{+} a_4^{+} a_1^{+} a_2^{+} = a_1^{+} a_2^{+} a_3^{+} a_4^{+} a_1^{+} a_2^{+} a_3^{+} a_4^{+} +$$

$$+ a_1^{+} a_2^{+} a_3^{+} a_1^{+} a_2^{+} a_4^{+} + a_1^{+} a_2^{+} a_3^{+} a_1^{+} a_3^{+} a_4^{+} + a_1^{+} a_2^{+} a_3^{+} a_1^{+} a_2^{+} +$$

$$a_3^{+} a_4^{+} a_2^{+} a_1^{+} a_2^{+} a_3^{+} = a_1^{+} a_2^{+} a_3^{+} a_4^{+} a_1^{+} a_2^{+} a_3^{+} a_4^{+} +$$

$$+ a_2^{+} a_3^{+} a_4^{+} a_2^{+} a_3^{+} a_4^{+} + a_1^{+} a_3^{+} a_4^{+} a_1^{+} a_3^{+} a_4^{+} + a_3^{+} a_4^{+} a_3^{+} a_4^{+} .$$

$$[\quad , \quad] = a_1^{+} a_2^{+} a_3^{+} a_4^{+} a_1^{+} a_2^{+} a_3^{+} a_4^{+} + a_1^{+} a_2^{+} a_3^{+} a_4^{+} a_1^{+} a_2^{+} a_3^{+} a_4^{+}$$

$$+ a_2^{+} a_3^{+} a_4^{+} a_2^{+} a_3^{+} a_4^{+} - a_1^{+} a_3^{+} a_4^{+} a_1^{+} a_3^{+} a_4^{+} + a_1^{+} a_2^{+} a_3^{+} a_4^{+} a_1^{+} a_2^{+} - a_3^{+} a_4^{+} a_3^{+} a_4^{+} .$$

Таким образом мы опровергнули правила работы с операторами a_1, a_2^+ , ясно приложив, что все они полносимметричные, либо преобразуют свойства симметрии. Особенности первых изложенные формулы приводят к N -форме на тензорные произведения операторов. Прежде чем формулировать обще правило рассмотрим конкретный пример.

$$U = \left\{ \left[\left(a_{s_1}^{+} (\Gamma_1) \times a_{s_2}^{+} (\Gamma_2) \right) \Gamma_{12} \times \left(a_{s_3}^{+} (\Gamma_3) \times a_{s_4}^{+} (\Gamma_4) \right) \Gamma_{34} \right] \Gamma_{1234} \times \right.$$

$$\left. \times \left(a_{s_5}^{+} (\Gamma_5) \times a_{s_6}^{+} (\Gamma_6) \right) \Gamma_{56} \right\}_G \quad (7-2)$$

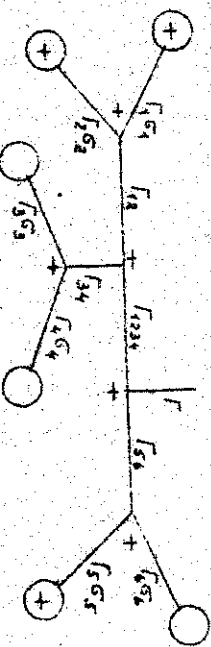
В аналитическом виде оператор записывается

$$U = \sum_{\sigma_1, \sigma_2, \sigma_3, \sigma_4} (a_{s_1}^{+})_{\sigma_1} \Gamma_1 (a_{s_2}^{+})_{\sigma_2} \Gamma_2 (a_{s_3}^{+})_{\sigma_3} \Gamma_3 (a_{s_4}^{+})_{\sigma_4} \Gamma_4 (a_{s_5}^{+})_{\sigma_5} \Gamma_5 (a_{s_6}^{+})_{\sigma_6} \Gamma_6$$

$$\times \left([\Gamma_{12}][\Gamma_{34}][\Gamma_{1234}][\Gamma_{56}][\Gamma] \right)^{1/2} \left(\frac{\Gamma_1 \Gamma_2 \Gamma_{12}}{\sigma_1 \sigma_2 \sigma_{12}} \right) \left(\frac{\Gamma_3 \Gamma_4 \Gamma_{34}}{\sigma_3 \sigma_4 \sigma_{34}} \right) \times$$

$$\times \left(\frac{\Gamma_{12} \Gamma_{34} \Gamma_{1234}}{\sigma_{12} \sigma_{34} \sigma_{1234}} \right) \left(\frac{\Gamma_{1234} \Gamma_{56} \Gamma}{\sigma_{1234} \sigma_{56} \sigma} \right) \left(\frac{\Gamma_5 \Gamma_6 \Gamma_{56}}{\sigma_5 \sigma_6 \sigma_{56}} \right).$$

Диаграмма соответствующего коэффициента Виттера имеет вид:



⊕ и ⊖ указывают на наличие оператора рождения или уничтожения.

Приложим оператор U к нормальному форме, т.е. соберем вместе все операторы рождения, а затем все операторы уничтожения. Мы будем использовать знак нормального произведения перед тензорным произведением, подразумевая, что знак нормального произведения компоненты тензорных операторов коммутируют, но на схему оставят знак нормального произведения не влияет. Таким образом применение тензору вида Γ к оператору в виде (7-2) мы можем совершенно заменить:

$$U = N \left\{ \left[\left(a_{s_1}^{+} (\Gamma_1) \times a_{s_2}^{+} (\Gamma_2) \right) \Gamma_{12} \times \left(a_{s_3}^{+} (\Gamma_3) \times a_{s_4}^{+} (\Gamma_4) \right) \Gamma_{34} \right] \Gamma_{1234} \times \right.$$

$$\left. \times \left(a_{s_5}^{+} (\Gamma_5) \times a_{s_6}^{+} (\Gamma_6) \right) \Gamma_{56} \right\}_G \quad (7-3)$$

$$+ N \left\{ \left[\left(a_{s_1}^{+} \Gamma_1 \times a_{s_2}^{+} \Gamma_2 \right) \Gamma_{12} \times \left(a_{s_3}^{+} \Gamma_3 \times a_{s_4}^{+} \Gamma_4 \right) \Gamma_{34} \right] \Gamma_{1234} \times \right.$$

$$\left. \times \left(a_{s_5}^{+} \Gamma_5 \times a_{s_6}^{+} \Gamma_6 \right) \Gamma_{56} \right\}_G$$

$$+ \sqrt{\left\{ (a_{s_1}^{*} \Gamma_1, a_{s_2}^{*} \Gamma_2) \Gamma_{12}, (a_{s_3}^{*} a_{s_4}) \Gamma_{1234}, (a_{s_5}^{*} a_{s_6}) \Gamma_{12345} \right\}} \Gamma$$

Справление двух тензорных операторов здесь обозначает их замену на коммутатор, т.е.

$$\begin{matrix} \Gamma_3 \\ a_{s_3} \end{matrix} \quad \begin{matrix} \Gamma_5 \\ a_{s_5} \end{matrix} = \delta_{s_3, s_5} \quad \begin{matrix} \Gamma_5 \\ a_{s_5} \end{matrix} \quad \begin{matrix} \Gamma_3 \\ a_{s_3} \end{matrix}.$$

График второго члена в (7-3) имеет соответственно вид

$$\begin{matrix} + \\ \Gamma_3 \\ a_{s_3} \end{matrix} \quad \begin{matrix} \Gamma_5 \\ a_{s_5} \end{matrix} = \delta_{s_3, s_5} \quad \begin{matrix} \Gamma_5 \\ a_{s_5} \end{matrix} \quad \begin{matrix} \Gamma_3 \\ a_{s_3} \end{matrix} + \sqrt{\Gamma_{12} [\Gamma_{34}] [\Gamma_{1234}] [\Gamma_{56}] [\Gamma]} \cdot$$

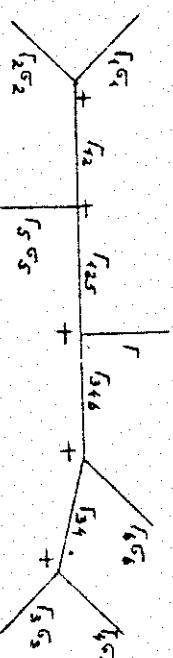
$$\begin{matrix} + \\ \Gamma_4 \\ a_{s_4} \end{matrix} \quad \begin{matrix} \Gamma_6 \\ a_{s_6} \end{matrix} = \delta_{s_4, s_6} \quad \begin{matrix} \Gamma_6 \\ a_{s_6} \end{matrix} \quad \begin{matrix} \Gamma_4 \\ a_{s_4} \end{matrix} + \sqrt{\Gamma_{12} [\Gamma_{125}] [\Gamma_{34}] [\Gamma_{346}] [\Gamma_{12}] [\Gamma_{34}] [\Gamma_{1234}] [\Gamma_{56}] [\Gamma]}$$

При построении графиков мы воспользовались тем фактом, что δ_{s_3, s_5} изображается линией и заменила два спаренных оператора на соединяющую линию. Теперь все члены в выражении (7-3) можно преобразовывать не заботясь о некоммутативности операторов.

Матрицу преобразования к новой схеме связи для первого члена в (7-3) //N-произведение без спаривания// получим, вычертив схему результирующей связи представлением Γ , ссылав все соответствующие концы исходного и конечного графиков и умножив полученное выражение на квадратный корень //з рав-

мерночтей всех промежуточных представлений.

Первый график нужно привести к виду

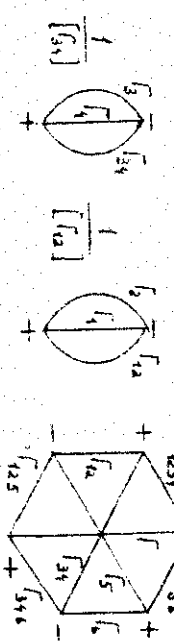


Для матрицы преобразования получаем

$$([F_{12}][F_{125}][F_{34}][F_{346}][F_{12}][F_{34}][F_{1234}][F_{56}][F])^{1/2}$$

Найденный график упростим, удалив с него петли, образуемые представлениями Γ_1 , Γ_2 и Γ_3 , Γ_4 . В результате для матрицы преобразования имеем:

$$([F_{12}][F_{125}][F_{34}][F_{346}][F_{12}][F_{34}][F_{1234}][F_{56}])^{1/2}$$



Окончательно, аналитическое выражение для матрицы преобра-

зования применяется

$$([\Gamma_{125}][\Gamma_{345}][\Gamma_{1234}][\Gamma_{56}])^{1/2} \begin{Bmatrix} \Gamma_{1234} \Gamma & \Gamma_{56} \\ \Gamma_{34} \Gamma_{346} & \Gamma_6 \\ \Gamma_{12} \Gamma_{125} & \Gamma_5 \end{Bmatrix} .$$

Матрица преобразования для второго и третьего слагаемых в формуле (7-3) найдем, преобразуя исходные градиенты. Для этого разделим их по четырем линиям. Во время градиентского преобразования множитель $([\Gamma_{12}][\Gamma_{34}][\Gamma_{1234}][\Gamma_{56}][\Gamma])^{1/2}$ временно опустим.

$$\begin{array}{c} \text{Diagram showing the decomposition of } \Gamma_{1234} \text{ into four components: } \Gamma_{12}, \Gamma_{34}, \Gamma_{125}, \Gamma_{56}. \end{array}$$

$$\begin{array}{c} \text{Diagram showing the decomposition of } \Gamma_{345} \text{ into four components: } \Gamma_{12}, \Gamma_{34}, \Gamma_{125}, \Gamma_{56}. \end{array}$$

Напомним, что по перечеркнутой линии проводится суммирование по представлению с весом $[\Gamma]$. Поэтому для второго члена (7-3) имеем выражение

$$([\Gamma_{12}][\Gamma_{34}][\Gamma_{56}][\Gamma_{1234}])^{1/2} \sum_x [x]^{1/2} .$$

$$\begin{array}{c} \text{Diagram showing the decomposition of } \Gamma_{1234} \text{ into four components: } \Gamma_{12}, \Gamma_{34}, \Gamma_{125}, \Gamma_{56}. \end{array}$$

Третий член в (7-3) преобразуется также как и второй.

Таким образом мы представили оператор \mathcal{U} в нормальном порядке.

$$\mathcal{U} = \sum_{i=1}^6 ([\Gamma_{56}][\Gamma_{125}][\Gamma_{346}][\Gamma_{1234}])^{1/2} \begin{Bmatrix} \Gamma_{1234} \Gamma & \Gamma_{56} \\ \Gamma_{34} \Gamma_{346} \Gamma_6 & \Gamma_6 \\ \Gamma_{12} \Gamma_{125} \Gamma_5 & \Gamma_5 \end{Bmatrix} .$$

$$\begin{aligned} & + \sum_{i=1}^6 \sum_{j=1}^6 \sum_x ([x][\Gamma_{34}][\Gamma_{56}][\Gamma_{1234}])^{1/2} (-1)^{\Phi_i} \begin{Bmatrix} x \Gamma_4 \Gamma_6 \\ \Gamma_5 \Gamma_6 \Gamma_3 \Gamma_4 \end{Bmatrix} \\ & \times \left\{ \begin{array}{l} x \Gamma_{12} \\ (\Gamma_{12} \Gamma_{34} \Gamma_{56}) \end{array} \right\} \left[\left(a_{s_1}^{*\Gamma_1} a_{s_2}^{\Gamma_2} \right) \Gamma_{12} - \left(a_{s_4}^{\Gamma_4} a_{s_6} \right) \Gamma \right. \\ & \left. + \sum_{k=1}^6 \sum_{l=1}^6 \sum_x ([x][\Gamma_{34}][\Gamma_{56}][\Gamma_{1234}])^{1/2} (-1)^{\Phi_2} \begin{Bmatrix} x \Gamma_3 \Gamma_6 \\ \Gamma_5 \Gamma_6 \Gamma_4 \Gamma_3 \end{Bmatrix} \Gamma \right. \\ & \left. \times \left\{ \begin{array}{l} x \Gamma_{12} \\ (\Gamma_{12} \Gamma_{34} \Gamma_{56}) \end{array} \right\} \left[\left(a_{s_1}^{*\Gamma_1} a_{s_2}^{\Gamma_2} \right) \Gamma_{12} - \left(a_{s_3}^{\Gamma_3} a_{s_6} \right) \Gamma \right] \right]. \end{aligned}$$

Здесь

$$\Phi_1 = x + \Gamma + \Gamma_{12} + \Gamma_5 + \Gamma_6 + \Gamma_{56} ,$$

$$\Phi_2 = x + \Gamma + \Gamma_{12} + \Gamma_4 + \Gamma_6 + \Gamma_{34} + \Gamma_5 .$$

На примере проведенного расчета мы показали, что теорема Бекка можно воспользоваться и при применении к нормальному виду произведения тензорных операторов. При этом она лишь слегка видоизменяется. Одна из решетей применения теоремы

Вика состоит в следующем.

a) Наряду с исходным оператором следует сформировать все возможные ненулевые спаривания. Графически спаривание соответствует соединению свободных концов, отвечающих спаренным операторам.

б) Заменив исходный оператор на сумму исходного оператора со всеми возможными результатами спариваний, мы можем считать далее, что все компоненты тензорных операторов взаимно

в) Дальнейшее изменение схемы связи при необходимости проводится как для конструктивных операторов.

Утверждение 7.1.

Записать в нормальной форме операторы

$$(q^{F_2} \cdot q^{F_4})^E; ((q^{F_1} \cdot q^{F_2})^E;$$

$$[(q^{F_2} \cdot q^{F_1})^{F_2} \cdot q^{F_2}]^{A_1}, [(q^{F_1} \cdot q^{F_2})^E \cdot q^E]^{A_1}$$

Литературные указания.

Теорема выше обсуждается, например, в книге [15].

Применение теории к тензорным произведениям операторов и использование гравийеских методов расчета спариваний некоторых операторов ранее в литературе не обсуждалось.

Первым этапом при построении вращательных состояний и операторов, связанных относительно точечной подгруппы, является выбор нестандартного базиса для группы вращений. Данная задача есть задача построения базиса для цепочки групп $O(3) \supset G_1 \supset G_2$ следующего типа.

а) Классификация сходные цепочки, т.е. такие цепочки, в которых все состояния для данного неприводимого представления группы G_1 однозначно характеризуются неприводимыми представлениями подгруппы G_2 . Примером такой цепочки является последовательность $O(3) \supset O(2)$, заданная стандартный базис для $O(3)$. Другой пример, который будет рассматриваться в следующем параграфе, — цепочка групп $O(n) \supset U(n-1) \supset \dots \supset U(1)$, определяемая базис Гельфанд для универсальной группы $U(n)$. К этому же типу относится цепочка

$O \supset D_4 \supset D_2$, спределяемая базис для точечной группы O .

б) Цепочки групп $G_1 \supset G_2$, для которых в разложении приводимых представлений группы G_1 на неприводимые представления подгруппы G_2 одно и то же неприводимое представление встречается несколько раз. Примером такой цепочки является цепочка групп $O(3) \supset O$. Для конкретизации базиса

в этом случае необходимы дополнительные соображения.

Система более подробно на классификации вращательных функцій и операторов для молекулы типа сферического волчка, используя цепочку групп $SO(3) \supset O$. Разложение неприводимых представлений групп O занесено следующей таблицей:

J	$\sum_i \Gamma_i$
0	A_1
1	$F_1 + F_2$
2	$A_2 + F_1 + F_2$
3	$A_1 + E + F_1 + F_2$
4	$E + 2F_1 + F_2$
5	$A_1 + A_2 + E + F_1 + 2F_2$
6	$A_2 + B + 2F_1 + 2F_2$
7	$A_1 + 2E + 2F_1 + 2F_2$
8	$A_1 + A_2 + E + 3F_1 + 2F_2$
9	$A_1 + A_2 + B + 3F_1 + 3F_2$
10	$A_1 + A_2 + 2E + 2F_1 + 3F_2$
11	$A_2 + 2E + 3F_1 + 3F_2$

Для промежуточного J , представимого в виде $J = I_2 p + q$, где p и q целые, разложение имеет вид:

$$(J) = P (A_1 + A_2 + 2E + 3F_1 + 3F_2) + (q),$$

в разложении (q) применено в таблице.

Из таблицы следует, в частности, что при $J = 5$ построение симметризованных состояний типа F_1 не может быть проведено однозначно. В большинстве задач однозначно иметь симметричный базис необходимо ввести классифицирующий оператор, при этом базисные функции определяются как собственные функции классифицирующего оператора. Для

однозначного построения базиса собственные функции классифицирующего оператора, отвечающие различным индексам M и Γ -плектности, должны относиться к различным состояниям значе-

ниям классифицирующего оператора. Для промежуточного J ($J < 0$) в качестве такого оператора можно выбрать оператор R_{μ}^{α} . Считаем, что при построении базиса с помощью классифицирующего оператора остается некоторая часть из вышерассмотренного множества.

Прежде чем привести явное выражение для оператора R_{μ}^{α} , через стандартные компоненты, напомним общую процедуру перехода от стандартного базиса к нестандартному.

Пусть $|J, M\rangle$ ($M = J, J-1, \dots, -J$) стандартный единичный набор функций, характеризуемых определенным квантовым числом J /неприводимое представление $SO(3)/$ и проекциями M на ось Z /неприводимое представление подгруппы $SO(2)/$. Аналогично функциям можно рассматривать и стандартные компоненты T_M^J ($M = J, \dots, -J$) неприводимых относительно $SO(3)$ тензорных операторов.

Нестандартный базис вращательных функций $|J, p\rangle \equiv |J, n\Gamma\rangle$ характеризуется типом неприводимого представления Γ относительно точечной группы, строкой σ этого представления в индексом внутренней симметричности n . Явное задание нестандартного базиса осуществляется в помощи матрицы перехода $\langle J, M | J, n\Gamma\rangle$

$$|J, n\Gamma\rangle = \sum_M |J, M\rangle \langle J, M | J, n\Gamma\rangle .$$

Если матрица перехода определена однозначно, то тем самым однозначно определен и нестандартный базисный набор. Построение неприводимых тензорных операторов в нестандартном базисе из стандартных компонент осуществляется с помощью той же матрицы перехода $\langle J, M | J, n\Gamma\rangle$, что и для функций.

$$T_{n\Gamma}^J = \sum_M \langle J, M | J, n\Gamma\rangle T_M^J .$$

Явное выражение для коэффициентов перехода $\langle J, M | J, n\Gamma\rangle$ для конкретных задач зависит прежде всего от того, каким образом ориентирован стандартный базис $|J, M\rangle$ относительно группы G . Например, в качестве стандартного базиса

мы можем взять функции $|J, M\rangle$, характеризующие определенную проекцию на одну из осей C_4, C_3 и т.д. С другой стороны при выбранной ориентации базиса матрица перехода

$\langle J, M | J, M \rangle$ вообще говоря определена с точностью до унитарного преобразования внутри полупространства с заданными J, G, S , но разними n . Этот произвол как раз и устраняется при введении дополнительного условия диагональности.

Вернемся теперь к оператору $R_{A_1}^4$. Где явный вид в системе координат с осью Z , направленной вдоль оси C_4

$$R_{A_1}^4 = (\gamma/12)^{1/2} T_0^4 + (\gamma/24)^{1/2} (T_4^4 + T_{-4}^4).$$

Почему же именно оператор $R_{A_1}^4$ использован для определения нестандартного базиса? С математической точки зрения этот оператор удобен, поскольку он позволяет при произвольных J различать функции с разными n - т.е. он не приводит к случайному выражению или квазивырождению состояний одного типа симметрии, но с разными значениями n . С физической же точки зрения данный оператор является наиболее важным при описании эффекта расщепления вращательных уровней для полносимметричных колебательных состояний. Именно это обстоятельство исторически и обусловило используемый теперь выбор нестандартного базисного набора для цепочки групп $SO(3) \supset C$. Инициальный вид соответствующих матриц перехода для нижних значений J приведен в §1 части II лекций.

Внешние базисы $|J, M\rangle$, или в сокращенных обозначениях $|J, p\rangle$, то позволяет определить непосредственно в этом базисе коэффициенты векторного сложения, так называемые $F_{J_1, J_2, J_3}^{J_1, J_2, J_3}$, символы, которые играют также же роль, как и $\delta_{J_1, J_2, J_3}^{J_1, J_2, J_3}$ символы Ванкера для групп вращений. Слэб этих коэффициентов Ванкера для групп вращений. Слэб этих коэффициентов с $J_{\mu\nu}$ -символами для групп вращений застаеть соответственно:

- 52 -

$$F_{P_1 P_2 P_3}^{J_1 J_2 J_3} = \sum_{m_1 m_2 m_3} \langle J_1 m_1 | J_1 p_1 \rangle \langle J_2 m_2 | J_2 p_2 \rangle \langle J_3 m_3 | J_3 p_3 \rangle (J_1 J_2 J_3)_{m_1 m_2 m_3}.$$

Поскольку матрица перехода известна в большинстве случаев только численно, то и для F символов отсутствуют аналитические выражения и заложены они, как правило, в виде таблиц. Уменьшить число табулируемых величин позволяет переход от F коэффициентов к соответствующим электиальным множителям

$$K_{n_1 n_2 n_3}^{J_1 J_2 J_3} = F_{n_1 n_2 n_3}^{J_1 J_2 J_3} / F_{5_1 5_2 5_3}^{G_1 G_2 G_3}$$

которые по лемме Раха не зависят от строк неправильных представлений. Значительное уменьшение объема таблиц связано с малым числом различных F символов для точечной группы.

Для частных значений $F_{0 J J'}$ и $K_{0 J J'}$ символов имеются простые выражения:

$$F_{A_1 P P'}^{0 J J'} = (-1)^J (2J+1)^{-1/2} \delta_{JJ'} \delta_{PP'},$$

$$K_{A_1 n C' n' C}^{0 J J'} = (-1)^J \sqrt{\frac{(2J+1)}{2J+1}} \delta_{JJ'} \delta_{nn'} \delta_{CC'}.$$

F коэффициенты используются при применении теоремы Ванкера-Эккхарта для группы $SO(3)$ непосредственно в нестандартном базисе. Для матричных элементов тензорных операторов, неприводимых относительно группы вращений имеем соотношение

$$\langle d' J' p' | T_q^{(\alpha)} | d J \rangle = (-1)^J F_{q p p'}^{k J J'} \langle d' J' | T^{(\alpha)} | d J \rangle.$$

Если же рассматривать тензорные операторы, неприводимые от-

- 53 -

и поиске точечной группы, то для них теорема Бигнера-Эккарта выражается следующим образом:

$$\langle \beta' c' \sigma' | T^{(r)} | \beta c \sigma \rangle = F_{\alpha \beta \gamma}^{g c c'} \langle \beta' c' | T^{(r)} | \beta c \rangle.$$

Приведенные матричные элементы относительно групп вращений и точечной подгруппы для тензорных операторов, которые характеризуются определенными свойствами симметрии и относительно групп вращения и относительно точечной группы, связанные с помощью K коэффициентов

$$\langle \alpha' J' n' c' | T^{(s, n)} | \alpha'' J'' n'' c'' \rangle =$$

$$= (-1)^{J'} K_{n' c' n'' c''}^{\alpha' J'' J'} \langle \alpha' J' | T^{(s')} | \alpha'' J'' \rangle.$$

Тензорное связывание операторов также может быть проведено непосредственно в нестандартном базисе при использовании $F_{\alpha_1 \alpha_2 \alpha_3}^{J_1 J_2 J_3}$ коэффициентов

$$(A J_1 + B J_2) J_3 = (-1)^{J_3} \sqrt{2J_3+1} \sum_{\alpha_1 \alpha_2 \alpha_3} F_{\alpha_1 \alpha_2 \alpha_3}^{J_1 J_2 J_3} A_{\alpha_1} B_{\alpha_2}$$

Используя процедуру тензорного связывания относительно точечной группы

$$(A J_1^n c_1 + B J_2^n c_2) c_3 =$$

$$= \sqrt{|C_3|} \sum_{\alpha_1 \alpha_2} F_{\alpha_1 \alpha_2 \alpha_3}^{c_1 c_2 c_3} A_{\alpha_1} J_1^n c_1 B_{\alpha_2} J_2^n c_2$$

мы можем получить соотношение, связывающее тензорное произведение относительно группы $\text{SO}(3)$ с тензорным произведением относительно точечной подгруппы

$$(A J_1 + B J_2) J_3^n c_3 = (-1)^{J_3} \sqrt{2J_3+1} \frac{1}{\sqrt{|C_3|}}.$$

$$\sum_{\alpha_1 \alpha_2 \alpha_3} K_{\alpha_1 \alpha_2 \alpha_3}^{J_1 J_2 J_3} (A J_1^n c_1 + B J_2^n c_2) c_3$$

или аналогичное обратное соотношение, получение которого основано на свойстве унимарности матрицы коэффициентов

$$(A J_1^n c_1 + B J_2^n c_2) c_3 = \frac{1}{\sqrt{|C_3|}} \sum_{\alpha_1 \alpha_2 \alpha_3} (-1)^{J_3} \sqrt{2J_3+1} K_{\alpha_1 \alpha_2 \alpha_3}^{J_1 J_2 J_3} (A J_1 + B J_2) J_3^n c_3.$$

Упражнение 8.1. Указать свойства симметрии F и K коэффициентов.

Упражнение 8.2.

Какие операторы можно построить с помощью тензорного связывания операторов $A_{\alpha_1} + B_{\alpha_2}$, записанных для пеподгруппы $\text{SO}(3) \supset 0$.

Литературные указания.

Изложение вопросов данного параграфа следует разделам [12, 16–18]. Работы других авторов могут отличаться выражением физ. матриц неприводимых представлений в т.п. Общие вопросы использования точечек групп в молекулярной спектроскопии обсуждены в работах [19, 20].

§9. ПЕРЕСТАНОВЧНАЯ СИММЕТРИЯ ТЕНЗОРОВ.

Рассмотрим в качестве первого примера тензорные произведения двух операторов типа F_2 для кубической группы

$$a^{F_2}, b^{F_2}.$$

В §2 мы уже показали, что линейное произведение естественным образом разделяется на симметризованную и антисимметризованную части. Причем в частном случае, когда $a = b$, антисимметризованное произведение обращается в ноль. Это связано тем, что в случае $a^{F_2} \times a^{F_2}$ мы имеем всего шесть отличных от нуля компонент:

$$f_{2x}^{F_2}, f_{2y}^{F_2}, f_{2z}^{F_2}, f_{xy}^{F_2}, f_{xz}^{F_2}, f_{yz}^{F_2}.$$

Произведение $a^{F_2} \times a^{F_2}$ очевидно симметрично относительно перестановок сомножителей. Этот простой пример указывает на возможность использования группы перестановок /симметрическая группа S_N / для классификации тензорных произведений операторов $a^r \times a^s \times \dots \times a^t$ и тензорных произведений наборов функций $\{\psi^r\} \times \{\psi^s\} \times \dots \times \{\psi^t\}$.

Предварительно напомним некоторые сведения о группе перестановок.

$$\text{Группа } S_N \text{ содержит } N! \text{ элементов: } (1 \ 2 \ \dots \ n).$$

Каждый элемент характеризуется циклической структурой, т.е. совокупностью индексов, преобразующихся друг через друга.

Например перестановка

$$(1 \ 2 \ 3 \ 4 \ 5 \ 6 \ 7 \ 8)$$

представляется как произведение четырех замкнутых циклов:

$$\left(\begin{matrix} 1 & 2 & 3 \\ 2 & 3 & 1 \end{matrix} \right) \left(\begin{matrix} 4 & 5 \\ 5 & 4 \end{matrix} \right) \left(\begin{matrix} 6 & 7 \\ 7 & 6 \end{matrix} \right) \left(\begin{matrix} 8 \\ 8 \end{matrix} \right).$$

В краткой записи у же перестановку можно записать как

$(123)(45)(67)(8)$. Циклы, состоящие из одного символа, сбрасывают при записи. Циклы из двух элементов называются транспозициями. важность понятия о циклической структуре связана с тем, что для симметрической группы перестановки,

- 56 -

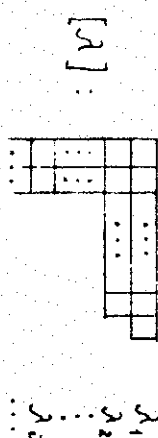
имеющие одну и ту же циклическую структуру, относятся к одному классу сопряженных элементов. /Элементы $\alpha, \beta \in S_N$ сопряжены, если $\exists \gamma \in S_N$, такой что $\gamma^{-1}\alpha\gamma = \beta$./ Структуру циклического разбиения перестановки, а следовательно и каждый класс сопряженных элементов можно характеризовать разбиением $(1, 1, \dots, 1, \underbrace{2, 2, \dots, 2}_{\nu_2}, \dots, \underbrace{N}_{\nu_N})$, содержащим ν_1 раз 1, ν_2 раз 2, и т.д. Причем $\nu_1 + 2\nu_2 + \dots + N\nu_N = N$. Это разбиение показывает, что рассматриваемая перестановка содержит ν_1 одинарных циклов, ν_2 — транспозиций, и т.д.

Для группы S_N число различных классов равно числу разбиений N на положительные целые числа $\lambda_1, \lambda_2, \dots, \lambda_N$, где

$$\begin{aligned} \lambda_1 &= \nu_1 + 2\nu_2 + \dots + N\nu_N \\ \lambda_2 &= \nu_2 + \dots + N\nu_N \\ &\vdots \\ &\vdots \\ &\vdots \\ &\lambda_N = \nu_N \end{aligned}$$

$$\lambda_1 \geq \lambda_2 \geq \dots \geq \lambda_N; \quad \lambda_1 + \lambda_2 + \dots + \lambda_N = N.$$

Такое разбиение обычно зедают диаграммой Янга,



в 1-ой строке которой находится λ_i — клеток.

Для конечных групп число классов равно числу неприводимых представлений, поэтому удобно и неприводимые представления группы S_N характеризовать такими же диаграммами.

Видим все неприводимые представления для постепенных групп перестановок, характеризующихся диаграммами Янга.

Размерность $f[\lambda]$ представления $[\lambda]$ может быть равна
считана по формуле

$$f[\lambda] = N! / \mu[\lambda],$$

где $\mu[\lambda]$ – произведение угловых линий для всех ячеек диаграммы Янга.

Представления, для которых диаграмма Янга имеет вид одного столба или одной строки, являются одномерными и определены соответственно антисимметрическое и полносимметрическое представления. Все оставшиеся структуры Янга соответствуют симметризации по строкам и антисимметризации по столбам.

Вернемся теперь к вопросу классификации тензорных произведений некоторого пространства, т.е. произведения базисных наборов

$$\{\psi^r\} \cdot \{\psi^r\} \cdot \dots \cdot \{\psi^r\}.$$

Любой набор $\{\psi^r\}$ состоит из n компонент. Тогда в качестве совокупности преобразования мы можем рассмотреть все возможные преобразования в n -мерном пространстве, т.е.

группу $U(n)$.

Совокупность унитарных матриц $(n \times n)$, описывающих переход от одного базисного набора к другому, является примером представления группы $U(n)$. Все прочие представления группы $U(n)$ можно получить, разлагая на неприводимые компоненты тензорные произведения

$$\{\psi^r\} \cdot \{\psi^r\} \cdot \dots \cdot \{\psi^r\}.$$

$N_{\rho \alpha \beta}$

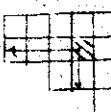
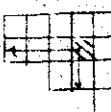
При таком способе нумерации строк неприводимых представлений задаются определенные свойства преобразования относительно цепочки подгрупп S_{N-1}, S_{N-2}, \dots и т.д.

Несколько удобным является расчет размерностей представлений с использованием понятия угловой длины для данной ячейки диаграммы Янга. Угловой длиной ячейки называется суммарное число ячеек, стоящих справа и снизу от данной ячейки сама.

Пример.

Для выделенной на диаграмме ячейки уголковая длина равна 5.

- 58 -



Но как уже отмечалось, такое тензорное произведение можно разложить на части, воспользовавшись инвариантностью относительно перестановок сомножителей. Для тензорного произведения степеней N типа перестановочной симметрии заданной структуры Янга из N ячеек разложение $[\lambda]/\mu$. В теории скобками Янга из N ячеек /разложение/ $[\lambda]/\mu$. В теории групп доказывается, что осуществляется таким образом разложение тензорного произведения есть одновременно разложение на неприводимые представления группы $U(n)$. То есть неприводимые представления $U(n)$ задаются разбиением $[\lambda]$.

- 59 -

Чтобы засечь все функции, преобразующиеся по линейному неприводимому представлению унитарной группы, надо в кольце схем Юнга вписать индексы компонент / для группы $U(n)$ различных компонент n .

Так например, представление \square группы $U(3)$ имеет компоненты $\begin{bmatrix} 1 & 1 \end{bmatrix}$, $\begin{bmatrix} 1 & 2 \end{bmatrix}$, $\begin{bmatrix} 1 & 3 \end{bmatrix}$, $\begin{bmatrix} 2 & 2 \end{bmatrix}$, $\begin{bmatrix} 2 & 3 \end{bmatrix}$, $\begin{bmatrix} 3 & 3 \end{bmatrix}$, в представление \square компоненты $\begin{bmatrix} 1 \\ 2 \end{bmatrix}$, $\begin{bmatrix} 1 \\ 3 \end{bmatrix}$, $\begin{bmatrix} 2 \\ 3 \end{bmatrix}$. В один отобои не могут входить одинаковые числа, т.к. их антисимметрическая комбинация обратится в ноль. Приведем еще один пример стандартной схемы Юнга для группы $U(5)$:

1	1	1	2	2	3	3
2	2	2	3	3		
3	3					

Легко видеть, что для группы $U(n)$ схемы Юнга не могут содержать более n строк. Само представление унитарной группы задается разбиением $\lambda_1, \lambda_2, \dots, \lambda_n$. Размерность представления $[\lambda]$ группы $U(n)$ можно рассчитать по формуле

$$\text{размножение} = \frac{n!}{\lambda_1 \cdot \lambda_2 \cdot \dots \cdot \lambda_n} = \frac{n!}{\lambda_1 \cdot \lambda_2 \cdot \dots \cdot \lambda_n} \cdot \frac{\lambda_1 \cdot \lambda_2 \cdot \dots \cdot \lambda_n}{\lambda_1 \cdot \lambda_2 \cdot \dots \cdot \lambda_n} = \frac{n!}{\lambda_1 \cdot \lambda_2 \cdot \dots \cdot \lambda_n}$$

Размерность представления группы $U(n)$ = произведение делителей $n!$ на делители $\lambda_1 \cdot \lambda_2 \cdot \dots \cdot \lambda_n$.

$$\text{При мер.}$$

размерность представления	\square	для группы	$U(2)$
$\begin{bmatrix} 2 & 3 \\ 1 & 2 \end{bmatrix}$	$= 1$		

размерность представления	\square	для группы	$U(3)$
$\begin{bmatrix} 3 & 2 \\ 2 & 1 \end{bmatrix}$	$= 6$		

- 60 -

Использованный выше способ непосредственного вычисления размерности неприводимого представления группы $U(n)$, требует не очень посторон, более удобных является метод ГельфандаМакдональда Таблица ГельфандаМакдональда. В таблице указывается до каких неприводимых представлений пешочки группы $U(n) \geq U(n-1) \geq \dots \geq U(1)$ преобразуется линий базисный вектор. Такая квадратичная таблица однозначной. Для группы $U(n)$ таблица состоит из n строк. В первую строку входит n первых чисел, за них следующее представление $[\lambda]$ группы $U(n)$, эти числа являются ячейками первой, второй и т.д. строк соответствующей квадратной таблицы.

$$\text{Таблица Гельфандана для } U(n) = \left(\begin{array}{cccccc} m_{1,1} & m_{1,2} & m_{1,3} & \dots & m_{1,n-1} & m_{1,n} \\ m_{2,1} & m_{2,2} & m_{2,3} & \dots & m_{2,n-1} & m_{2,n} \\ \vdots & \vdots & \vdots & \ddots & \vdots & \vdots \\ m_{n-1,1} & m_{n-1,2} & m_{n-1,3} & \dots & m_{n-1,n-1} & m_{n-1,n} \\ m_n,1 & m_n,2 & m_n,3 & \dots & m_n,n-1 & m_n,n \end{array} \right)$$

Во вторую строку таблицы Гельфандана входит $(n-1)$ число, по которому преобразуется линий базисный вектор. Это же число определяет схему Юнга, которая получается, если из исходной схемы Юнга удалить все клетки, в которые вписаны числа n . Третья строка таблицы Гельфандана определяет неприводимое представление группы $U(n-2)$, и т.д.

Пример.

Честный пример соответствия схемы Юнга и таблицы Гельфандана для группы $U(3)$:

$$\begin{bmatrix} 1 & 1 & 1 \\ 2 & 2 & 2 \\ 3 & 3 & 3 \end{bmatrix} \longleftrightarrow \begin{pmatrix} 3 & 5 & 2 \\ 4 & 3 \end{pmatrix}$$

В общем случае числа, входящие в таблицу Гельфандана удовлетворяют следующему условию:

$$m_{i,j} \geq m_{i+1,j} \geq m_{i+1,j+1}$$

Пользуясь этим условием легко вписывать все компоненты для данного неприводимого представления группы $U(n)$.

- 61 -

Базисом для представления $U(3)$ является неортогональное представление

$$\begin{pmatrix} 3 & 0 & 0 \\ 3 & 0 & 0 \\ 3 & 0 & 0 \end{pmatrix}; \begin{pmatrix} 3 & 0 & 0 \\ 0 & 2 & 0 \\ 0 & 2 & 0 \end{pmatrix}; \begin{pmatrix} 3 & 0 & 0 \\ 0 & 0 & 0 \\ 3 & 0 & 0 \end{pmatrix}; \begin{pmatrix} 3 & 0 & 0 \\ 0 & 0 & 0 \\ 0 & 0 & 0 \end{pmatrix}; \begin{pmatrix} 3 & 0 & 0 \\ 0 & 0 & 0 \\ 0 & 0 & 0 \end{pmatrix}; \begin{pmatrix} 3 & 0 & 0 \\ 0 & 0 & 0 \\ 0 & 0 & 0 \end{pmatrix}; \begin{pmatrix} 3 & 0 & 0 \\ 0 & 0 & 0 \\ 0 & 0 & 0 \end{pmatrix}; \begin{pmatrix} 3 & 0 & 0 \\ 0 & 0 & 0 \\ 0 & 0 & 0 \end{pmatrix}; \begin{pmatrix} 3 & 0 & 0 \\ 0 & 0 & 0 \\ 0 & 0 & 0 \end{pmatrix}$$

Всего базис $|0\rangle$, при естественно совпадает с размерностью представления \square_{\square}

$$\text{размерность } \square_{\square} = \frac{3 \cdot 4 \cdot 5}{3 \cdot 2 \cdot 1} = 10.$$

Во многих случаях введение группы $U(n)$ осуществляется независимо от способа симметрии рассматриваемой задачи.

Так классификация N -электронных состояний при использовании n -орбиталей для атомных и молекулярных задач первона- чально может быть сплана к рассмотрению представлений групп $U(n)$. Эта группа, разумеется, не является группой симметрии молекуларной задачи, но она удобна в качестве ис- ходного пункта для последующей классификации.

В то же время для n -мерного изотропного гармонического осциллятора группой симметрии является группа $U(n)$, в следовательно, энергетические уровни соответствуют полносимметричным представлениям группы $U(n)$, т.е. представлениям вида $[\lambda, 0, 0, \dots, 0]$. Энергия состояния, определяемая по представлению $[\lambda, 0, 0, \dots, 0]$ n -мерного изо- тропного осциллятора равна $(\lambda + n/2)$.

Базис Гельфандия для унитарной группы является стандартным базисом избором, условным для однозначной классификации состояний. Однако, он в конкретных задачах не отражает специфики задачи. Так например, при построении осцилляторных состояний для трехмерных виртуальных колебаний симметрии E_2 в молекулах типа сферического волшка удобно пользоваться классификацией, при которой все состояния обладают определенными свойствами относительно точечной группы симметрии

а не пепочии унитарных групп $U(3) \supseteq U(2) \supseteq U(1)$. Такой базис мы будем называть нестандартным базисом. Нестандартный базис будет определен полностью, если, например, будет задана однозначная связь с базисом Гельфандя. Для трехмерного гармонического осциллятора нестандартный базис одно-значно может быть связан с помощью пепочки групп $U(3) \supseteq G(3) \supseteq G$, где G - точечная группа симметрии, если мы будем считать, что для группы $O(3)$ нестандартный базис, приведенный по симметрии относительно подгруппы G уже выбран /см. предыдущий параграф/.

Полносимметричное представление $[\lambda]$ группы $U(3)$ однозначно распадается на неприводимые представления группы $O(3)$:

$$[\lambda] = \sum_{n=0}^{\text{часть } \lambda/2} (\lambda - 2n).$$

Здесь (J) - неприводимое представление группы $O(3)$ веса J . Например:

$$\begin{aligned} [1] &= (1) \\ [2] &= (2) + (0) \\ [3] &= (3) + (1) \\ [4] &= (4) + (2) + (0). \end{aligned}$$

Меньшую классификацию состояний внутри подпространства с заданным J можно провести, воспользовавшись базисом для группы трехмерных ярданий, приведенным по симметрии относительно точечной подгруппы. Это означает, что вместо базиса $|J, M\rangle$, который является стандартным для группы ярданий, мы будем использовать базис $|J, \sigma \Gamma_S\rangle$, где Γ - неизвядимое представление точечной группы, σ - строка, n - число мультиплетности, необходимый в тех случаях, когда предста- вление Γ группы G входит несколько раз в разложение представления (J) группы $O(3)$; детализация базиса определяется аналогично базису ранее. Здесь же мы будем предполагать, что такой базис задан одинично /помимо способа симметрии для этого

Методом нахождения для линейных уравнений.

Также можно, чтобы для трехкратного вырождения кубиче-
вий звать кубичность состояний для линии $\{A\}$ в не-
стационарном случае достаточно звать $\{\mathcal{E}, \pi_{12}\}$, где
 $\mathcal{E} = A_1, A_2, A_3, A_4, \dots, I$ и $\pi_{12} =$
аналогично для операторов $\{a, a^*, a^F, \dots, a^G\}$ необходимо
определить (\mathcal{E}, π_{12}) .

Рассмотрим более подробно оператор a^{F_2} , или точечный
группа T_2 . Тензорный оператор a^{F_2} относительно группы T_2
является также тензорным оператором. Та относительно
группы $G(3)$ и тензорным оператором, несравненная по
периодичному представлению $[1 \ 0 \ 0]$ группе $G(3)$,
также как кубический и кубичные операторы, которые
могут представлять из a^{F_2} .

$$\begin{aligned} & (a^{F_2} \cdot a^{F_2})^{3,A_1}; \quad (a^{F_2} \cdot a^{F_2})^{3,B_2}; \quad (a^{F_2} \cdot a^{F_2})^{3,C_3}; \\ & (a^{F_2} \cdot a^{F_2} \cdot a^{F_2})^{3, \pi_{12}}; \quad (a^{F_2} \cdot a^{F_2} \cdot a^{F_2})^{3, \pi_{12}^*}; \\ & (a^{F_2} \cdot a^{F_2} \cdot a^{F_2})^{3,A_4}; \quad (a^{F_2} \cdot a^{F_2} \cdot a^{F_2})^{3,B_1}; \end{aligned}$$

Явные выражения для операторов получаются при замене коэффициентов векторного сложения, заложенных в нестационарном базисе $\{J_1, J_2, J_3\}$ — или при использовании соотношений

$$[a \cdot a]^0 \cdot a]_{I_1 F_2} = -\sqrt{3} \int_{A_1}^{F_2} \frac{1}{F_1} \frac{I_1}{F_1} \frac{I_2}{F_1} \frac{I_3}{F_1} (a \cdot a)_A^0 \cdot a,$$

где I_1, I_2, I_3 — единичные векторы.

При производстве операторов в группе $G(3)$ при заложении не-

стационарном базисе имеет вид:

$$\int_{A_1}^{F_2} \int_{A_2}^{F_3} \int_{A_3}^{F_4} = (-1)^{J_1^3} \int_{A_1}^{F_1} \int_{A_2}^{F_2} \int_{A_3}^{F_3} \int_{A_4}^{F_4} \frac{I_1}{F_1} \frac{I_2}{F_2} \frac{I_3}{F_3} \frac{I_4}{F_4}.$$

В явлении якобы это определением \mathcal{E} слишком.

Коэффициент $\int_{A_1}^{F_1} \int_{A_2}^{F_2} \int_{A_3}^{F_3} \int_{A_4}^{F_4}$ баз группы групп $G(3) = T_4$

сводится к явлениям коэффициентам для цепочки групп

$$= -\sqrt{3} K_{F_1 F_2}^{I_1 I_2 I_3 I_4} \left[(a \cdot a)_A^{F_2} a_A^{(-I/\sqrt{3})} + (a \cdot a)_B^{F_2} a_B^{(-I/\sqrt{3})} \right]$$

$$\text{сле } p_1 \leftrightarrow p_2 \text{ соответствует замене } A_1 \leftrightarrow A_2; \\ F_1 \leftrightarrow F_2; \quad I_1 \leftrightarrow I_2. \\ \text{Выбор знака: } \mathcal{E} = -I, \text{ если происходит одна замена } F_2 \rightarrow H, \\ \text{но всех остальных случаях } \mathcal{E} = +I.$$

Явные выражения для квадратичных, кубичных и кубичных
операторов, построенных из a^{F_2} , даны в §7 части II лекций.
Здесь мы проиллюстрируем построение кубического оператора та-
ко $(I_1 F_2)$. Построить такой оператор мы можем двумя спо-
собами:

$$[(a^{F_2} \cdot a^{F_2})^0 \cdot a^{F_2}]_{I_1 F_2} = [(a^{F_2} \cdot a^{F_2})^2 \cdot a^{F_2}]_{I_1 F_2};$$

в обеих способах с точностью по численного коэффициента
должны приводить к одному и тому же оператору. Для сокраще-
ния записи опустим индекс F_2 у оператора a .

$$[(a \cdot a)^0 \cdot a]_{I_1 F_2} = -\sqrt{3} \int_{A_1}^{F_2} \frac{1}{F_1} \frac{I_1}{F_1} \frac{I_2}{F_1} \frac{I_3}{F_1} (a \cdot a)_A^0 \cdot a,$$

$$= -\sqrt{3} \left(a_x^2 + a_y^2 + a_z^2 \right) a_x;$$

$$\begin{aligned} & [(a \cdot a)^2 \cdot a]_{I_1 F_2} = -\sqrt{3} \sum_{G(3)} \int_{F_2}^{F_3} \int_{F_3}^{F_4} \int_{F_4}^{F_1} \int_{F_1}^{F_2} (a \cdot a)_G^{F_2} a_G; \\ & -\sqrt{3} \sum_{G(3)} \int_{F_2}^{F_3} \int_{F_3}^{F_4} \int_{F_4}^{F_1} \int_{F_1}^{F_2} (a \cdot a)_G^{F_2} (a \cdot a)_G^{F_3} a_G; \end{aligned}$$

$$\begin{aligned} & = -\sqrt{3} K_{F_1 F_2}^{I_1 I_2 I_3 I_4} \left[(a \cdot a)_A^{F_2} a_A^{(-I/\sqrt{3})} + (a \cdot a)_B^{F_2} a_B^{(-I/\sqrt{3})} \right] \\ & = -\sqrt{3} K_{F_1 F_2}^{I_1 I_2 I_3 I_4} \left[(a \cdot a)_A^{F_2} a_A^{(-I/\sqrt{3})} + (a \cdot a)_B^{F_2} a_B^{(-I/\sqrt{3})} \right] \end{aligned}$$

ма различными способами даёт набор линейно зависимых операторов

$$\sqrt{3} \left[K_{F_1 F_2}^{19} I_2 2g \begin{bmatrix} (a - a)^{2E} & 2F \\ (a - a) & 1/a \end{bmatrix}_{1/2} + (a - a) \begin{bmatrix} 2F \\ 2 \\ a \end{bmatrix}_{1/2} (-1/2) \right]$$

$$= - (2/\sqrt{15}) \left\{ a_x^2 + a_y^2 + a_z^2 \right\} a_x .$$

Таким образом мы получим коэффициент пропорциональности между двумя схемами связи

$$\left[\left(f_2 \times f_2 \right)^2 \cdot a \right]_{1/2} f_2 = (2/\sqrt{5}) \left[\left(f_2 \times f_2 \right)^0 \cdot a \right]_{1/2} ,$$

в общем случае нахождение коэффициентов пропорциональности между операторами, построенным по различным схемам связи может быть выполнено с помощью коэффициентов, табулированных в § 8 части II лекций.

Остается еще на построении операторов типа $(a^E)^n$ для

других неприводимых представлений. В этом случае классификация основывается на свойствах группы $U(2)$, требует выделения исстанингтного базиса, приведенного по симметрии относительно конечной подгруппы. Нестратичность использования только свойств симметрии относительно точечной группы видна из следующего примера.

Построим оператор $(a^E)^n$ для точечной группы T_d . Коэффициент неизвестных операторов каждой степени определяется разложением симметризованной степени $[k^n]$, и т. о. имеет вид:

$$[E^n]$$

$$\begin{aligned} 6p & \quad p(A_1 + A_2 + 2E) + A_1 \\ 6p + 1 & \quad p(A_1 + A_2 + 2E) + E \\ 6p + 2 & \quad p(A_1 + A_2 + 2E) + A_1 + E \\ 6p + 3 & \quad p(A_1 + A_2 + 2E) + A_1 + A_2 + E \\ 6p + 4 & \quad p(A_1 + A_2 + 2E) + A_1 + 2E \\ 6p + 5 & \quad p(A_1 + A_2 + 2E) + A_1 + A_2 + 2E \end{aligned}$$

Для $n = 4$ получается для оператора типа E , в то же время построение в рамках группы T_d операторов типа E четырь-

$$\left\{ \left[(a^E \cdot a^F) A_1 \cdot a^F \right]^E ; \quad \left\{ (a^E \cdot a^F) A_2 \cdot a^F \right\}^E ; \quad \left\{ (a^F \cdot a^E) A_1 \cdot a^E \right\}^E ; \quad \left\{ (a^F \cdot a^E) A_2 \cdot (a^E \cdot a^F) E \right\}^E \right.$$

$$\left. \left\{ \left[(a^E \cdot a^F) E \cdot a^F \right] A_1 \cdot a^F \right\}^E ; \quad \left\{ (a^E \cdot a^F) E \cdot (a^F \cdot a^E) E \right\}^E . \right.$$

Указанные операторы связаны соотношениями:

$$\begin{aligned} \left\{ \left[(a \cdot a)^E \cdot a \right] A_1 \cdot a \right\}^E - \left\{ \left[(a \cdot a)^E \cdot a \right] A_2 \cdot a \right\}^E &= \\ = \left\{ \left[(a \cdot a)^E A_1 \cdot a \right] \cdot a \right\}^E ; \quad \left\{ \left[(a \cdot a)^E A_2 \cdot a \right] \cdot a \right\}^E &= \\ \left\{ \left[(a \cdot a)^E \times a \right] A_2 \cdot a \right\}^E + \left\{ \left[(a \cdot a)^E \cdot a \right] A_1 \cdot a \right\}^E &= \\ = (1/\sqrt{2}) \left\{ (a \cdot a)^E \times (a \cdot a)^E \right\}^E . \end{aligned}$$

Причина такого неоднозначного построения операторов заключается в том, что мы использовали коэффициенты векторного сложения для группы T_d , и не связывали их с группой $U(2)$. Для однозначного построения базиса необходимо ввести еще некоторый дополнительный принцип, например, используемый в § 8 части II.

Литературные указания.

Основы теории представлений симметрической и унитарной групп см., например, в [1]. Краткое введение и применение к векторным задачам дано в книге [21]. Современный обзор применения метода унитарной группы к электронным и молекулярным расчетам — [22, 23].

Тензорный формализм для описание E и F состояний молекул типа сферического волчка последовательно разрабатывается в работах [24, 18].

Обзор по теории тензорных операторов для унитарных групп — [25].

10. ПРИЧИДЫ ПОСТРОЕНИЯ КОЛЕБАТЕЛЬНО-СИММЕТРИЧЕСКОГО ОПЕРАТОРА В ТЕНЗОРНОМ ВИДЕ.

Используя колебательные в вибраторе колебательные тен-

зорные операторы, мы можем сперва построить произвольный колебательно-импульсный оператор с помощью тензорного произведения колебательных и вибраторных операторов. Презентация колебательных операторов \sqrt{V} будет оставлена на отдельной странице.

Нам потребуется знание об операторах a^+ , a . Не

оставляя винишко на будущее, определим a как оператор, который показывает, что вибрация связана с колебательной точкой

примечания. Для характеристики производственного обра-

тования $\hat{P}_{\alpha\beta}$ как тензора оператора относительного коорди-

нат, имеющей вид

$$\hat{T} = \int V^{\alpha\beta} \hat{a}^{\dagger}(\alpha) \hat{a}(\beta) d\tau$$

так как колебательные-взаимодействие операторы, а также $\hat{P}_{\alpha\beta}$ для построения гамильтониана должны иметь соответствующий

типа \hat{A}_1 . То есть случае $\hat{T} = V^{\alpha\beta}$ образует симметрическое характеристическое колебательно-импульсное

торговладение: степень относительного колебательного оператора, имагинарность или поларизация по колебательным

и реальным членам, разделяются на колебательного оператора относительно $\hat{P}_{\alpha\beta}$.

В общем случае колебательный и тип колебательного оператора

получаются путем комбинации вибраторных операторов

a^+ и a в виде

$$V^{\alpha\beta} = \int \left(\hat{P}_{\alpha\beta} - \frac{1}{2} \delta_{\alpha\beta} \hat{V} \right) d\tau = \left(\hat{P}_{\alpha\beta} - \frac{1}{2} \delta_{\alpha\beta} \hat{V} \right) d\tau$$

где

$$\left\{ \left(a_{s_1}^+ \times a_{s_2}^+ \times \cdots \times a_{s_n}^+ \right)^{\alpha} \Gamma_1 \cdot \left(a_{s_1} \times a_{s_2} \times \cdots \times a_{s_n} \right)^{\beta} \Gamma_2 \right\}^{\Gamma}$$

где α_1 и α_2 совокупность индексов, необходимых чтобы разместить тензорные операторы одной и той же симметрии.

Некоммутативные операторы будем записывать в аналогичном виде:

В общем случае $\hat{P}_{\alpha\beta}$ получается из выражения

виде $\hat{P}_{\alpha\beta} = \text{коэффициент полного момента количества движений, зависящий в системе координат, связанной с молекулой.}$

$\hat{P}_{\alpha\beta}$ – операторы колебательного момента количества движений, которые линейны относительно колебательных импульсов $P_{\alpha\beta}$, мат, зависящие от конкретного вида молекулы.

Гамильтониан (10-1) записан для произвольной молекулы и не учитывает возможных свойств симметрии. В то же время благодаря наличию этих свойств возникают дополнительные ограничения на члены, которые могут присутствовать в гамильтониане /полустим только члены симметрии A_1 /.

Приметельные операторы, входящие в гамильтониан (10-1) не более чем квадратичны относительно элементарных прямых операторов $\hat{P}_{\alpha\beta}$, поэтому для представления гамильтонана в тензорном виде достаточно использовать только прямые операторы кувалто, первого и второго рангов $R(0,1)$, $R(1,1)$, $R(2,1)$.

Приведем более подробную классификацию колебательно-импульсных операторов на примере гетероатомической молекулы.

Для этого приведем более подробные обозначения для колебательных операторов. Диагональные операторы $\hat{P}_{\alpha\alpha}$, т.е. те, которые включают один и тот же набор операторов ромбической упаковки/запись в виде:

$$\left\{ \left(a_{s_1}^+ \times a_{s_2}^+ \times \cdots \times a_{s_n}^+ \right)^{\alpha} \Gamma_1 \cdot \left(a_{s_1} \times a_{s_2} \times \cdots \times a_{s_n} \right)^{\beta} \Gamma_2 \right\}^{\Gamma}$$

где α_1 и α_2 совокупность индексов, необходимых чтобы разместить тензорные операторы одной и той же симметрии.

Некоммутативные операторы будем записывать в аналогичном виде:

$$\left\{ \left(a_{s_1}^+ \cdot a_{s_2}^+ \cdot \dots \cdot a_{s_n}^+ \right)^{\left(\alpha_{\Gamma_1}\right)} \cdot \left(a_{t_1}^+ \cdot a_{t_2}^+ \cdot \dots \cdot a_{t_n}^+ \right)^{\left(\alpha_{\Gamma_2}\right)} \right\}_\Gamma$$

Для сокращения записи введем операторы

$$\begin{aligned} A^+(\Gamma_1) \\ \sigma \end{aligned} = \left(a_{s_1}^+ \cdot a_{s_2}^+ \cdot \dots \cdot a_{s_n}^+ \right)^{\left(\alpha_{\Gamma_1}\right)} \frac{1}{\sigma},$$

$$B^+(\Gamma_2) \\ \sigma = \left(a_{t_1}^+ \cdot a_{t_2}^+ \cdot \dots \cdot a_{t_n}^+ \right)^{\left(\alpha_{\Gamma_2}\right)} \frac{1}{\sigma}.$$

Построение оператора пока не учитывает требование строимости и не определяет спектрального отображения времени. Исходя из свойств биномиала \hat{f} , можно показать, что сопоставим для оператора

$$\left\{ A^+(\Gamma_1), B^+(\Gamma_2) \right\}_1 = \text{базисный оператор } (-1)^{\frac{1}{2} \sum_{i=1}^n \sum_{j=1}^{s_i} \sum_{k=1}^{t_j} \delta_{i,j,k}} A^{\Gamma_1} B^{\Gamma_2} \text{ и } B$$

таким образом мы можем построить из операторов A^+ и B

$$\begin{aligned} \left\{ A^+(\Gamma_1), B^{\Gamma_2} \right\}_T \\ + = (-1)^{\frac{1}{2} \sum_{i=1}^n \sum_{j=1}^{s_i} \sum_{k=1}^{t_j} \delta_{i,j,k}} \left\{ B^{\Gamma_2}, A^{\Gamma_1} \right\}_T \end{aligned}$$

Таким образом мы можем построить из операторов A^+ и B для временных оператора

$$\left\{ A^+(\Gamma_1), B^{\Gamma_2} \right\}_T + = (-1)^{\frac{1}{2} \sum_{i=1}^n \sum_{j=1}^{s_i} \sum_{k=1}^{t_j} \delta_{i,j,k}} \left\{ B^{\Gamma_2}, A^{\Gamma_1} \right\}_T$$

$$\left\{ A^+(\Gamma_1), B^{\Gamma_2} \right\}_T - = (-1)^{\frac{1}{2} \sum_{i=1}^n \sum_{j=1}^{s_i} \sum_{k=1}^{t_j} \delta_{i,j,k}} \left\{ B^{\Gamma_2}, A^{\Gamma_1} \right\}_T$$

Первый из этих операторов является четным, а второй нечетным относительно операторов колебательных импульсов. Таким образом для оператора является соответственно четным в нечетном относительно оператора времени и нечетным в нечетном относительно количества сокращений.

$$T_{\Omega(\kappa, \mu, \Gamma) \Gamma_1 \Gamma_2} = \left(R_{\Omega(\kappa, \mu, \Gamma)} \cdot (-i) \sqrt{\{n_1\}_{m_1} \{n_2\}_{m_2}} \right)^{\Gamma_1 \Gamma_2}.$$

Полный колебательно-временной гамильтониан может быть очевидно представлен в виде разложения по введенным колебательно-временным операторам

$$H = \sum t_{\Omega(\kappa, \mu, \Gamma) \Gamma_1 \Gamma_2} T_{\Omega(\kappa, \mu, \Gamma) \Gamma_1 \Gamma_2} \quad (10-2)$$

$t_{\Omega(\kappa, \mu, \Gamma) \Gamma_1 \Gamma_2}$ — коэффициент по биориентированному базису.

- 71 -

Суммирование в (Гр-2) проводится по всем индексам. Тогда общая запись гамильтонина, однако, оказывается не нужной при раскопории значительной структуры одного изм исключим колебательных состояний. Несколько в данном случае можно счесть различия будут иметь кулевые матричные элементы вынужденного движения блока состояний. Более того при рассмотрении ве полупостроение ряда колебательно-вращательных операторов, построенных с помощью общего в том же измерительного оператора, легко найти аналогичность между остройческими элементами. При построении можно в каждом конечном случае от пошагового колебательно-вращательного гамильтониона можно перейти к эллиптическому оператору, описываемому вращательную группу для каждого из колебательных состояний, при этом можно отбросить лишь гравитационное. В существенные остатки, приведены построения аналогично описаны блоком ядра в № 3. Затем можно сказать, что за отказ от исходного колебательно-вращательного оператора можно выбрать другой, вращательные операторы, имеющие различные производные. Так например, для оценки вращательной структуры колебательное состояние молекулы CH_4 . Ограничиться оператором не выше четвертой степени по колебательным операторам и не выше четвертой по вращательным операторам.

$$R_{2(0,A_1)}, R_{4(4,A_1)}, R_{4(0,A_1)}, R_{6(6,A_1)}$$

Коэффициенты, с которыми линии оператора засчитываются в разложение колебательного оператора, могут называться параметрами состояния в отличии от параметров гамильтонiana, входящих в разложение полного колебательно-вращательного оператора (Гр-1). Следует отметить, что хотя параметры $R_{2(0,A_1)}$ и $R_{4(4,A_1)}$ более высокий кинетический смысл, чем $R_{4(0,A_1)}$ и $R_{6(6,A_1)}$, неакадемический, именно параметры состояний проще определять исходя из экспериментальных данных.

В заключение этого параграфа укажем физический смысл некоторых операторов, входящих в колебательно-вращательный оператор для тетраэдрических молекул.

Суммирование в (Гр-2) проводится по всем индексам. Тогда общая запись гамильтонина, однако, оказывается не нужной при раскопории значительной структуры одного изм исключим колебательных состояний. Несколько в данном случае можно счесть различия будут иметь кулевые матричные элементы вынужденного движения блока состояний. Более того при рассмотрении ве полупостроение ряда колебательно-вращательных операторов, построенных с помощью общего в том же измерительного оператора, легко найти аналогичность между остройческими элементами. При построении можно в каждом конечном случае от пошагового колебательно-вращательного гамильтониона можно перейти к эллиптическому оператору, описываемому вращательную группу для каждого из колебательных состояний, при этом можно отбросить лишь гравитационное. В существенные остатки, приведены построения аналогично описаны блоком ядра в № 3. Затем можно сказать, что за отказ от исходного колебательно-вращательного оператора можно выбрать другой, вращательные операторы, имеющие различные производные. Так например, для оценки вращательной структуры колебательное состояние молекулы CH_4 . Ограничиться оператором не выше четвертой степени по колебательным операторам и не выше четвертой по вращательным операторам.

$$R_{2(0,A_1)}$$

— чисто краинатомный оператор, описывающий движение ядерного сферического ядра,

$$\sqrt{F_1 F_2} (r) R_{1(1,F_4)}$$

— оператор ягодильской взаимодействия, приводящий к расщеплению трехкратно вырожденных колебательных состояний,

$$\sqrt{\Gamma_1 \Gamma_2 (E)} R^{2(2,F_2)}, \sqrt{\Gamma_1 \Gamma_2 (E)} R^{2(2,E)}$$

— операторы, описывающие эффект центробежного изжажения,

Упражнение ГО-1.

Записать все колебательно-вращательные колебательные операторы для молекулы CH_4 /74 оператора — 171 комбинации/. Сколько среди этих операторов диагональных в молекулах?

Упражнение ГО-2.

Указать все колебательно-вращательные операторы, необходимые для построения колебательного оператора, описывающего вращательную структуру двух колебательных состояний F_2 и D_2 молекулы CH_4 . Ограничиться операторами не выше четвертой степени по колебательным операторам и не выше четвертой по вращательным операторам.

Литературные указания.

Построение колебательно-вращательных операторов в линии параграфе следует работе [17].

§ 1. КОМПЛЕКСНЫЙ СПЕКТР ОПЕРАТОРОВ

АСИМПТИЧЕСКАЯ ОЦЕНКА МАССОВ.

В данном параграфе мы рассмотрим стельные вращательные операторы, имеющие по симметрии относительно точечной полгруппы. В качестве примера возьмем группу кубичного симметрии S_4 . Простейший вращательный оператор, полностью определяющий группу S_4 , $T_{\alpha_4}^{(0)}$, является скаляром, т.е., все его собственные значения при данном J оказываются $(2J+1)$ -кратно парными, пространством оператором, обуславливающим расщепление состояния с одинаковыми значениями квантового числа является тензорный оператор четвертого ранга, $T_{\alpha_4}^{(4)}$.

Спектр оператора $T_{\alpha_4}^{(4)}$ интересно исследовать для высоких значений вращательного квантового числа J . В результате строгого числового решения задача была показана, что в асимптотическом пределе спектр оператора $T_{\alpha_4}^{(4)}$ обладает очень простой структурой, которая характеризуется зависимостью от вырожденных групп уровня /так называемых классов/, со степенями квазивращения ϵ или δ . Численным образом рассчитанная система уровней тензорного оператора (4) при $J = 40$ приведена для иллюстрации на рисунке 2.

Кластерная структура спектра оператора $T_{\alpha_4}^{(4)}$ не является исключением. В настоящем параграфе будет показано, что в асимптотическом пределе высоких вращательных квантовых чисел для очень многих тензорных операторов характерно присутствие некот. вырожденных групп уровней, что позволяет значительно упростить расчет системы уровней, пренебрегая расщеплениями уровняй внутри кластеров. Изложение материала будет построено следующим образом. Вначале мы ясним принцип образования кластеров и укажем способ нахождения стелей вырожденности в типах кластеров для заданного тензорного оператора. После этого будет разбит простой приближенный метод расчета положения кластеров в спектре и найдена симметрия уровней, вложенных в каждый кластер. Наконец будет рассмотрен возможный подход к описанию расщеплений уровней.

ВНУТРИ КЛАСТЕРОВ.

Прежде всего исследуем асимптотический вид матричных элементов стельных компонент тензорных операторов, заданных в стандартном базисе, в пределе высоких значений J . При этом вместо оператора $T_{\alpha_4}^{(k)}$ удобнее рассмотреть величину

$$\left[(2J - \kappa + 1) \right]_{2\kappa+1}^{2\kappa+L} T_{\mu}^{(K)} \quad \text{где} \quad (\alpha)_n = \alpha(\alpha+1)\dots(\alpha+n).$$

Выделенный дополнительный множитель есть не что иное, как обобщенная величина k приделенному матричному элементу оператора $T_{\mu}^{(K)}$. Для расчета необходимых матричных элементов следует воспользоваться либо представлением тензорных операторов через эквивалентные операторы /см. § 2/, либо иным видом коэффициентов векторного сложения для группы вращений.

Для произвольного матричного элемента мы имеем соотношение

$$\lim_{J \rightarrow \infty} \frac{\langle J | M_{\mu}^{\alpha} | T_{\mu}^{(K)} | J | M \rangle}{\left[(2J - \kappa + 1) \right]_{2\kappa+1}^{2\kappa+L}} \sim$$

$$\sim (J)^{-(2\kappa+1)/2} \left[\frac{(J+M+\mu)!}{(J-M-\mu)!} \frac{(J-M)!}{(J+M)!} \right]^{1/2} \left[c_1 (M+\mu)^{\kappa+\mu} + \right. \\ \left. + \left\{ c_2 [J(J+1)]^{(\kappa-\mu)/2} \quad \text{для } (\kappa-\mu) \text{ четного} \right. \right. \\ \left. \left. + c_3 (M+\mu) \left[J(J+1) \right]^{(\kappa-\mu-1)/2} \quad \text{для } (\kappa-\mu) \text{ нечетного} \right\} + \dots \right]$$

Здесь c_i не зависящие от J постоянные.

Особого внимания заслуживают два частных случаев общего равенства (II-1), отвечающие $M_{\mu}^{\alpha} = 0$ и $M_{\mu}^{\alpha} = J$. Для случая $M_{\mu}^{\alpha} = J$ при $J \gg M$ имеем

$$\lim_{J \rightarrow \infty} \int \frac{(J-M)! (J+M+\mu)!}{(J-M-\mu)! (J+M)!} J^{(\mu-1)/2} = \frac{(\mu!)^{1/2}}{2^{1/2}} (J)^{\mu/2},$$

а для $M_{\mu}^{\alpha} = 0$

$$\lim_{J \rightarrow \infty} \left[\frac{(J-\mu)! (J+M-\mu)!}{(J-M-\mu)! (J+M)!} \right]^{1/2} = (J)^{\mu}.$$

Таким образом для $\mu_{\text{рас}} = T$ общая формула (1.1) приобретается

$$\frac{\langle J \rangle^{(4)}}{A_1} = (\gamma/12)^{1/2} \cdot T_0^{(4)} + (5/24)^{1/2} \left\{ T_4^{(4)} + T_{-4}^{(4)} \right\}$$

В результате $\mu_{\text{рас}}^2 = 0$ выделенным образом следим

$$\frac{\langle J \rangle^{(4)}}{A_1} = \int \left[(2J - \kappa + i) \frac{\partial}{\partial \kappa} \right] \frac{\langle J \rangle^{(4)}}{T_0} d\kappa$$

из проекцийных операторов следует, что собственные значения элемен-

тов тензорных операторов в полупространстве \mathcal{H}_+ уменьшаются

$\mu \geq J$ и $\mu \leq J \approx 0$ сильно отличаются. С другой стороны

однако отличается по свойствам в квантовое значение становится

другой компонент $T_{\alpha}^{(4)}$ и компонент $T_{\beta}^{(4)}$.

Такое различие в их свойствах позволяет изобразить

угольное пульсное приложение и описать дальнейшее

развитие теории возмущений. Для определения момента

угольного возмущения необходимо сформулировать

некоторые матричные элементы в различных состояниях, в то

же время матричные элементы, для $\mu = J$ равности между

некоторых матричных элементов

$$\langle J \rangle^{(4)} \langle J \rangle^{(4)} = \langle J \rangle^{(4)} \langle J \rangle^{(4)}$$

и

$$\langle J \rangle^{(4)} \langle J \rangle^{(4)} = \langle J \rangle^{(4)} \langle J \rangle^{(4)}$$

и

$$\langle J \rangle^{(4)} \langle J \rangle^{(4)} = \langle J \rangle^{(4)} \langle J \rangle^{(4)}$$

и

$$\langle J \rangle^{(4)} \langle J \rangle^{(4)} = \langle J \rangle^{(4)} \langle J \rangle^{(4)}$$

и

$$\langle J \rangle^{(4)} \langle J \rangle^{(4)} = \langle J \rangle^{(4)} \langle J \rangle^{(4)}$$

и

$$\langle J \rangle^{(4)} \langle J \rangle^{(4)} = \langle J \rangle^{(4)} \langle J \rangle^{(4)}$$

и

$$\langle J \rangle^{(4)} \langle J \rangle^{(4)} = \langle J \rangle^{(4)} \langle J \rangle^{(4)}$$

и

$$\langle J \rangle^{(4)} \langle J \rangle^{(4)} = \langle J \rangle^{(4)} \langle J \rangle^{(4)}$$

и

$$\langle J \rangle^{(4)} \langle J \rangle^{(4)} = \langle J \rangle^{(4)} \langle J \rangle^{(4)}$$

и

$$\langle J \rangle^{(4)} \langle J \rangle^{(4)} = \langle J \rangle^{(4)} \langle J \rangle^{(4)}$$

и

$$\langle J \rangle^{(4)} \langle J \rangle^{(4)} = \langle J \rangle^{(4)} \langle J \rangle^{(4)}$$

и

$$\langle J \rangle^{(4)} \langle J \rangle^{(4)} = \langle J \rangle^{(4)} \langle J \rangle^{(4)}$$

$$\frac{\langle J \rangle^{(4)}}{A_1} = (\gamma/12)^{1/2} \cdot T_0^{(4)} + (5/24)^{1/2} \left\{ T_4^{(4)} + T_{-4}^{(4)} \right\}$$

Используя полученные выше формулы легко видеть, что полное значение функции $\langle J, J \rangle$ при достаточно больших J можно считать близким к собственной функции оператора $T_0^{(4)}$, поскольку поправки по теории возмущений, рассматриваемой $T_0^{(4)}$ как бесконечный оператор, в $\{T_4^{(4)}, T_{-4}^{(4)}\}$ как исчезнувшие.

Наряду с функцией $\langle J, J \rangle$ функция $\langle J, -J \rangle$ также должна быть близка к собственной яли $T_{\alpha}^{(4)}$ функции. Причем с точностью до первого порядка теории возмущений это выражение приведет к той же форме для энергии. Вспомним теперь, что группа O обладает на самом деле тремя степенями свободы

порядка, которые мы можем выбрать в качестве оси Z . Во всех этих случаях выражение для оператора $T_{\alpha}^{(4)}$ через стандартные компоненты будет одно и то же, несмотря на то, что оси квантования для трех компонент углового момента различны. Поэтому мы можем построить даже не две, а шесть функций типа $|J; \lambda, \pm j\rangle$, где λ определяет какая из трех осей S_A группы O выбрана в качестве оси квантования. Все шесть направлений функций в гамма-виде близко к точным собственным функциям оператора $T_{\alpha}^{(4)}$. Учитывая при умножении мы можем, если от предыдущих шести функций перейти к их линейным комбинациям, построить функции ортогональной симметрии в этом узле дальнего поляризации по теории возмущений. Следует ли приближенной форме собственных значений можно отрицательно, но имея в виду, что квантование момента количества движения на себе S_A .

После того как мы рассмотрели кое-какие примеры, можно спорудить более общий утверждение.

Пусть тензорный оператор $T_{\alpha}^{(4)}$ ранга k пресекрается его квантованному представлению $\rho = (\rho, \sigma, \tau)$ группы $G \in O(3)$

и солерки при некотором конкретном выборе оси квантования стандартные компоненты ради $T_{(K)}^0$, $T_{(K)}^{+3}$, $T_{(K)}^{-4}$, ..., но не содержит компонент $T_{(K)}^{(1)}$, $T_{(K)}^{(2)}$. Тогда в пределе высоких значений J имеем:

1) Ограничение на значение фундаментального оператора M и условия при-

ложимости этого ограничения для оператора $T_{(K)}^{(1)}$:

Величина β -коэффициентов определяется выражением (11-1). Для ограничения аксиоматики будем считать, что величина β не зависит от времени, т.е. $\beta = \beta_0$.

3) Имеет ли смысл определение величины β для квантования операторов $T_{(K)}^{(1)}$? Видно, что существуют величины β , при которых величина β имеет смысл, а величина β не имеет. Видно, что для каждого из этих случаев существует определение величины β , при котором величина β имеет смысл.

Чтобы убедиться в этом, рассмотрим оператор $T_{(K)}^{(1)}$ для которого $\beta_{(K)}^{(1)} = \beta_0$. Согласно (11-1), величина β имеет смысл, если

все члены в выражении (11-1) положительны. Следует отметить, что

если $\beta_{(K)}^{(1)} > \beta_0$, то величина β имеет смысл, если

все члены в выражении (11-1) положительны. Следует отметить, что

если $\beta_{(K)}^{(1)} < \beta_0$, то величина β имеет смысл, если

все члены в выражении (11-1) положительны. Следует отметить, что

если $\beta_{(K)}^{(1)} = \beta_0$, то величина β имеет смысл, если

все члены в выражении (11-1) положительны. Следует отметить, что

если $\beta_{(K)}^{(1)} < \beta_0$, то величина β имеет смысл, если

все члены в выражении (11-1) положительны. Следует отметить, что

если $\beta_{(K)}^{(1)} > \beta_0$, то величина β имеет смысл, если

все члены в выражении (11-1) положительны. Следует отметить, что

если $\beta_{(K)}^{(1)} = \beta_0$, то величина β имеет смысл, если

все члены в выражении (11-1) положительны. Следует отметить, что

если $\beta_{(K)}^{(1)} < \beta_0$, то величина β имеет смысл, если

все члены в выражении (11-1) положительны. Следует отметить, что

если $\beta_{(K)}^{(1)} > \beta_0$, то величина β имеет смысл, если

все члены в выражении (11-1) положительны. Следует отметить, что

если $\beta_{(K)}^{(1)} = \beta_0$, то величина β имеет смысл, если

все члены в выражении (11-1) положительны. Следует отметить, что

если $\beta_{(K)}^{(1)} < \beta_0$, то величина β имеет смысл, если

все члены в выражении (11-1) положительны. Следует отметить, что

если $\beta_{(K)}^{(1)} > \beta_0$, то величина β имеет смысл, если

все члены в выражении (11-1) положительны. Следует отметить, что

если $\beta_{(K)}^{(1)} = \beta_0$, то величина β имеет смысл, если

записаных так же могут приводить к образованию кластеров соединенных знаками. Однако в этом случае существенную роль играет отключение коэффициентов, стоящих в операторе перед $T_{(K)}^{(1)}$ и $T_{(K)}^{(2)}$. Если коэффициент перед $T_{(K)}^{(1)}$ мал, то соответствующие кластеры могут присутствовать в спектре.

Посредством членов к количественному описаны положения кластеров, которые будем называть символом (β, M) , где β указывает на тип или классификацию, относительно которой выделенного нее необходимые условия кластеробразования. M - последовательность количества движений на эту ось. Различные значения M соответствуют различным типам кластеров, и внутри каждого из того же типа кластера могут различаться значения M . Для этого, например, β может характеризовать тип кластера, первого, третьего, второго, или даже соответствовать общим параметрам в спектре заряженных частиц. Однако можно указать начальные значения M , которые занятое должны соответствовать кластерам - это $M = J_1, J_2, J_3, \dots$.

Более ясно вспомним в первом приближении может быть найдено как среднее значение оператора $T_{(K)}$, рассчитанное с помощью формулами $| \beta, M \rangle$, при этом относительные положения кластеров задаются величинами термина Штилла-Бенгара определенным вспомогательным юнитом Гюбена-Гордона / юнит-символом/

$$E(\rho, J, \beta, M) = \frac{\langle D, M | T_{(K)}^{(1)} | J, M \rangle}{\langle \rho, M | T_{(K)}^{(2)} | J, M \rangle} = \frac{\langle J, M | \alpha | J, M \rangle}{\langle J, M | \alpha | J, M \rangle}. \quad (11-2)$$

При $M = J_1, J_2, \dots$ формула (11-2) выглядит особенно просто

$$E(\kappa, J, \beta, M = J) = E(\kappa, J, \beta, M = J) \cdot \frac{2J - \kappa(\kappa + 1)}{2J}$$

Для расчета относительных положений кластеров различных типов, т.е. энергий кластеров с различными β , спать возможна полезная особенность матрицы-схемы и ячейк ячейк оператора $T_{(K)}$ в различных системах координат

$$T_{(K)}^{(1)} = \sum_m (\kappa) G_{(K)}^{(M)}(j_2) T_{(M)}$$

Здесь $(\kappa)G_p^M(\beta)$ — коэффициенты, зависящие лишь от вида оператора $T_{(p)}$ в системе координат ξ сфер. ξ типа β_3 . Для относительных положений кластеров имеем

$$\begin{aligned} \langle (\kappa, f, \beta_1, M) \rangle &= \langle J, M_{\beta_1}, T^{(1)}_p, M_{\beta_2} \rangle = \frac{(\kappa)G_p^M(\beta_1)}{(\kappa)G_p^M(\beta_2)} \\ \langle (\kappa, f, \beta_2, M) \rangle &= \langle J, M_{\beta_2}, T^{(2)}_p, M_{\beta_1} \rangle = \end{aligned}$$

т.е., описание положения поясного определяется коэффициентами перехода от стандартного базиса к нестандартному.

В качестве примера на рисунке 2 приведена схема кластеров для случая $T_{(4)}$. Кластеры, описываемые $\beta = C_4$, являются структурированными, а кластеры, описываемые $\beta = S_3$, вырожденными.

Выходит изображено.

Таким образом мы показали, что для описания кластерной конфигурации при помощи тензорного оператора необходимо учитывать ориентации системы координат, приводящую к трем различным операторам, которые не содержат $T_{(4)}$, но он делает $T_{(4)}$ компоненту. Рассматриваясь и неоканвальная ориентация, мы можем указать степень вырожденности кластеров и количество находящихся в них кластеров.

Рассмотрим теперь, как найти симметрию уровней, введенных в единий кластер. Эта задача легко решается с помощью построения индуктивного представления, проиллюстрируя на конкретном примере тензорного оператора $T_{(4)}$.

Полностью трачного относительно кубической группы O . Как уже отмечалось, шестиугольные кластеры в спектре явного оператора описываются шестью функциями $|M_1\rangle, |M_2\rangle, \dots, |M_6\rangle$, имеющими одну и ту же проекцию момента количества движения M , но на разных образом ориентированные оси C_4 / три эквивалентные оси C_4 и по две ориентации для каждой из осей/. Введение функций не имеет определенной симметрии относительно группы O , но реализует приходимое представление этой группы. Нахождение типов симметрии уровней, входящих в кластер, эквивалентно решению наименее изоморфные представления указанного приводимого предста-

вления группы O . В свою очередь представление, реализуемое на дублетах $|M_i\rangle$ есть не что иное, как представление группы O , индуцированное представлением ее подгруппы C_4 , а именно тем преобразованием, по которому преобразуется каждая из дублетов $|M_i\rangle$ в группе C_4 .

Следующим будет показательства теорему взаимности фробениуса, показывающую разложение на цепочкиные представления преобразование, индуцированное переносами представлением цепочкины. Пусть G — группа, а $H \subset G$ ее подгруппа.

Несложно проверить, что если G — регулярна петриаси, то ее представление группы G по петриаси представлением подгруппы H , $H \subset G$ будет обозначать представление группы G , индуцированное петриасиным представлением подгруппы H .

Легко проверяется, что теперь выражать можно степенью

$$f^{(r_H)}(G \downarrow H) = f^{(r_G)}(G \downarrow G)$$

где $f^{(r_H)}$ обозначает число различных представлений H на неизменение. Результат непротивных представлений группы O по петриасиным представлениям ее подгруппы C_4 является таблицей

	E	C_4	C_4^2	C_3
E	1	1	1	1
C_4	1	-1	-1	1
C_4^2	1	1	-1	-1
C_3	1	1	1	-1

	O	I_4	S_4	S_4^2
E	1	1	1	1
C_4	1	-1	-1	1
C_4^2	1	1	1	-1
C_3	1	1	-1	-1

Таблица получена $O \downarrow C_4$. Таблица характеров для C_3 .

Непротивное представление группы C_3 обозначено символом $m_3(m = 0, 1, 2, 3)$, значение которых однозначно определяет характера m_3^0 представляемое в виде

струи (см. фиг. 4).

После того как получена группа O_4 , в соответствии с теоремой Пирса, для построения орбитального и для построения вращательных представлений, надо сначала определить члены ее по строкам.

$$O_4 \vdash 0 = A_1 + E_1 + F_1 + 2 \cdot 3 + 6 = 14 + 6 = 20.$$

Следовательно, для групп O_4 имеем $O_4 \vdash 0 = A_1 + E_1 + F_1 + 2 \cdot 3 + 6 = 20$. Для построения орбитального представления группы O_4 надо сначала определить члены ее по строкам. Для этого надо сначала определить члены группы O_4 по строкам, а затем с помощью формулы (1) определить члены группы O_4 по строкам.

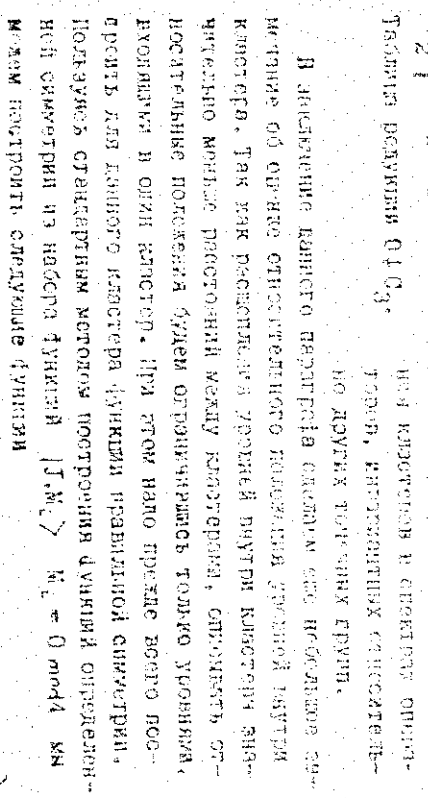
$$R(J, M) = \exp(-i\theta(J, M)) (J, M).$$

Таким образом, если в видах членов, то для них требуется определить члены по соответствующим представлениям группы O_4 группы O_4 , если

М. Тогда, если A_1, A_{2+}, A_{3+}, E_1 , имея форму (J, M) , то члены $R(J, M)$ определяются по представлениям A_1, A_{2+}, A_{3+} группы O_4 и группе O_4 соответственно.

При этом $R(J, M)$ определяется по представлению группы O_4 вида $(J, M) = k$ модулем k .

При этом $R(J, M)$ определяется по представлению группы O_4 вида $(J, M) = k$ модулем k .



Таким образом O_4 определяется по локальных группам.

В действие кинетического метода построения орбитальных представлений об общем спектральном колебании групповых коэффициентов. Так как расстояние между группами кинетического метода расстояния между категориями, спектральность определяется положением блоков относительно только узников кластера. Так как расстояние между группами кинетического метода определяется расположением блоков относительно узников кластера, при этом надо привести все кластеры в один кластер. При этом надо привести кинетический метод кинетического метода группами правильной симметрии.

Получим спектральную методом построения узников определенных симметрий из набора членов $|J, M\rangle$ $M \equiv 0$ модулем k модулем кинетической симметрии следующие функции:

$$\begin{aligned} |A_1(O_4)\rangle &= (1/\sqrt{5}) \left(|M_1\rangle + |M_2\rangle + |M_3\rangle + |M_4\rangle + |M_5\rangle + |M_6\rangle \right) \\ |F_{1x}(O_4)\rangle &= (1/\sqrt{2}) \left(|M_1\rangle - |M_2\rangle \right) \\ |F_4(O_4)\rangle &= (1/2\sqrt{3}) \left(2|M_1\rangle + 2|M_2\rangle - |M_3\rangle - |M_4\rangle - |M_5\rangle - |M_6\rangle \right) \end{aligned}$$

Получим спектральную методом построения узников определенных симметрий из набора членов $|J, M\rangle$ $M \equiv 0$ модулем k модулем кинетической симметрии следующие функции:

$T_{A_4}^{(4)}$ с язычками функциями. Однако вместо строгого расчета мы можем применить простой параметрический метод, обозначив равные между собой элементы одинаковыми параметрами. Матрица оператора $T_{A_4}^{(4)}$ в этом случае имеет вид

$$\begin{pmatrix} |M_1\rangle & |M_2\rangle & |M_3\rangle & |M_4\rangle & |M_5\rangle & |M_6\rangle \\ H & T & S & S & S & S \\ |M_1\rangle & H & S & S & S & S \\ |M_2\rangle & T & H & S & S & S \\ |M_3\rangle & S & S & H & T & S \\ |M_4\rangle & S & S & T & H & S \\ |M_5\rangle & S & S & S & S & H \\ |M_6\rangle & S & S & S & T & H \end{pmatrix}$$

Кумедея $|M_L\rangle$ выбрана таким образом, что функции, отвечающие кластерами не одну ось имеют номера 1 и 2, 3 и 4, 5 и 6.

Непрерывный расчет матричных матричных элементов для примененных по симметрии функций эквивалентен диагонализации выписанной выше матрицы и приводит к следующим значениям

$$E(A_1, O_4) = H + 4S + T$$

$$E(O_1, O_4) = H - 2S - T$$

Разумеется, что T должно быть значительнее единицы, а S , E при этом относительно положения уровня A_1 , E , O_4 могут иметь очень простой вид:

$$H = 1$$

$$T = 2.5$$

При этом полученные значения для кластера O_4 отличаются от тех, что были получены в спектре сферы.

Более

Рис. 2. Собственные значения оператора $T_{A_4}^{(4)}$ для $J = 40$.

(C ₄ , 40)	\longrightarrow	$\varepsilon = -A_1$	7,5003275822
(C ₄ , 39)	\longrightarrow	$\varepsilon = -F_2$	7,5003275743
(C ₄ , 38)	\longrightarrow	$\varepsilon = -F_1$	5,6259100
(C ₄ , 37)	\longrightarrow	$\varepsilon = -F_2$	3,9662449
(C ₄ , 36)	\longrightarrow	$\varepsilon = -F_1$	3,9662353
(C ₄ , 35)	\longrightarrow	$\varepsilon = -F_2$	
(C ₄ , 34)	\longrightarrow	$\varepsilon = -F_1$	
(C ₄ , 33)	$\{$	$\varepsilon = -F_2$	
(C ₄ , 32)	$\{$	$\varepsilon = -F_1$	
(C ₃ , 38)	\longrightarrow	$\varepsilon = -F_2$	
(C ₃ , 39)	\longrightarrow	$\varepsilon = -F_1$	
(C ₃ , 40)	\longrightarrow	$\varepsilon = -F_2$	

Упражнения.

1. Кластеры какого типа могут присутствовать в спектре оператора $T_2^{(2)} + T_{-2}^{(2)}$, симметричного относительно D_2 ?
2. Какова симметрия уровней, входящих в двенадцатирядно выраженные кластера, присутствующие в спектре оператора $T_{A_4}^{(6)}$, симметричного относительно группы O ?
3. Схематически указать положения уровней и их симметрии для оператора $T_{A_4}^{(4)}$ при $J = 43$.

Литературные указания.

Основные идеи использования кластерного описания спектров тензорных операторов сопрятятся в работах [26 – 28].

§12. ПОСТРОЕНИЕ ЭКВИВАЛЕНТНЫХ ВРАЩАТЕЛЬНЫХ ОПЕРАТОРОВ.

При изучении тензорных операторов мы использовали для различных полюса. С одной стороны, с помощью общей теоремы Каптера Экварга

$$\langle \gamma', J', \rho' | T_q^{(k)} | \gamma, J, \rho \rangle = (-1)^J F_q^{\gamma J \gamma'} (\gamma', J' // T_q^{(k)} // \gamma J)$$

мы сократили расчет произвольного матричного элемента к расчету определенного матричного элемента. При этом могут быть отличны от нуля как диагональные, так и недиагональные по J определенные матричные элементы, а их конкретное значение определяется природой и линии выражения оператора $T_q^{(k)}$. С другой стороны для части тензорных операторов, например тех которых строились явным образом из вращательных операторов J_+, J_-, J_z , заранее отмечено от нуля только диагональные по J приведенные матричные элементы. Легко видеть, что для произвольного тензорного оператора $T_q^{(k)}$ мы можем указать "главный" оператор $T_q^{(k)}(J)$, построенный из J_+, J_-, J_z , что диагональная по J часть матричных элементов $T_q^{(k)}(J)$ и $T_q^{(k)}(J)$ тождественно совпадут, в то время как недиагональные по J матричные элементы оператора $T_q^{(k)}(J)$ обращаются в ноль.

Такой оператор носит название диагонального эквивалентного тензорного оператора. Для построения диагональных эквивалентных тензорных операторов можно узовать общую рекуррентную формулу. Наиболее простой вид имеет диагональный эквивалентный тензорный оператор, отвечающий максимально возможной проекции

$$T_K^{(k)}(J) = (-1)^K [(2k)! / K! k!]^{1/2} J^K.$$

Все остальные компоненты определяются рекуррентным образом:

$$T_{J''}^{(k)}(J) = \left[\frac{(k+m)!}{(2k)!(k-m)!} \right]^{1/2} [J_-, T_K^{(k)}]_{(k-m)},$$

где $[A, B]_{(k)}$ обозначает δ -функциональный коммутатор, например

$$[A, B]_0 = B; [A, B]_1 = [A, B]; [A, B]_2 = [A, [A, B]]; \text{ и т.д.}$$

Разные полюса могут приводить к разным численным множителям в эквивалентных тензорных операторах. Поэтому эквивалентные тензорные операторы, используемые разными авторами часто различаются численным множителем. В §5 части II даны эквивалентные диагональные тензорные операторы, построенные в базисе Морзе-Гейли для сферически симметричных молекул.

Наряду с диагональными эквивалентными тензорными можно построить и недиагональные эквивалентные тензорные операторы, т.е. такие, которые имеют отличие от нуля матричные элементы только при заданном ΔJ . Для того, чтобы понять принцип построения таких операторов, нам необходимо ввести представление вращательных операторов в терминах базисных операторов /так называемый метод Шингера/.

Произвольный оператор момента количества движения можно рассматривать образованием из элементарных операторов углового момента с $J = 1/2$ - "спинов", если совокупность спина в свою очередь считать системой базисов.

Введем операторы рождения и уничтожения, аналогичные операторам рождения и уничтожения для двумерного изотропного гармонического осциллятора.

Двухкомпонентный оператор рождения $a_+ = (a_+, a_-)$.

Двухкомпонентный оператор уничтожения $a_- = (a_+, a_-)$.

Нижние индексы + и - куммутируют компоненты. Ранее для представления компоненты обозначались как a_1 и a_2 . Использование индексов + и - связано с возможной интерпретацией операторов как операторов рождения спиновых состояний $\psi(+)$ и $\psi(-)$. Оператор удовлетворяет следующим соотношениям коммутации

$$[a_x, a_y] = 0; \quad [a_x^+, a_y^+] = \delta_{xy}; \quad [a_x^+, a_y^-] = 0;$$

Для построения из операторов a_x , a_y операторов момента количества движения можно либо перейти к таким их

комбинации, которые удовлетворяли бы требованиям для оператора момента коммутационным соотношениям, либо воспользоваться матричным представлением для операторов момента через матрицы дауми

$$\tilde{J} = \sum_{33'} \alpha_3 + \langle J | \frac{1}{2} \tilde{\sigma}_z | J' \rangle \alpha_{3'}.$$

Комбинированный вид матриц $\tilde{\sigma}_z = (\sigma_1, \sigma_2, \sigma_3)$

$$\sigma_1 = \begin{pmatrix} 0 & 1 \\ 1 & 0 \end{pmatrix}; \quad \sigma_2 = \begin{pmatrix} 0 & -i \\ i & 0 \end{pmatrix}; \quad \sigma_3 = \begin{pmatrix} 1 & 0 \\ 0 & -1 \end{pmatrix}.$$

Поэтому для компонент J_x, J_z получаем:

$$J_+ = J_x + i J_z = a_+^* a_-;$$

$$J_- = J_x - i J_z = a_-^* a_+;$$

$$J_3 = \frac{1}{2} (a_+^* a_+ - a_-^* a_-) = \frac{1}{2} (n_+ - n_-).$$

где $n_+ = a_+^* a_+$ и $n_- = a_-^* a_-$ есть операторы числа спинов + и спинов -.

Легко проверить, что введенные операторы J_x, J_z удовлетворяют требуемым соотношениям коммутации.

Пример.

Построить оператор J^2 в терминах a_+, a_- .

$$\begin{aligned} J^2 &= \frac{1}{2} (J_+ J_- + J_- J_+) + J_3^2 = \\ &= \frac{1}{2} [(a_+^* a_-)(a_+ a_-) + 2 a_+^* a_+ + a_-^* a_-] + \frac{1}{4} (n_+ - n_-)^2 \\ &= \frac{1}{4} (n_+ + n_-)^2 + \frac{1}{2} (n_+ + n_-) = \frac{1}{2} n (\frac{1}{2} n + 1), \end{aligned}$$

таким образом

$$J^2 = \frac{1}{2} n (\frac{1}{2} n + 1),$$

где n – целое чисто, имеющее смысл полного числа спинов.

Сравнивая полученное выражение с обычным выражением для момента $J^2 = J(J+1)$, получаем, что квантовое число может принимать как целые, так и полуцелые значения. Связь между квантовыми числами J, m и n_+, n_- выражает следующим образом:

$$n_+ + n_- = 2 J; \quad n_+ - n_- = 2m.$$

– 68 –

Через операторы a_+, a_- легко выразить собственные функции для J^2, J_z

$$\psi_{(n_+, n_-)} = \frac{(a_+^{n_+})^{n_+} (a_-^{n_-})^{n_-}}{(n_+! \cdot n_-!)^{1/2}} \psi_0,$$

где ψ_0 – покоящееся состояние. Все функции, характеризующие одинаковые значения J , получаются из покоящего состояния при действием одного и того же общего числа операторов рожденных

$$\psi_{(J, m)} = \frac{(a_+^*)^{J+m} (a_-^*)^{J-m}}{\{(J+m)! (J-m)!\}^{1/2}} \psi_0$$

При этом квантовое число m определяется разностью степеней операторов a_+ и a_- .

Из приведенного рассмотрения следует, что квадратичные по вращательным квантовым числам тензорные операторы могут быть построены с помощью введенных операторов a_+, a_- . Неканоничность оператора будет обусловлена тем фактом, что степени операторов рождения и уничтожения, входящих в канонический оператор должны быть различны.

Упражнения.

1. Получить выражение для оператора $T^{2(2,E)}$ в терминах операторов a_+, a_- .

2. Получить выражение для коммутатора двух эквивалентных диагональных тензорных операторов, заданных в нестандартном базисе.

Литературные указания.

Метод эквивалентных операторов получил широкое развитие в связи с описанием примесных явлений в твердых телах [29].

Обширные таблицы эквивалентных операторов даны в работах [30, 31]. Базисные операторы для описания момента количества движения были введены Шварцером в 1940 году. Его работа опубликована в сборнике [32]. Данные не покуррентные формулы эквивалентных операторов приведены в работе [33].

§13. ПРИМЕНЕНИЕ ТЕОРИИ ВОЗМУЩЕНИЙ.

Нельзя ничего нараспреда заключается в построении эфектного оператора, описываемого структуру вращательных уровней, определяющих одинаковую колебательному состоянию. Отправляем гипотезу при этом является полный молекулярной гамма-спектр /колебательно-вращательный/. Построение же эфектного оператора будем проводить с помощью теории возмущения.

Прежде всего напомним формулы общей теории возмущений.

Целостный гамильтониан представлен в виде

$$H = H_0 + \mathcal{L}$$

а решение новозмущенной задачи

$$H_0 |i\rangle = E_i |i\rangle$$

зрелищается известным. Тогда для энергии неизмененного состояния хорошо известны формулы

$$E_i = E_i^0 + \langle i | \mathcal{L} | i \rangle + \sum_j \frac{\langle i | \epsilon_{ij} | j \rangle \langle j | \mathcal{L} | i \rangle}{E_i - E_j} + \dots$$

полученные в рамках общей теории возмущений Релея-Шредингера. Нас будет интересовать несколько более общая ситуация,

в именно случай, когда оператор возмущения зависит от новых по сравнению с неизмененным оператором переменных. В таком случае вместо энергии мы будем строить выражения для эфектных операторов. Формулы первых двух порядков теории возмущений при этом не изменятся. Следует только помнить, что расчет начиная с третьего порядка оператора, представляющим

сумму вложенных эфективных операторов на прямой производство «произведение» с применением для сферических координат метода ядерного колебания и вращения.

$$\begin{aligned} \mathcal{L} &= \prod_{\alpha} \left(V_{\alpha}^{A_{\alpha}} R_{\alpha}^{B_{\alpha}} \right) \left(V_{\alpha}^{C_{\alpha}} R_{\alpha}^{D_{\alpha}} \right)^2 \\ &= \left(V_{\alpha}^{A_{\alpha}} R_{\alpha}^{B_{\alpha}} \right) \left(V_{\alpha}^{C_{\alpha}} R_{\alpha}^{D_{\alpha}} \right)^2 \end{aligned} \quad (13-1)$$

В (13-1) мы конкретизировали вращательные операторы, но не здели явного вида колебательных операторов, которые восьми

говорят представляются в виде разложения по непропорциональным возрастанием степни. H_0 — оператор системы гармонических осцилляторов. На его собственных функциях мы будем строить теорию возмущений.

В поправку первого порядка будут давать вклады только тензоры колебательно-вращательные операторы, которые являются полносимметрическими и по колебательным и по вращательным операторам. В исходном операторе (13-1) это члены $V_{\alpha}^A R_{2(\alpha, \alpha)} V_{\alpha}^{A_{\alpha}}$. Поэтому с точностью до аддитивной постоянной, эфективный вращательный оператор в первом порядке теории возмущений имеет простой вид:

$$\langle i | V_{\alpha}^A | i \rangle R_{2(\alpha, \alpha)}$$

Аддитивная постоянная есть же иное как матричный элемент оператора V_{α}^A , $\langle i | V_{\alpha}^A | i \rangle$. Все остальные операторы вклада в первом порядке нулевой вклад.

Во втором порядке теории возмущений появляется произведение матричных элементов полного оператора возмущения $\mathcal{L} = V_{\alpha}^A + V_{\alpha}^{A_{\alpha}} R_{2(\alpha, \alpha)} + \dots + (V_{\alpha}^A R_{2(\alpha, \beta)} V_{\beta})^{A_{\beta}}$.

Сводя выражение к сумме отдельных членов получаем:

$$\begin{aligned} &\sum_{\alpha} \frac{\langle i | V_{\alpha}^A | 0_{\alpha} \rangle \langle 0_{\alpha} | V_{\alpha}^A | i \rangle}{E_i - E_{0_{\alpha}}} \\ &+ \sum_{\alpha} \frac{\langle i | \epsilon_{\alpha} [V_{\alpha}^A R_{2(\alpha, \alpha)}]^{A_{\alpha}} | 0_{\alpha} \rangle \langle 0_{\alpha} | [V_{\alpha}^A R_{2(\alpha, \alpha)}]^{A_{\alpha}} | i \rangle}{E_i - E_{0_{\alpha}}} \end{aligned}$$

$$\begin{aligned} &+ \sum_{\alpha} \frac{\langle i | \epsilon_{\alpha} [V_{\alpha}^A R_{2(\alpha, \alpha)}]^{A_{\alpha}} | 0_{\alpha} \rangle \langle 0_{\alpha} | [V_{\alpha}^A R_{2(\alpha, \alpha)}]^{A_{\alpha}} | i \rangle}{E_i - E_{0_{\alpha}}} \\ &- \sum_{\alpha} \frac{\langle i | \epsilon_{\alpha} [V_{\alpha}^A R_{2(\alpha, \alpha)}]^{A_{\alpha}} | 0_{\alpha} \rangle \langle 0_{\alpha} | [V_{\alpha}^A R_{2(\alpha, \alpha)}]^{A_{\alpha}} | i \rangle}{E_i - E_{0_{\alpha}}} \end{aligned}$$

$$\begin{aligned} &- \sum_{\alpha} \frac{\langle i | \epsilon_{\alpha} [V_{\alpha}^A R_{2(\alpha, \alpha)}]^{A_{\alpha}} | 0_{\alpha} \rangle \langle 0_{\alpha} | [V_{\alpha}^A R_{2(\alpha, \alpha)}]^{A_{\alpha}} | i \rangle}{E_i - E_{0_{\alpha}}} \\ &- 91 - \end{aligned}$$

$$\sum_{\sigma} \langle v, g_{\sigma} | [v^r, R^{(K, r)}]^{\alpha_1} | 0, A_1 \rangle \langle 0, A_1 | [v^r, R^{(K, r)}]^{\alpha_2} | v, g_{\sigma} \rangle \quad (13-2)$$

$$= \sum_{\sigma} \sum_{\alpha_1} \frac{1}{[r]} \langle v, g_{\sigma} | V_{\sigma}^r | 0, A_1 \rangle \langle 0, A_1 | V_{\sigma}^r | v, g_{\sigma} \rangle R_{\sigma}^{(K, r)} R_{\sigma}^{(K, r)}.$$

$$E_v \cdot E_{v, F_2} = \frac{1}{[r]} \sum_{\alpha_1} \frac{1}{[r]} \langle v, g_{\sigma} | V_{\sigma}^r | 0, A_1 \rangle \langle 0, A_1 | V_{\sigma}^r | v, g_{\sigma} \rangle R_{\sigma}^{(K, r)} R_{\sigma}^{(K, r)} \quad (a)$$

В этом выражении должно $|v, g_{\sigma}\rangle$ – колебательно вырожденное состояние, для которого строкой эллиптический радиальный оператор, дальнейшая задача состоит в том, чтобы

выбрать наименее вырожденное в виде суммы произведений четырехкратных обращательных операторов, рассчитанных между колебательными дубликатами. Для членов, содержащих $R_{\sigma}^{(0, A_1)}$, такое преобразование выполняется непосредственно, поскольку в этих членах тензорное произведение сводится к обычному произведению операторов. Все остальные члены систини. Для их преобразования введем линь образом еще и суммирование по строкам представлений. Собакий рассматриваемых членов:

$$\langle v, g_{\sigma} | [V^r, R^{(K, r)}]^{\alpha_1} | 0, A_1 \rangle \langle 0, A_1 | [V^r, R^{(K, r)}]^{\alpha_2} | v, g_{\sigma} \rangle$$

$$= \frac{1}{[r]^{2\alpha_1}} \left| \langle v, g_{\sigma} | V^r | 0, A_1 \rangle \right|^2 \sum_{\sigma} R_{\sigma}^{(K, r)} R_{\sigma}^{(K, r)} \quad (b)$$

$$= \frac{1}{[r]^{2\alpha_1}} \left| \langle v, g_{\sigma} | V^r | 0, A_1 \rangle \right|^2 \left[R_{\sigma}^{(K, r)} R_{\sigma}^{(K, r)} \right]^{A_1}$$

$$= \frac{\left| \langle v, g_{\sigma} | V^r | 0, A_1 \rangle \right|^2}{[r]^{3/2}} \sum_{J_3} (-i)^{J_3^2} \sqrt{J_3 + 1} K_{r, r, A_1}^{K, K, J_3} (R_{\sigma}^{(K, r)} R_{\sigma}^{(K, r)})^{J_3, A_1} \quad (c)$$

В последней формуле опущены индексы внутренней мультиплексности, поскольку J_3 не превышает четырех. Более того, J_3 может принимать значения раньше только пары в четвером, поэтому в $(-1)^{J_3}$ следует опустить. Окончательно для (13-2) получаем выражение

$$\frac{|(v, g_{\sigma} | V^r | 0, A_1)|^2}{[r]^{3/2}} \sum_{J_3} \sqrt{J_3 + 1} K_{r, r, A_1}^{K, K, J_3} (R_{\sigma}^{(K, r)} R_{\sigma}^{(K, r)})^{J_3, A_1}. \quad (13-3)$$

Перейдем теперь к необходимым частным реализациям формулы (13-3).

При переходе от выражения (13-2) к формуле (a) мы учтем, что метрические элементы отличны от нуля только при $\omega = \omega_0$ и $\omega = \omega_0$. Тогда из формулы (a) мы получим, применяв теорему Багнер-Эккмана и колебательным матричным элементам и введя явное выражение для симметрии $E_{v, F_2} = \frac{1}{\sqrt{3}} \sqrt{F_2}$. Далее используя определение тензорного произведения, мы проведем суммирование

$$= \frac{[(v, F_4 | V^r | 0, A_1)]^2}{3\sqrt{3}} (-1)^{A_1} R^{(0, A_1)}$$

по G^r и перейдем к формуле (b). Наконец, выразив тензорное произведение, заданное относительно группы $O(3)$, мы получим формулу (c).

Другой частный случай формулы (13-3):

$$\Gamma = F_1, \quad K = \Omega_2 = 2, \quad J_3 \text{ либо } 0 \text{ либо } 4.$$

$$|(\psi, E \| V^E \| O, A_1)|^2 \left\{ K^{2,2,0} (R^{2(2)} \times R^{2(2)})_{O, A_1} \right.$$

$$+ \sqrt{5} K^{2,2,4} (R^{2(2)} \times R^{2(2)})_{O, A_1} \Big\}.$$

Представим тензорные произведения вращательных операторов в стандартном виде /см. § части II/

$$(R^{2(2)}, R^{2(2)})_{O, A_1} = \frac{2}{\sqrt{5}} R^{4(O, A_1)} + \frac{2\sqrt{3}}{\sqrt{5}} R^{2(O, A_1)},$$

$$(R^{2(2)}, R^{2(2)})_{O, A_1}^{4, A_1} = R^{4(4, A_1)},$$

учтем линии вид K символов /и/ части II/ и в результате преобразуем рассчитываемый член к виду:

$$|(\psi, E \| V^E \| O, A_1)|^2 \left\{ \frac{\sqrt{3}}{5} R^{4(O, A_1)} + \frac{1}{5} R^{4(O, A_1)} \right.$$

$$+ \frac{\sqrt{3}}{2\sqrt{10}} R^{4(4, A_1)} \Big\}.$$

Последний частный случай формулы (13-3):

$$\Gamma = F_2, \quad K = \Omega_2 = 2, \quad J_3 \text{ либо } 0, \text{ либо } 4.$$

$$|(\psi, E \| V^F \| O, A_1)|^2 \left\{ K^{2,2,0} (R^{2(2)} \times R^{2(2)})_{O, A_1} \right.$$

$$+ R^{4(O, A_1)} \left\{ \sum_{\nu} \frac{|(\psi, F_1 \| V^F \| O, A_1)|^2}{E_0 - E_{\psi, F_1}} + \frac{\sqrt{3}}{5} \sum_{\nu} \frac{|(\psi, E \| V^E \| O, A_1)|^2}{E_0 - E_{\psi, E}} \right.$$

$$+ \frac{2}{5\sqrt{3}} \sum_{\nu} \frac{|(\psi, F_1 \| V^F \| O, A_1)|^2}{E_0 - E_{\psi, F_2}} \Big\}$$

$$+ \frac{2}{15} \sum_{\nu} \frac{|(\psi, F_1 \| V^F \| O, A_1)|^2}{E_0 - E_{\psi, F_2}} \Big\}.$$

Воспользовавшись теми же формулами при делении для вращательных операторов, что и в предыдущем случае, получаем для (13-3) при $\Gamma = F_2$

$$|(\psi, E \| V^F \| O, A_1)|^2 \left\{ \frac{2}{5\sqrt{5}} R^{2(O, A_1)} + \frac{2}{15} R^{4(O, A_1)} \right.$$

$$- \frac{\sqrt{5}}{3\sqrt{5}} R^{4(O, A_1)} \Big\}.$$

Окончательно, суммируя все члены во втором порядке теории

для возмущений, для эффективного вращательного оператора для колебательного невырожденного состояния имеем выражение:

$$\sum_{\nu} \frac{|(\psi, A_1 \| V^A \| O, A_1)|^2}{E_0 - E_{\psi, A_1}}$$

$$+ R^{2(O, A_1)} \left\{ \sum_{\nu} \frac{|(\psi, A_1 \| V^A \| O, A_1) \| (\psi, A_1 \| V^A \| O, A_1)|^2}{E_0 - E_{\psi, A_1}} \right.$$

$$+ \sum_{\nu} \frac{|(\psi, A_1 \| V^A \| O, A_1) \| (\psi, A_1 \| V^A \| O, A_1)|^2}{E_0 - E_{\psi, A_1}}$$

$$- \frac{1}{3\sqrt{5}} \sum_{\nu} \frac{|(\psi, F_1 \| V^F \| O, A_1)|^2}{E_0 - E_{\psi, F_1}} + \frac{\sqrt{3}}{5} \sum_{\nu} \frac{|(\psi, E \| V^E \| O, A_1)|^2}{E_0 - E_{\psi, E}}$$

$$+ \frac{2}{5\sqrt{3}} \sum_{\nu} \frac{|(\psi, F_1 \| V^F \| O, A_1)|^2}{E_0 - E_{\psi, F_2}} \Big\}$$

$$+ R^{4(O, A_1)} \left\{ \sum_{\nu} \frac{|(\psi, F_1 \| V^F \| O, A_1)|^2}{E_0 - E_{\psi, F_1}} + \frac{1}{5} \sum_{\nu} \frac{|(\psi, E \| V^E \| O, A_1)|^2}{E_0 - E_{\psi, E}} \right.$$

$$+ \frac{2}{15} \sum_{\nu} \frac{|(\psi, F_1 \| V^F \| O, A_1)|^2}{E_0 - E_{\psi, F_2}} \Big\}$$

Литературные указания.

Для формального знакомства с теорией возмущений рекомендуется введение к книге [34]. Приложение оной теории возмущений к задачам молекулярной спектроскопии рассматривается в созоре [35].

Построение эффективных операторов для колебательно-вращательной молекулярной задачи пояснены работы [36, 37].

1. М.Ахенберг. Геометрия групп. М., Мир, 1966.
2. А.И.Ким. И.В.Левинсон, В.В.Ранагас. Математический аппарат теории момента количества движения. Балтис, 1960.
3. Л.Т.Смирлов, И.Ф.Смирнов. Теория оптических спектров яонов переходных металлов. Наука, М., 1977.
4. Л.А.Барналович, А.Н.Москалев, В.К.Херсонский. Квантовая теория углового момента. Наука, Л., 1975.
5. Л.Д.Ландау, Е.М.Лифшиц. Квантовая механика. Невидимистическая теория. Наука, М., 1974.
6. H.A.Jahn, F.Teller. Proc.Roy.Soc. A161, 220 (1937).
7. P.Hero, A.Gori. Симметрии в твердом теле. Наука, М., 1970.
8. J.T.Hougen. In *MTP International review of science, Physical Chemistry, Series 2, vol.3*, p.75 (1976).
9. E.P.Wigner. In *Quantum theory of angular momentum*. Ed. by E.C.Biedenharn & H.van Dam, 1965, p.87.
10. P.H.Butler. Trans.Roy.Soc. A227, 545 (1975).
11. P.M.Butler, R.Uyborne. Int.J.Quant.Chem. I, 581 (1976).
12. J.P.Champion et al. Can.J.Phys. 55, 512 (1977).
13. О.Оль-Бас, Б.Надель. Графические методы атомной спектроскопии. Мир, М., 1974.
14. Я.А.Шеленин. В соч. Теоретико-групповые методы в физике. Труды ФИАН СССР, 20, стр.3, 1973.
15. А.А.Абристосс, Л.Л.Горюков, И.Е.Дзюжинович. Методы квантовой теории волн в статистической физике. Физ-мат., №1, 1962.
16. J.Moret-Bailly. Cah.Phys. 15, 237 (1951).
17. J.P.O'Champlon. Can.J.Phys. 55, 1802 (1977).
18. P.Michelot. These d'Etat, Dijon, 1980.
19. M.Kibler. J.Mol.Spectrosc. 25, 111 (1958).
20. M.Kibler. In *Recent Advances in group theory and their applications in spectroscopy*. Ed. by J.C.Donini, Plenum Press, New York, 1979.

21. Б.Джайлз, Б.Вайборн. Теория сложных атомных спектров. Мир, М., 1973.
22. T.G.Harter, C.W.Patterson. A unitary calculus for electronic orbitals. Lecture Notes in Phys. 42, 1976.
23. J.Paudus. In *Theoretical Chemistry, Advances and Perspectives*. vol.2, p.131, 1976.
24. F.Michelct. J.Mol.Spectrosc. 52, 227 (1976). 52, 62 (1977).
25. J.D.Lauk. Am.J.Phys. 38, 1 (1970).
26. R.O.Harter, G.L.Patterson. J.Chem.Phys. 62, 4872 (1977).
27. W.G.Harter, C.E.Patterson, F.J.dePaula. Rev.Mod.Phys. 50, 37 (1978).
28. Б.Лой. Переиздание резонанса в твердых телах. М., 1962.
29. H.A.Biedenharn, R.Chatterjee, Y.H.Singh. Phys.Stat. Sol. 12a, 9 (1972).
30. M.Kibler, R.Chatterjee. Can.J.Phys. 56, 1218 (1978).
31. M.Kibler, R.Chatterjee. Can.J.Phys. 56, 1218 (1978).
32. J.Schwinger. In *Quantum theory of angular momentum*. Ed. by J.C.Biedenharn & H.van Dam, 1965, p.229.
33. G.Jenett, M.Kibler. Phys.Lett. 68A, 147 (1978). 21, 323 (1979).
34. В.В.Гоманов. Теория форм газа. МГУ, 1973.
35. А.А.Кузнецова. В соч. Вопросы квантовой теории яонов и яонных. МГУ, 1973, стр. 108.
36. P.Jorgensen, T.Pedersen. Mol.Phys. 27, 33, 959 (1974).
37. В.Д.Пирогов. В соч. Историко-литературный и научно-исследовательский спектральный газов. Томск, 1976. стр. 3.